



การวิเคราะห์ผลกระทบเบื้องตนต์ของการตัดของแผ่นกั้นต่อการส่งผ่านความร้อนในเครื่อง  
แลกเปลี่ยนความร้อนชนิดเปลือกและท่อ โดยใช้ระบบวิธีไฟนิตี้เอลิเม้นต์  
INFLUENCE ANALYSIS OF PERCENTAGE BAFFLE CUT ON HEAT TRANSFER  
IN SHELL AND TUBE HEAT EXCHANGER BY USING FINITE ELEMENT

METHOD

นายเด็ดดวง วงศ์วิริยะชาติ รหัสนิสิต 51380675

นายประسنค์ พิทักษ์ทองกุล รหัสนิสิต 51380767

นายไพบูลย์ ใจยววรรณ รหัสนิสิต 51380798

ปริญญาบัณฑิตนี้เป็นส่วนหนึ่งของการศึกษาหลักสูตรปริญญาวิศวกรรมศาสตรบัณฑิต  
สาขาวิศวกรรมเครื่องกล ภาควิชาวิศวกรรมเครื่องกล  
คณะวิศวกรรมศาสตร์ มหาวิทยาลัยนเรศวร  
ปีการศึกษา 2554

ที่อยู่บัณฑิตวิศวกรรมศาสตร์	วันที่รับ.....	๑๐ ก.ค. ๒๕๕๕
หมายเลขบัตร.....	๑๖๐๙๘๓๓๑	
เลขประจำบ้าน.....	๗๔๖	
หมายเหตุ.....	9862 19 2554	



## ใบรับรองปริญญาบัตร

หัวข้อโครงการ

: การวิเคราะห์ผลผลกระทบเบอร์เซ็นต์การตัดของแผ่นกั้น ต่อการส่งผ่านความร้อนในเครื่องแลกเปลี่ยนความร้อนชนิดเปลือกและห่อ โดยใช้ระเบียบวิธีไฟนิตี้เอลิเม้นต์

Influence Analysis of Percentage Baffle Cut on Heat Transfer  
in Shell and Tube Heat Exchanger by using Finite Element  
Method

ผู้ดำเนินโครงการ

: นายเด็ดดวง วงศ์วิริยะติ รหัสนิสิต 51380675  
นายประسنค์ พิทักษ์ทองกุล รหัสนิสิต 51380767  
นายไพบูลย์ ไชยวารรณ รหัสนิสิต 51380798

อาจารย์ที่ปรึกษา

: อาจารย์นพรัตน์ สีหะวงศ์

ภาควิชา

: วิศวกรรมเครื่องกล

ปีการศึกษา

: 2554

คณะวิศวกรรมศาสตร์ มหาวิทยาลัยนเรศวร อนุมัติให้ปริญญาบัตรฉบับนี้เป็นส่วนหนึ่ง  
ของการศึกษาตามหลักสูตรวิศวกรรมศาสตรบัณฑิต สาขาวิศวกรรมเครื่องกล

.....  
(อาจารย์นพรัตน์ สีหะวงศ์)  
ที่ปรึกษาโครงการ

.....  
(ผู้ช่วยศาสตราจารย์ ดร.ปิยะนันท์ เจริญสวรรค์)  
กรรมการ

.....  
(อาจารย์นินนาท ราชประดิษฐ์)  
กรรมการ

หัวข้อโครงการ	การวิเคราะห์ผลกระทบเบอร์เช็นต์การตัดของแผ่นกัน ต่อการส่งผ่านความร้อนในเครื่องแลกเปลี่ยนความร้อนชนิดเปลือกและห่อ โดยใช้ระเบียบวิธีไฟแน็ตอลิเมนต์		
ผู้ดำเนินโครงการ	นายเดดดวง	วงศ์วิริยะติ	รหัสนิสิต 51380675
	นายประสงค์	พิทักษ์ทองกุล	รหัสนิสิต 51380767
	นายไพบูลย์	ไขยารณ	รหัสนิสิต 51380798
อาจารย์ที่ปรึกษา	อาจารย์นพรัตน์	สีหะวงศ์	
ภาควิชา	วิศวกรรมเครื่องกล		
ปีการศึกษา	2554		

---

### บทคัดย่อ

โครงการนี้มีวัตถุประสงค์เพื่อศึกษาถึงเบอร์เช็นต์การตัดของแผ่นกันที่ส่งผลต่อค่าสัมประสิทธิ์การถ่ายทความร้อนรวม ค่าความดันลด และค่าประสิทธิผลของเครื่องแลกเปลี่ยนความร้อนชนิดเปลือกและห่อ โดยใช้ระเบียบวิธีไฟแน็ตอลิเมนต์ เบอร์เช็นต์การตัดของแผ่นกันที่ทำการศึกษาประกอบด้วย 15%, 20%, 25%, 30%, 35%, 40% และ 45% โดยกำหนดให้อุณหภูมิทางเข้าของกระแสร้อนเป็น 350.68 K อุณหภูมิทางเข้าของกระแสเย็นเป็น 304.72 K อัตราการไหลเชิงปริมาตรของกระแสเย็นเป็น  $8.33 \times 10^{-6} \text{ m}^3/\text{s}$  อัตราการไหลเชิงปริมาตรของกระแสร้อนเป็น  $2.5 \times 10^{-5} \text{ m}^3/\text{s}$  และความดันที่ทางออกของห้องสองกระแสเป็น 1 atm จากผลการวิเคราะห์ที่ได้พบว่า ที่เบอร์เช็นต์การตัด 35% ค่าสัมประสิทธิ์การถ่ายเทความร้อนรวมจะมีค่าสูงสุดที่เท่ากับ 385.98  $\text{W}/\text{m}^2\cdot\text{K}$  การเพิ่มขึ้นของเบอร์เช็นต์การตัดของแผ่นกันจะส่งผลให้ค่าความดันลดมีค่าลดลงและจะไม่ส่งผลกระทบต่อค่าประสิทธิผล

Project Title : Influence Analysis of Percentage Baffle Cut on Heat Transfer  
in Shell and Tube Heat Exchanger by Using Finite Element  
Method

Name : Mr.Detduang Wongwiriyachat  
Mr.Prasong Phithakthongkun  
Mr.Paitoon Chaiyawan

Project Advisor : Mr.Nopparat Seehawong

Academic Year : 2011

---

### Abstract

The purpose of this research is to analysis an influence of baffles percentage on overall heat transfer coefficient, Pressure drop and effectiveness of shell and tube heat exchanger by using finite element method. In this research, there are 7 models with 15%, 20%, 25%, 30%, 35%, 40% and 45% percentage baffle cut and inlet hot fluid temperature is 350.68 K, Inlet cold fluid temperature is 304.72 K, Volume flow rate hot fluid temperature is  $8.33 \times 10^{-6} \text{ m}^3/\text{s}$ , Volume flow rate cold fluid temperature is  $2.5 \times 10^{-5} \text{ m}^3/\text{s}$  and pressure outlet both fluids are 1 atm. The result shows that the maximum overall heat transfer coefficient at percentage baffle cut 35%, effectiveness no effect at another percentage baffle cut and shows that the maximum Pressure drop at percentage baffle cut 15%. Its value decrease when percentage baffle cut is increase.

## กิตติกรรมประกาศ

โครงการวิศวกรรมเครื่องกลฉบับนี้สำเร็จลุล่วงไปได้ด้วยดี ทางคณะผู้ดำเนินงาน ต้องขอขอบพระคุณอาจารย์พรัตน์ สีหะวงศ์ ซึ่งเป็นอาจารย์ที่ปรึกษาโครงการที่กรุณาให้คำปรึกษาและชี้แนะแนวทางการแก้ไขปัญหาต่างๆ ที่เกิดขึ้นในระหว่างการดำเนินโครงการ ตลอดจนติดตามประเมินผลการดำเนินโครงการมาโดยตลอด ทางคณะผู้จัดทำขอขอบพระคุณท่านอาจารย์เป็นอย่างสูงไว้ ณ ที่นี่

ขอขอบพระคุณท่านอาจารย์ทุกท่าน ที่อบรมสั่งสอน และให้ความรู้แก่ผู้ดำเนินงาน

ขอขอบพระคุณฝ่ายเลขานุการ ภาควิชาวิศวกรรมเครื่องกล คณะวิศวกรรมศาสตร์ มหาวิทยาลัยนเรศวร ที่ช่วยอำนวยความสะดวกในการดำเนินโครงการ

ขอขอบพระคุณบุคลากรด้วย ที่ให้การอุปการะเลี้ยงดูและสั่งสอนจนกระทั่งสามารถเติบโตมาจนถึงปัจจุบัน ตลอดจนช่วยอุปการะทางการเงินและค่อยให้กำลังใจ จนกระทั่งโครงการนี้เสร็จสมบูรณ์

สุดท้ายนี้ ผู้ดำเนินงานขอขอบคุณงามความดีที่เกิดขึ้นจากโครงการนี้ แด่ผู้มีพระคุณทุกท่านที่มีส่วนร่วมในการทำให้โครงการนี้สำเร็จลุล่วงไปด้วยดี และถ้าเกิดข้อผิดพลาดประการใดจากโครงการนี้ ผู้ดำเนินงานต้องกราบขออภัยไว้ ณ ที่นี่ด้วย

คณะผู้ดำเนินโครงการวิศวกรรม

นายเด็ดดวง วงศ์วิริยะชาติ

นายประสงค์ พิทักษ์ทองกุล

นายไพบูลย์ ไชยวารณ

# สารบัญ

หน้า

ใบรับรองปริญญานิพนธ์.....	ก
บทคัดย่อภาษาไทย.....	ข
บทคัดย่อภาษาอังกฤษ.....	ค
กิตติกรรมประกาศ.....	ง
สารบัญ.....	จ
สารบัญตาราง.....	ช
สารบัญรูป.....	ซ
สารบัญกราฟ.....	ญ
ลำดับสัญลักษณ์.....	ภ

## บทที่ 1 บทนำ

1.1 ที่มาและความสำคัญ.....	1
1.2 วัตถุประสงค์ของการศึกษา.....	2
1.3 ขอบเขตของโครงการ.....	3
1.4 ขั้นตอนการดำเนินงาน.....	4
1.5 ผลที่คาดว่าจะได้รับ.....	5
1.6 งบประมาณที่ใช้.....	5

## บทที่ 2 หลักการและทฤษฎี

2.1 ทฤษฎีระเบียบวิธีไฟไนต์เอลิเมนต์.....	6
2.2 ทฤษฎีการถ่ายเทความร้อน.....	7
2.3 สมการที่เกี่ยวข้อง.....	8
2.4 ค่าความคลาเคลื่อน.....	9
2.5 ผลงานวิจัยที่เกี่ยวข้อง.....	10

## บทที่ 3 วิธีดำเนินงาน

3.1 ศึกษาค้นคว้าข้อมูล.....	12
3.2 สร้างแบบจำลองไฟไนต์เอลิเมนต์.....	12

## สารบัญ (ต่อ)

หน้า

3.3 กำหนดคุณสมบัติและสภาวะเงื่อนไขของแบบจำลอง.....	14
3.4 วิเคราะห์แบบจำลองด้วยระเบียบวิธีไฟน์ต์ເອລີມېນຕໍ່.....	16
3.5 ทำการทดลองเครื่องแลกเปลี่ยนความร้อนชนิดเปลือกและท่อ.....	17
(รุ่น WL 110.03) ในห้องปฏิบัติการวิศวกรรมเครื่องกล	
3.6 เปรียบเทียบประสิทธิผลที่ได้จากการเบียบวิธีไฟน์ต์ເອລີມېນຕໍ່และการทดลอง.....	18
3.7 ปรับปรุงเชิงการตัดของแผ่นกันและวิเคราะห์ผล.....	18

### บทที่ 4 ผลการดำเนินงานและการวิเคราะห์

4.1 ผลจากการทดลอง.....	19
4.2 ผลจากการวิเคราะห์ด้วยระเบียบวิธีไฟน์ต์ເອລີມېນຕໍ່.....	20
4.3 การเปรียบเทียบความถูกต้องของแบบจำลอง.....	21
4.4 ค่าสัมประสิทธิ์การถ่ายเทความร้อนรวม.....	22
4.5 ค่าความดันลด.....	23
4.6 ค่าประสิทธิผล.....	25

### บทที่ 5 บทสรุป

5.1 บทสรุป.....	27
-----------------	----

5.2 ข้อเสนอแนะ.....	28
---------------------	----

รายการเอกสารอ้างอิง.....	29
--------------------------	----

บรรณานุกรม.....	30
-----------------	----

### ภาคผนวก

ภาคผนวก ก ผลการคำนวณด้วยระเบียบวิธีไฟน์ต์ເອລີມېນຕໍ່.....	32
--	----

ภาคผนวก ข วิธีการวิเคราะห์ด้วยระเบียบวิธีไฟน์ต์ເອລີມېນຕໍ່.....	44
--	----

ภาคผนวก ค ตัวอย่างการคำนวณค่าสัมประสิทธิ์การถ่ายเทความร้อนรวม.....	62
--	----

ค่าความดันลดและค่าประสิทธิผล	
------------------------------	--

ภาคผนวก ง ตารางแสดงคุณสมบัติของน้ำ.....	66
---	----

ประวัติผู้จัดทำโครงการ.....	68
-----------------------------	----

## สารบัญตาราง

ตารางที่	หน้า
1.1 แสดงขั้นตอนการดำเนินงาน.....	4
3.2 แสดงคุณสมบัติของวัสดุต่าง ๆ ในแบบจำลอง.....	14
3.3 แสดงค่าสัมประสิทธิ์การพากความร้อนของของเหลวและแก๊ส.....	15
4.4 แสดงผลของอุณหภูมิจากการทดลอง.....	19
4.5 แสดงผลของอุณหภูมิจากระเบียบวิธีไฟไนต์เอลิเมนต์.....	20
4.6 แสดงผลความคลาดเคลื่อนสะสมของประสิทธิผลจากการทดลอง.....	21
4.7 แสดงผลต่างของประสิทธิผลระหว่างแบบจำลองกับการทดลอง.....	21
4.8 แสดงผลสัมประสิทธิ์การถ่ายเทความร้อนรวมจากระเบียบวิธีไฟไนต์เอลิเมนต์.....	22
4.9 แสดงผลความดันลดจากระเบียบวิธีไฟไนต์เอลิเมนต์.....	24
4.10 แสดงผลของประสิทธิผลจากการระเบียบวิธีไฟไนต์เอลิเมนต์.....	26
ช.11 แสดงคุณสมบัติของน้ำ.....	40



# สารบัญรูป

รูปที่	หน้า
1.1 เครื่องแลกเปลี่ยนความร้อนชนิดเปลือกและท่อ.....	1
2.2 การแบ่งแบบจำลองออกเป็นเอลิเมนต์เล็ก ๆ โดยระเบียบวิไฟไนต์เอลิเมนต์.....	6
3.3 แผนผังแสดงขั้นตอนการดำเนินงาน.....	11
3.4.เปลือก.....	12
3.5 ท่อ.....	12
3.6 แผ่นกันที่เบอร์เซ็นต์การตัด 15.19%.....	13
3.7 Tube sheet.....	13
3.8 Tubeside Flow.....	13
3.9 แบบจำลองเครื่องแลกเปลี่ยนความร้อนชนิดเปลือกและท่อ.....	14
3.10 กำหนดสภาพเชื่อมไขบที่ใช้ในการวิเคราะห์.....	16
3.11 เครื่องแลกเปลี่ยนความร้อนชนิดเปลือกและท่อ ในห้องปฏิบัติการวิศวกรรมเครื่องกล.....	17
3.12 เครื่องแลกเปลี่ยนความร้อนชนิดเปลือกและท่อ ในห้องปฏิบัติการวิศวกรรมเครื่องกล.....	18
4.13 แสดงผลการวิเคราะห์ของอุณหภูมิจากการทดลอง.....	19
4.14 แสดงผลการวิเคราะห์ของอุณหภูมิด้วยระเบียบวิไฟไนต์เอลิเมนต์ ที่เบอร์เซ็นต์การตัด 15.91%.....	20
4.15 แสดงค่าความดันลดจากระเบียบวิไฟไนต์เอลิเมนต์ที่เบอร์เซ็นต์การตัด 15%.....	24
ก.16 แสดงค่าความดันที่เบอร์เซ็นต์การตัดของแผ่นกัน 15%.....	32
ก.17 แสดงค่าอุณหภูมิที่เบอร์เซ็นต์การตัดของแผ่นกัน 15%.....	32
ก.18 แสดงทิศทางการไหลที่เบอร์เซ็นต์การตัดของแผ่นกัน 15%.....	33
ก.19 แสดงค่าความดันที่เบอร์เซ็นต์การตัดของแผ่นกัน 20%.....	33
ก.20 แสดงค่าอุณหภูมิที่เบอร์เซ็นต์การตัดของแผ่นกัน 20%.....	34
ก.21 แสดงทิศทางการไหลที่เบอร์เซ็นต์การตัดของแผ่นกัน 20%.....	34
ก.22 แสดงค่าความดันที่เบอร์เซ็นต์การตัดของแผ่นกัน 25%.....	35
ก.23 แสดงค่าอุณหภูมิที่เบอร์เซ็นต์การตัดของแผ่นกัน 25%.....	35

## สารบัญรูป (ต่อ)

รูปที่	หน้า
ก.24 แสดงทิศทางการไหลที่เปอร์เซ็นต์การตัดของแผ่นกัน 25%.....	36
ก.25 แสดงค่าความดันที่เปอร์เซ็นต์การตัดของแผ่นกัน 30%.....	36
ก.26 แสดงค่าอุณหภูมิที่เปอร์เซ็นต์การตัดของแผ่นกัน 30%.....	37
ก.27 แสดงทิศทางการไหลที่เปอร์เซ็นต์การตัดของแผ่นกัน 30%.....	37
ก.28 แสดงค่าความดันที่เปอร์เซ็นต์การตัดของแผ่นกัน 35%.....	38
ก.29 แสดงค่าอุณหภูมิที่เปอร์เซ็นต์การตัดของแผ่นกัน 35%.....	38
ก.30 แสดงทิศทางการไหลที่เปอร์เซ็นต์การตัดของแผ่นกัน 35%.....	39
ก.31 แสดงค่าความดันที่เปอร์เซ็นต์การตัดของแผ่นกัน 40%.....	39
ก.32 แสดงค่าอุณหภูมิที่เปอร์เซ็นต์การตัดของแผ่นกัน 40%.....	40
ก.33 แสดงทิศทางการไหลที่เปอร์เซ็นต์การตัดของแผ่นกัน 40%.....	40
ก.34 แสดงค่าความดันที่เปอร์เซ็นต์การตัดของแผ่นกัน 45%.....	41
ก.35 แสดงค่าอุณหภูมิที่เปอร์เซ็นต์การตัดของแผ่นกัน 45%.....	41
ก.36 แสดงทิศทางการไหลที่เปอร์เซ็นต์การตัดของแผ่นกัน 45%.....	42

## สารบัญกราฟ

กราฟที่	หน้า
4.1 กราฟแสดงค่าสัมประสิทธิ์การถ่ายเทความร้อนรวม.....	23
4.2 กราฟแสดงค่าความดันลด.....	25
4.3 กราฟแสดงค่าประสิทธิผล.....	26



## ลำดับสัญลักษณ์

$A$	พื้นที่แลกเปลี่ยนความร้อน
$c_p$	ค่าความจุความร้อนจำเพาะ
$d$	เมตริกซ์การเสียรูปของแต่ละโนด
$D$	ผลรวมของการเสียรูปของแต่ละโนด
$E$	ค่าประสิทธิผลที่ได้จากการวัด
$f$	เมตริกซ์ของแรงที่กระทำแต่ละโนด
$F$	ผลรวมเมตริกซ์ของแรงที่กระทำแต่ละโนด
$h$	ค่าสัมประสิทธิ์การพากความร้อน
$k$	สหพเนสเมตริกซ์ของเอลิเมนต์
$k$	ค่าสัมประสิทธิ์การนำความร้อน
$K$	ผลรวมสหพเนสเมตริกซ์ของเอลิเมนต์
$m$	อัตราการไหลเชิงมวล
$M$	ค่าประสิทธิผลที่คำนวณได้จากการแบบจำลอง
$\Omega$	ความร้อนที่แลกเปลี่ยน
$\Delta T$	ผลต่างของอุณหภูมิ
$\Delta T_{lm}$	ผลต่างของอุณหภูมิเชิงล็อก
$T_{cold,in}$	อุณหภูมิทางเข้าของกระแสเย็น
$T_{cold,out}$	อุณหภูมิทางออกของกระแสเย็น
$T_{hot,in}$	อุณหภูมิทางเข้าของกระแสร้อน
$T_{hot,out}$	อุณหภูมิทางออกของกระแสร้อน
$T_s$	อุณหภูมิพื้นผิว
$U$	สัมประสิทธิ์การถ่ายเทความร้อนรวม
$x$	ความหนาของวัสดุที่นำความร้อน
$\varepsilon$	การแพร่รังสีความร้อนของพื้นผิวโดยเปรียบเทียบกับวัตถุดำ
$\sigma$	ค่าคงที่ของ Stefan Boltzmann
$\epsilon$	ค่าประสิทธิผล

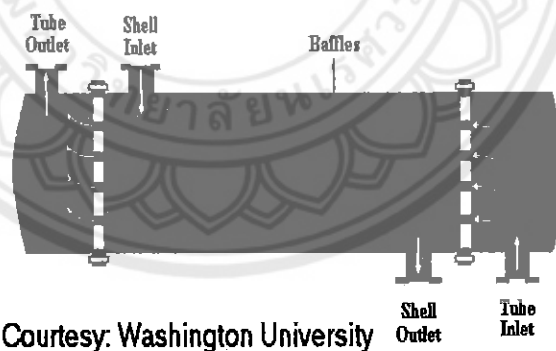
## บทที่ 1

### บทนำ

#### 1.1 ที่มาและความสำคัญ

ปัจจุบันเครื่องแลกเปลี่ยนความร้อนถูกนำมาใช้งานอย่างแพร่หลายในอุตสาหกรรมเนื่องจากในงานอุตสาหกรรมประเภทต่างๆ มีระบบการทำงานของอุปกรณ์หลายระบบที่ เมื่อเริ่มทำงานแล้วเกิดสภาวะอุณหภูมิสูงเกินไป ซึ่งอาจทำให้อุปกรณ์เหล่านั้นเกิดความเสียหายได้รวมไปถึงประสิทธิภาพของอุปกรณ์เหล่านั้นลดลงอีกด้วย ดังนั้นจึงจำเป็นต้องนำเครื่องแลกเปลี่ยนความร้อนมาแลกเปลี่ยนความร้อนเหล่านั้นออกไป เพื่อป้องกันอุปกรณ์เหล่านั้นไม่ให้เกิดความเสียหายและสามารถทำงานได้อย่างมีประสิทธิภาพต่อไป

การแบ่งประเภทของเครื่องแลกเปลี่ยนความร้อนจะแบ่งออกเป็น 2 ประเภท คือ แบ่งตามสภาวะของของไหลและแบ่งตามลักษณะการใช้งาน โครงการนี้จะทำศึกษาเครื่องแลกเปลี่ยนความร้อนชนิดเปลือกและท่อ ที่มีสภาวะของของไหลเป็นแบบของเหลวกับของเหลว



Courtesy: Washington University

รูปที่ 1.1 เครื่องแลกเปลี่ยนความร้อนชนิดเปลือกและท่อ  
[ที่มา [www.cheresources.com](http://www.cheresources.com)]

เครื่องแลกเปลี่ยนความร้อนชนิดเปลือกและท่อ เป็นอุปกรณ์ที่ทำหน้าที่แลกเปลี่ยนความร้อนซึ่งมีส่วนประกอบหลักที่สำคัญ ดังนี้

1.1.1 เปลือก (Shell) คือ ส่วนที่เป็นส่วนประกอบนอกสุดที่มีลักษณะเป็นทรงกระบอก ทำหน้าที่ส่งผ่านของไหลที่ 1

1.1.2 ท่อ (Tube) คือ ท่อทรงกระบอกขนาดเล็กที่บรรจุอยู่ภายในเปลือก ทำหน้าที่ส่งผ่านของไอลท์ที่ 2 ในการแลกเปลี่ยนความร้อน

1.1.3 แผ่นกัน (Baffle) คือ ตัวบังคับทิศทางการไหลของไอลท์ที่ 1 และป้องกันการสั่นสะเทือนของท่อ

ประสิทธิภาพของการแลกเปลี่ยนความร้อนของเครื่องแลกเปลี่ยนความร้อนขึ้นอยู่กับค่าสัมประสิทธิ์การถ่ายเทความร้อนรวม และค่าความดันลดของไอลภายในเครื่องแลกเปลี่ยนความร้อน ซึ่งอุปกรณ์หลักที่มีผลต่อค่าประสิทธิภาพของเครื่องแลกเปลี่ยนความร้อนโดยตรงอย่างหนึ่ง คือ แผ่นกัน เนื่องจากแผ่นกันจะทำหน้าที่บังคับทิศทางการไหลของกระแสของไอลที่มาแลกเปลี่ยนความร้อน คือ ถ้าแผ่นกันสามารถบังคับให้กระแสของไอลที่มาแลกเปลี่ยนความร้อนกัน ไอลตั้งจากกันมากก็จะทำให้ประสิทธิภาพของการแลกเปลี่ยนความร้อนมากตามไปด้วย

โครงการนี้จะทำการศึกษาถึงผลกระทบของเปอร์เซ็นต์การตัดของแผ่นกันที่ส่งผลต่อ ค่าสัมประสิทธิ์การถ่ายเทความร้อนรวม ค่าความดันลด และค่าประสิทธิผลของการแลกเปลี่ยนความร้อน ซึ่งจะทำการศึกษาที่เปอร์เซ็นต์การตัดของแผ่นกันที่ 15% ถึง 45% โดยใช้ระบบวิธีไฟน์เติมเม้นต์ เปรียบเทียบกับผลจากการทดลอง

## 1.2 วัตถุประสงค์ของการศึกษา

1.2.1 เพื่อศึกษาผลกระทบของเปอร์เซ็นต์การตัดของแผ่นกัน ที่มีผลต่อค่าสัมประสิทธิ์การถ่ายเทความร้อนรวมในเครื่องแลกเปลี่ยนความร้อนชนิดเปลือกและท่อ

1.2.2 เพื่อศึกษาผลกระทบของเปอร์เซ็นต์การตัดของแผ่นกัน ที่มีผลต่อค่าความดันลดในเครื่องแลกเปลี่ยนความร้อนชนิดเปลือกและท่อ

1.2.3 เพื่อศึกษาผลกระทบของเปอร์เซ็นต์การตัดของแผ่นกัน ที่มีผลต่อค่าประสิทธิผลของการแลกเปลี่ยนความร้อนในเครื่องแลกเปลี่ยนความร้อนชนิดเปลือกและท่อ

### 1.3 ขอบเขตของโครงการ

1.3.1 เป็นการวิเคราะห์โดยใช้ระเบียบวิธีไฟน์ต์โซลิเม้นต์โดยเปรียบเทียบกับผลจากการทดลอง

1.3.2 เป็นการศึกษาเฉพาะผลกระทบของแผ่นกันที่เปอร์เซ็นต์การตัด 15%, 20%, 25%, 30%, 35%, 40% และ 45%

1.3.3 วัสดุในแบบจำลองจะเป็นรูปไฟน์ต์โซลิเม้นต์มีลักษณะเป็น Isotropic Material และ Homogeneous Material

1.3.4 เป็นการศึกษาการส่งผ่านความร้อนในสภาวะคงตัว

1.3.5 ค่าความดันลดเป็นการศึกษาเฉพาะของไอลกภายในเปลือก



#### 1.4 ขั้นตอนการดำเนินงาน

### ตารางที่ 1.1 ตารางแสดงขั้นตอนการดำเนินงาน

## 1.5 ผลที่คาดว่าจะได้รับ

1.5.1 ได้แบบจำลองของเครื่องแลกเปลี่ยนความร้อนชนิดเปลือกและห่อ ที่สามารถวิเคราะห์ด้วยระบบวิธีไฟแนต์เอลิเมนต์ ซึ่งสามารถนำไปประยุกต์ใช้วิเคราะห์ตัวแปรอื่นๆ ที่มีผลต่อค่าสัมประสิทธิ์การถ่ายเทความร้อนรวม ค่าความดันลด และค่าประสิทธิผลของการแลกเปลี่ยนความร้อน ในเครื่องแลกเปลี่ยนความร้อนชนิดเปลือกและห่อ

1.5.2 ทราบถึงเปอร์เซ็นต์การตัดของแผ่นกัน ที่เหมาะสม ซึ่งจะนำไปสู่การออกแบบ เพื่อการใช้งานที่มีประสิทธิภาพยิ่งขึ้น

## 1.6 งบประมาณที่ใช้

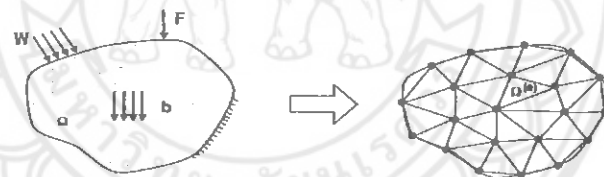
1.6.1 กระดาษ	500	บาท
1.6.2 จัดทำรูปเล่ม	2,000	บาท
1.6.3 ค่าอุปกรณ์อื่นๆ	500	บาท

## บทที่ 2

### หลักการและทฤษฎี

#### 2.1 ทฤษฎีระเบียบวิธีไฟในต์เอลิเมนต์

เนื่องจากเครื่องแลกเปลี่ยนความร้อนชนิดเปลือกและห้องมีรูปร่างที่ซับซ้อน ดังนั้นวิธีการวิเคราะห์ด้วยระเบียบวิธีไฟในต์เอลิเมนต์จึงเป็นวิธีที่เหมาะสมที่สุด เนื่องจากสามารถวิเคราะห์ได้โดยง่ายและสะดวกรวดเร็วในการวิเคราะห์ผลกระทบของตัว外ต่างๆ ระเบียบวิธีไฟในต์เอลิเมนต์ เป็นระเบียบวิธีเชิงตัวเลข มีแนวความคิดที่ว่าวัตถุที่มีรูปร่างซับซ้อนได้ฯ สามารถแบ่งออกเป็นชิ้นเล็กๆ ได้โดยแต่ละชิ้นเล็กๆ เหล่านั้นสามารถพิจารณาแยกกันอย่างอิสระและสามารถประกอบเข้ากันเป็นวัตถุรูปเดิมได้ ระเบียบวิธีไฟในต์เอลิเมนต์ therefore หมายความว่าห้องปัญหาที่ยุ่งยากซับซ้อน ซึ่งไม่สามารถหาผลเฉลยแม่นตรงได้จากการเชิงอนุพันธ์ โดยจะแก้ปัญหาให้อยู่ในรูปฟังก์ชันพีชคณิตแล้วใช้คอมพิวเตอร์คำนวณหาผลลัพธ์ มีหลักการและลำดับขั้นตอนดังนี้คือ



รูปที่ 2.2 การแบ่งแบบจำลองออกเป็นเอลิเมนต์เล็กๆ โดยระเบียบวิธีไฟในต์เอลิเมนต์

2.1.1 แบ่งวัตถุที่พิจารณาออกเป็นชิ้นเล็กๆ เรียกว่า Element และเชื่อมต่อกันด้วย Node

2.1.2 สร้างสมการความสัมพันธ์ของปริมาณทางพิสิกส์ของแต่ละ Element ซึ่งจะทำให้ได้ Local Equations ของแต่ละ Element

$$[k]\{d\} = \{f\} \quad (1)$$

เมื่อ  $[k]$  คือ ส�ิพเนสเมทริกซ์ของเอลิเมนต์ แทนด้วย คุณสมบัติ (ค่าการนำความร้อนของวัสดุและค่าสัมประสิทธิ์การพาความร้อนของน้ำในเปลือก)

$\{d\}$  คือ เมทริกซ์การเสียรูปของแต่ละโนด แทนด้วย ตัวแปรที่เราต้องการหา (อุณหภูมิ, ความดันกด)

{f} คือ เมตริกซ์ของแรงที่กระทำแต่ละโนด แทนด้วย ภาระภารทำต่างๆ (อัตราการไหล, อุณหภูมิทางเข้าและ ความดันทางออกของน้ำทั้งสองกระแส)

2.1.3 ประกอบ Element เข้าด้วยกันโดยการใช้หมายเลข Node เป็นตัวเชื่อม จะทำให้ได้ระบบสมการของห้องวัดถูกที่พิจารณา

$$[K]\{D\} = \{F\} \quad (2)$$

2.1.4 แก้ระบบสมการเพื่อหาค่าตัวแปรที่ Node ต่างๆ {D} โดยการนำเงื่อนไขขอนเข้าช่วยในการพิจารณาระบบสมการดังกล่าวเพื่อลดจำนวนตัวแปร

2.1.5 คำนวณหาค่าอื่นๆ ที่ต้องการจากค่าตัวแปรที่ได้จากการคำนวณในข้อ 2.1.4 เช่น ความเดิน ความเครียด อุณหภูมิ และความดัน [1]

## 2.2 ทฤษฎีการถ่ายเทความร้อน

การถ่ายเทความร้อน มี 3 แบบ คือ การนำความร้อน การพาความร้อน และการแผ่รังสีความร้อน มีรายละเอียดดังนี้

2.2.1 การนำความร้อน (Conduction) คือ การถ่ายเทความร้อนภายในวัสดุจากอุณหภูมิที่อยู่ติดกัน โดยจะต้องอาศัยตัวกลางในการนำความร้อน ซึ่งความร้อนจะถ่ายเทจากบริเวณที่มีอุณหภูมิสูงไปสู่บริเวณที่มีอุณหภูมิต่ำ โดยอัตราการถ่ายเทความร้อนแบบนี้เป็นไปตามกฎการนำความร้อนของฟูเรียร์ (Fourier's law of heat conduction) ซึ่งเป็นไปตามสมการ

$$Q = \frac{kA\Delta T}{x} \quad (3)$$

2.2.2 การพาความร้อน (Convection) คือ การถ่ายเทความร้อนเมื่อของไหหลีไปสัมผัสกับผิวของวัสดุที่มีอุณหภูมิแตกต่างจากของไหหลีจึงทำให้เกิดการแลกเปลี่ยนความร้อนขึ้น โดยอัตราการถ่ายเทความร้อนแบบนี้เป็นไปตาม กฎการเย็นตัวของนิวตัน (Newton's law of cooling) ซึ่งเป็นไปตามสมการ

$$Q = hA\Delta T \quad (4)$$

ซึ่งการพาความร้อนถูกจำแนกออกเป็น 2 ประเภท คือ

2.2.2.1 การพาความร้อนแบบธรรมชาติ (Natural Convection) คือ การเคลื่อนไหวของของไหหลีเป็นผลของแรงลอยตัวซึ่งเกิดจากผลการเปลี่ยนแปลงความหนาแน่น อันเกิดจากมีผลต่างของอุณหภูมิของของไหหลีใน 2 บริเวณ

2.2.2.2 การพาความร้อนแบบบังคับ (Forced Convection) คือ การเคลื่อนไหวของของ

ไฟลที่เป็นผลมาจากการทำภายนอก เช่น เครื่องสูบ เครื่องเป่าลม เป็นต้น

2.2.3 การแผรังสี (Radiation) คือ การถ่ายเทความร้อนโดยไม่อาร์ตี้ตัวกลาง พลังงานความร้อนจากการแผรังสีจะเคลื่อนที่ไปในรูปของคลื่นแม่เหล็กไฟฟ้า โดยอัตราการถ่ายเทความร้อนแบบนี้เป็นไปตาม กฎของสเตฟาน-โบลท์มันน์ (Stefan-Boltzmann law) ซึ่งเป็นไปตามสมการ [2]

$$Q = \epsilon\sigma AT_s^4 \quad (5)$$

โครงงานนี้จะศึกษาการถ่ายเทความร้อนเฉพาะการนำความร้อนและการพาความร้อนท่านี้ ส่วนการถ่ายเทความร้อนแบบการแผรังสีไม่คำนึงถึง

### 2.3 สมการที่เกี่ยวข้อง

2.3.1 ความร้อนจำเพาะ (Specific Heat,  $c_p$ ) เป็นปริมาณของพลังงานความร้อนที่ทำให้อุณหภูมิที่ให้ต่อสารได้ๆ เพิ่มขึ้น  $1^\circ\text{C}$  ต่อหน่วยมวล ถ้าปริมาณความร้อน  $Q$  หน่วย ถูกถ่ายเทให้กับมวล  $m$  แล้วทำให้อุณหภูมิเปลี่ยนไป  $\Delta T$  สามารถเขียนปริมาณความร้อนได้สมการดังนี้

$$Q = \dot{m}c_p\Delta T \quad (6)$$

2.3.2 ค่าสัมประสิทธิ์การถ่ายเทความร้อนรวม (Overall Heat Transfer Coefficient,  $U$ ) เป็นค่าการถ่ายเทความร้อนรวมของการถ่ายเทแลกเปลี่ยนความร้อนที่เกิดขึ้น สามารถเขียนปริมาณความร้อนที่เกิดขึ้นได้ว่า

$$Q = UA\Delta T_{lm} \quad (7)$$

โดย

$$\Delta T_{lm} = \frac{(T_{hot,in} - T_{cold,out}) - (T_{hot,out} - T_{cold,in})}{\ln(\frac{T_{hot,in} - T_{cold,out}}{T_{hot,out} - T_{cold,in}})} \quad (8)$$

2.3.3 ค่าประสิทธิผล (Effectiveness) เป็นค่าประสิทธิผลประมาณจากอัตราส่วนของความร้อนที่ทำได้จริงต่อความร้อนที่เป็นไปได้สูงสุด เป็นไปตามสมการ [2]

$$\varepsilon = \frac{T_{hot,in} - T_{hot,out}}{T_{hot,in} - T_{cold,in}} \times 100\% \quad (9)$$

## 2.4 ค่าความคลาดเคลื่อน

2.3.1 ค่าความคลาดเคลื่อนสัมบูรณ์ (Absolute Error) ของเครื่องมือวัด เป็นค่าความแตกต่างระหว่างค่าที่แท้จริง (Expected Value : E) กับค่าที่ได้จากการวัด (Measured Value : M) ซึ่งสามารถหาได้จาก

$$\text{Absolute Error} = E - M \quad (10)$$

การคำนวณค่าความคลาดเคลื่อนสะสมของตัวแปรตามเมื่อทราบความคลาดเคลื่อนของตัวแปรต้นสามารถหาได้ด้วยวิธี Step by Step โดยอาศัยความสัมพันธ์ของความคลาดเคลื่อนสัมพัทธ์ ด้วย

$$\text{ความคลาดเคลื่อนสัมพัทธ์} = \frac{\text{ความคลาดเคลื่อนสัมบูรณ์} \times 100\%}{\text{ค่าที่วัดได้}} \quad (11)$$

2.4.2 Root Mean Square Error (RMSE) เป็นรากค่าตอบของค่าเฉลี่ยความคลาดเคลื่อนยกกำลังสอง ค่าเฉลี่ยของความคลาดเคลื่อนนี้ใช้วัดความแปรปรวนระหว่างผลจากแบบจำลอง (พยากรณ์) และผลที่ได้จากการทดลอง (การวัดจริง) หากผิดพลาดมากค่าเฉลี่ยของความคลาดเคลื่อนจะสูงขึ้นเพราเป็นค่ายกกำลังสอง โดยปกติ RMSE จะถูกใช้เป็นค่าประเมินค่าเบี่ยงเบนของความคลาดเคลื่อนสามารถหาได้จาก

$$RMSE = \sqrt{\frac{\sum_{i=1}^N (M_i - E_i)^2}{N}} \quad (12)$$

2.4.3 Mean Bias Difference (MBD) เป็นค่าความแตกต่างระหว่างค่าเฉลี่ยที่ได้จากผลจากแบบจำลอง และผลที่ได้จากการทดลอง สามารถหาได้จาก

$$MBD = \frac{1}{N} \sum_{i=1}^N (M_i - E_i) \quad (13)$$

ค่า RMSE และค่า MBD เมื่อนำไปเปรียบเทียบกับค่าความคลาดเคลื่อนสะสมสัมบูรณ์ที่เกิดขึ้นจริง ถ้ามีค่าน้อยกว่าสามารถสรุปได้ว่าค่าที่ได้จากการทดลองมีค่า

ความคลาดเคลื่อนอยู่ในเกณฑ์ที่ยอมรับได้ แต่ถ้ามีค่ามากกว่าสามารถสรุปได้ว่าค่าที่ได้จากแบบจำลองกับค่าที่ได้จากการทดลองมีค่าความคลาดเคลื่อนกันอยู่ในเกณฑ์ที่ยอมรับไม่ได้ [3]

## 2.5 ผลงานวิจัยที่เกี่ยวข้อง

Ender Ozden และ İlker Tari ได้ทำการศึกษาผลกระทบของระยะห่างของแผ่นกันเบอร์เช็นต์การตัดของแผ่นกัน และขนาดเส้นผ่านศูนย์กลางของเปลือก ที่มีผลต่อค่าสัมประสิทธิ์การถ่ายเทความร้อนและความดันลดที่เกิดขึ้นในเครื่องแลกเปลี่ยนความร้อนชนิดเปลือกและห่อ โดยใช้โปรแกรม CFD คำนวณ แล้วนำผลการคำนวณไปเปรียบเทียบกับผลการคำนวณของ Kern method และ Bell Delaware method โดยปรับค่าระยะห่างของแผ่นกัน ระยะเบอร์เช็นต์การตัดของแผ่นกัน อัตราการไหลเชิงมวล และ กำหนดให้ค่าเส้นผ่านศูนย์กลาง และค่าความยาวของเปลือกและจำนวนห่อ มีค่าคงที่ จากผลการทดลองค่าที่คำนวณจากโปรแกรม CFD มีค่าใกล้เคียงกับผลคำนวณของ Kern method และ Bell- Delaware method ค่าที่คำนวณได้ประสิทธิภาพดีที่สุดคือ ระยะเบอร์เช็นต์การตัดของแผ่นกัน ที่ 36% และจำนวนแผ่นกัน 12 แผ่น ที่ความยาวของเครื่องแลกเปลี่ยนความร้อน 0.6 เมตร และอัตราการไหลเชิงมวล 0.5 kg/s [4]

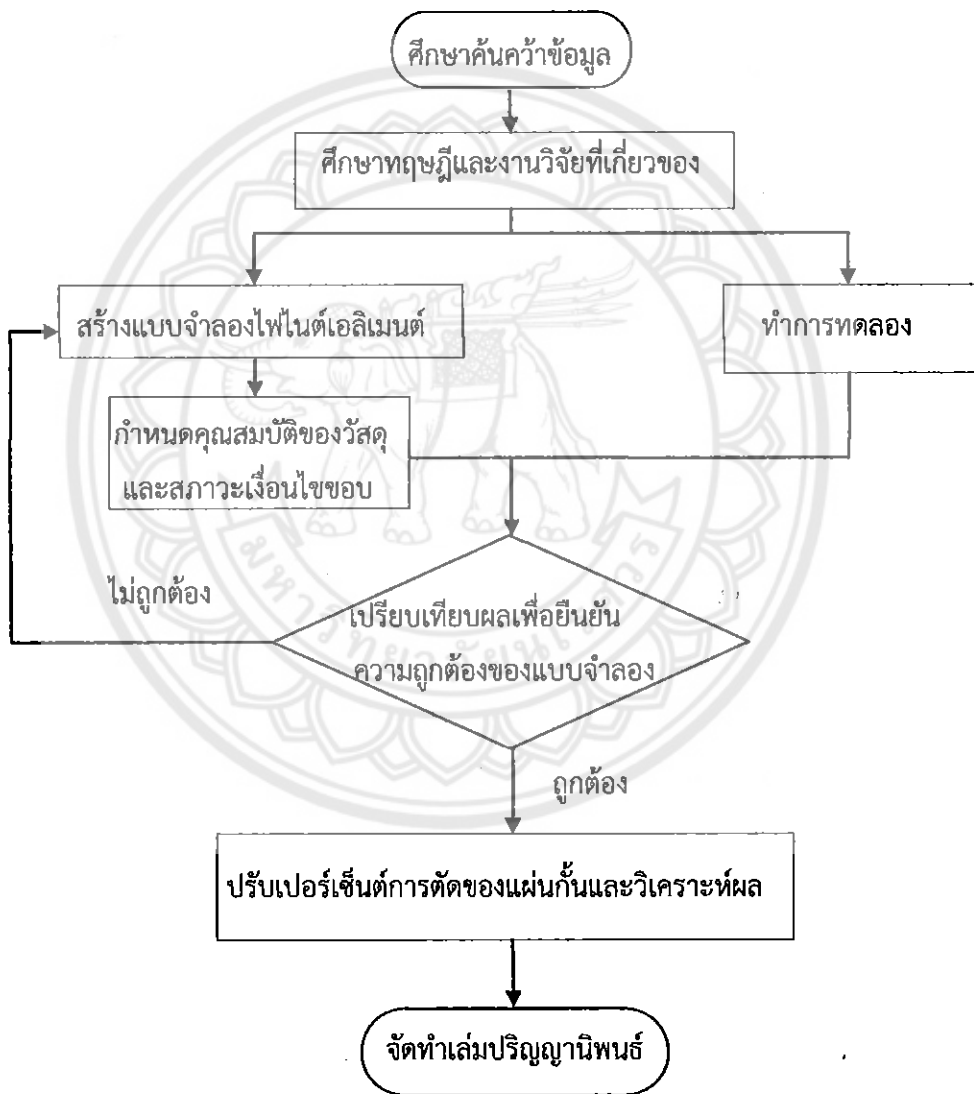
Huadong Li และ Volker Kottke ได้ทำการศึกษาผลกระทบของระยะแผ่นกันที่มีผลต่อค่าความดันลดและค่าสัมประสิทธิ์การถ่ายเทความร้อนของเครื่องแลกเปลี่ยนความร้อนชนิดเปลือกและห่อ ซึ่งทำการศึกษาโดยการทดลองโดยกำหนดระยะห่างระหว่างแผ่นกันที่ค่า 113 mm, 144 mm และ 175 mm ผลจากการทดลองพบว่า การเพิ่มระยะห่างของแผ่นกันจะทำให้ค่าสัมประสิทธิ์การพารามิเตอร์ และความร้อน และค่าความดันลด มีค่าลดน้อยลง [5]

จากการศึกษาเอกสารและงานวิจัยที่เกี่ยวข้อง พบว่าตัวแปรที่มีผลกระทบต่อค่าสัมประสิทธิ์การถ่ายเทความร้อนและค่าความดันลดที่เกิดขึ้นในเครื่องแลกเปลี่ยนความร้อนชนิดเปลือกและห่อ ตัวแปรหลัก คือ แผ่นกัน ทั้งเบอร์เช็นต์การตัดของแผ่นกัน และระยะห่างของแผ่นกัน ซึ่งโครงงานนี้จะทำการศึกษาเฉพาะเบอร์เช็นต์การตัดของแผ่นกันที่เบอร์เช็นต์การตัด 15% ถึง 45% เท่านั้น ส่วนระยะห่างของแผ่นกันนั้นจะกำหนดให้มีค่าคงที่

## บทที่ 3

### วิธีการดำเนินงาน

ขั้นตอนวิธีดำเนินงานของโครงการนี้เป็นไปตามแผนภูมิการดำเนินงานดังนี้



รูปที่ 3.3 แผนภูมิแสดงขั้นตอนการดำเนินงาน

### 3.1 ศึกษาค้นคว้าข้อมูล

3.1.1 ศึกษาข้อมูลและรายละเอียดต่างๆ ของเครื่องแลกเปลี่ยนความร้อนชนิดเปลือกและท่อรวมถึงเอกสารงานวิจัยต่างๆ ที่เกี่ยวข้องกับโครงการนี้

3.1.1.1 ทฤษฎีและสมการการถ่ายโอนความร้อน

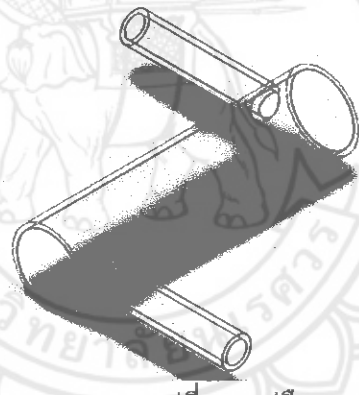
3.1.1.2 ทฤษฎีระเบี่ยบวิธีไฟไนต์เอลิเมนต์

3.1.1.3 ส่วนประกอบและการใช้งานของเครื่องแลกเปลี่ยนความร้อนชนิดเปลือกและท่อ

3.1.1.4 ศึกษางานวิจัยที่เกี่ยวข้องกับเครื่องแลกเปลี่ยนความร้อนชนิดเปลือกและท่อ

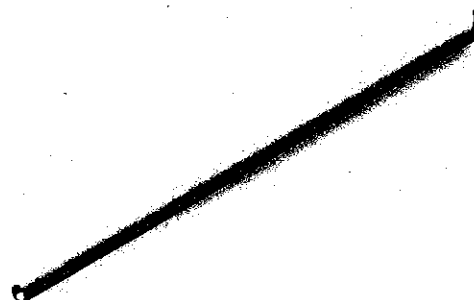
### 3.2 สร้างแบบจำลองไฟไนต์เอลิเมนต์

3.2.1 เปลือก ทำจากแก้ว (Glass) ขนาดเส้นผ่านศูนย์กลางภายนอก 50 mm ยาว 190 mm หนา 3 mm



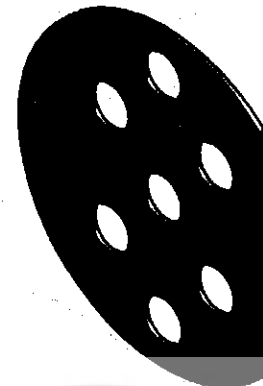
รูปที่ 3.4 เปลือก

3.2.2 ท่อ ทำจากเหล็กกล้าไร้สนิม (Stainless steel 321) ขนาดสันผ่านศูนย์กลางภายนอก 6 mm ยาว 190 mm หนา 1 mm



รูปที่ 3.5 ท่อ

3.2.3 แผ่นกันทำจากเหล็กกล้าไร้สนิม หนา 0.75 mm



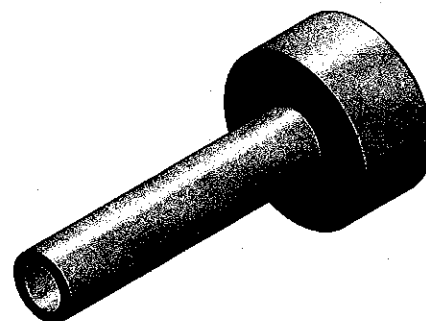
รูปที่ 3.6 แผ่นกันที่เบอร์เซ็นต์การตัด 15.19%

3.2.4 Tube Sheet ทำจากเหล็กกล้าไร้สนิม หนา 2 mm



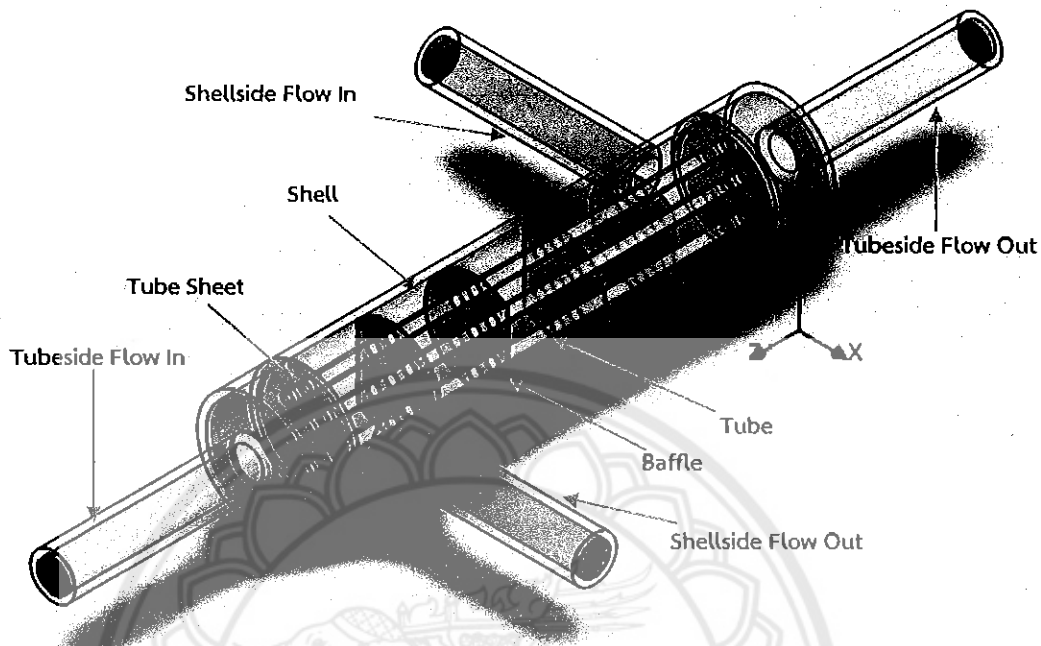
รูปที่ 3.7 Tube sheet

3.2.5 Tubeside Flow ทำจากเหล็กกล้าไร้สนิม หนา 3 mm



รูปที่ 3.8 Tubeside Flow

### 3.2.6 ประกอบได้แบบจำลองเครื่องแลกเปลี่ยนความร้อนชนิดเปลือกและท่อดังรูปที่ 3.9



รูปที่ 3.9 แบบจำลองเครื่องแลกเปลี่ยนความร้อนชนิดเปลือกและท่อ

## 3.3 กำหนดคุณสมบัติและสภาวะเงื่อนไขของของแบบจำลอง

### 3.3.1 คุณสมบัติของวัสดุต่างๆ ของแบบจำลองเป็นไปตามในตารางที่ 3.2

ตารางที่ 3.2 แสดงคุณสมบัติของวัสดุต่างๆ ในแบบจำลอง

วัสดุ	Thermal conductivity (W/m·K)	Specific heat (J/kg·K)	Mass density (kg/m <sup>3</sup> )
Stainless steel 321	16.1	500	8,000
Glass	1.4	835	2,225

ที่มา : Dewitt Bergmann Lavine (2007)

### 3.3.2 กำหนดค่าสัมประสิทธิ์การพาความร้อนของเหลว ในแบบจำลองดังแสดงในตาราง

ที่ 3.3

ตารางที่ 3.3 แสดงค่าสัมประสิทธิ์การพาความร้อนของเหลวและแก๊ส

Process	$h (\text{W}/\text{m}^2 \cdot \text{K})$
Free convection	
Gases	2-25
Liquids	50-1,000
Forced convection	
Gases	25-250
Liquids	100-20,000
Convection with phase change	
Boiling or condensation	2,500-100,000

ที่มา : Dewitt Bergmann Lavine (2007)

ในแบบจำลองของไฟลภายในเบล็อกเป็นการไฟลแบบบังคับ สามารถคำนวณค่าสัมประสิทธิ์การพาความร้อนได้จากการทดลอง โดยคำนวณจาก

$$Q = \dot{m} c_p \Delta T$$

โดยที่  $Q$  คือ ปริมาณความร้อนที่กระแสของไฟลยืนรับไปจากการกระแสของไฟลร้อน

$\dot{m}$  คือ อัตราการไฟลเข้มมวลของของไฟลกระแสเย็น

$c_p$  คือ ค่าความจุความร้อนจำเพาะเปิดตารางที่ ข.11 ที่อุณหภูมิ  $34.07^\circ\text{C}$

$\Delta T$  คือ ผลต่างของอุณหภูมิของของไฟลกระแสเย็น

แทนค่า

$$Q = 0.02486 \times 4178 \times (309.71 - 304.72) = 518.29 \text{ W}$$

และจาก

$$Q = hA\Delta T$$

โดยที่  $Q$  คือ ปริมาณความร้อนที่กระแสของไฟลยืนรับไปจากการกระแสของไฟลร้อน

$h$  คือ สัมประสิทธิ์การพาความร้อนของของไฟลกระแสเย็น

$A$  คือ พื้นที่แลกเปลี่ยนความร้อนคิดจากพื้นที่ผิวภายนอกของห้องท่อทั้งหมด

$\Delta T$  คือ ผลต่างของอุณหภูมิของของไฟลกระแสเย็น

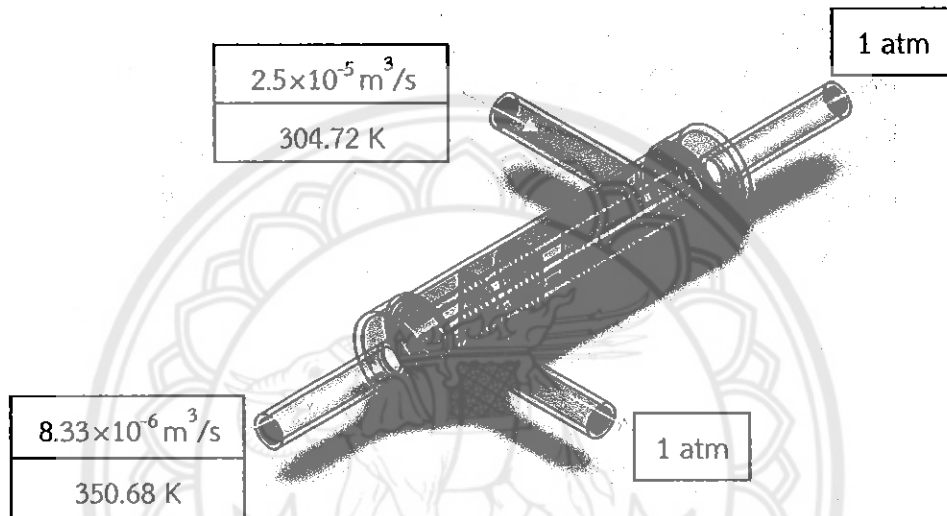
แทนค่า

$$518.29 = h \times 0.02507 \times (309.71 - 304.72)$$

$$h = 4,143 \text{ W/m}^2 \cdot \text{K}$$

ตั้งน้ำ้จึงเลือกใช้ค่าสัมประสิทธิ์การพาของของไอลภายในเปลี่ยนเท่ากับ  $4,143 \text{ W/m}^2 \cdot \text{K}$  เพื่อนำไปคำนวณหาค่าสัมประสิทธิ์การถ่ายเทความร้อนรวมของแบบจำลองที่เปอร์เซ็นต์การตัดของแผ่นกันต่างๆ

### 3.3.3 กำหนดสถานะเงื่อนไขขอบที่ใช้ในการวิเคราะห์



รูปที่ 3.10 กำหนดสถานะเงื่อนไขขอบที่ใช้ในการวิเคราะห์

3.3.3.1 กำหนดอุณหภูมิทางเข้าของของไอลกระแสร้งและกระแสเย็นเป็น  $350.68 \text{ K}$  และ  $304.72 \text{ K}$  ตามลำดับ

3.3.3.2 กำหนดอัตราการไอลเขิงปริมาตรของของไอลกระแสร้งและกระแสเย็นเป็น  $8.33 \times 10^{-6} \text{ m}^3/\text{s}$  และ  $2.5 \times 10^{-5} \text{ m}^3/\text{s}$  ตามลำดับ

3.3.3.3 กำหนดค่าสัมประสิทธิ์การพาความร้อนของของไอลในเปลี่ยนเป็น  $4,143 \text{ W/m}^2 \cdot \text{K}$

3.3.3.4 กำหนดค่าความดันทางออกของทั้ง 2 กระแส เป็น  $1 \text{ atm}$

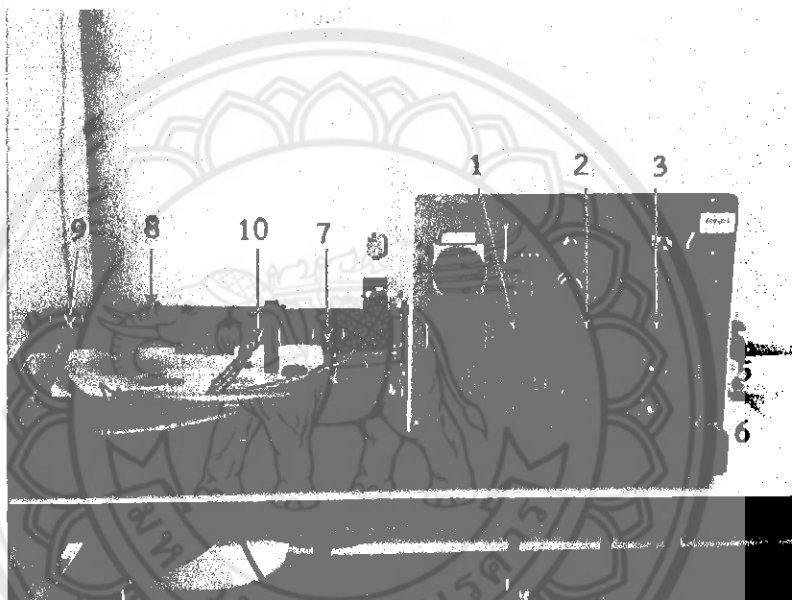
## 3.4 วิเคราะห์แบบจำลองด้วยระบบเบียบวิธีไฟโน่ต์เอลิเมนต์

ทำการวิเคราะห์แบบจำลองด้วยระบบเบียบวิธีไฟโน่ต์เอลิเมนต์แล้วนำผลของอุณหภูมิที่ได้ไปคำนวณหาค่าประสิทธิผล เพื่อนำผลไปเปรียบเทียบกับผลที่ได้จากการทดลอง

### 3.5 ทำการทดลองเครื่องแลกเปลี่ยนความร้อนชนิดเปลือกและท่อ (รุ่น WL 110.03) ในห้องปฏิบัติการวิศวกรรมเครื่องกล

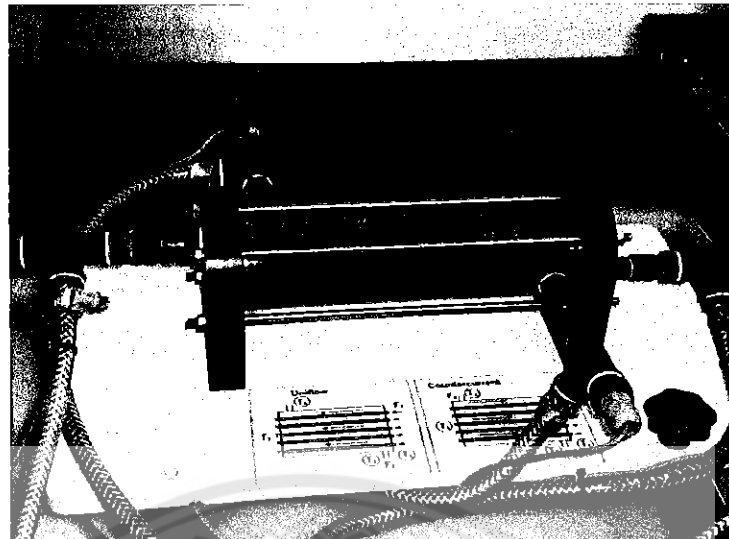
3.5.1 กำหนดอัตราการไหลเชิงปริมาตรของน้ำให้กระเสร็จและกระแสเย็นเป็น  $8.33 \times 10^{-6} \text{ m}^3/\text{s}$  และ  $2.5 \times 10^{-5} \text{ m}^3/\text{s}$  ตามลำดับ

3.5.2 ทำการทดลอง 3 ครั้ง เพื่อหาค่าเฉลี่ยของอุณหภูมิแล้วนำไปคำนวณเป็นค่าประสิทธิผล เพื่อนำมาไปเปรียบเทียบกับผลที่ได้จากการวิเคราะห์ด้วยระเบียบวิธี芬內托อลิเมนต์



รูปที่ 3.11 ชุดการทดลองเครื่องแลกเปลี่ยนความร้อนชนิดเปลือกและท่อในห้องปฏิบัติการ

- เมื่อ
- 1 คือ อุณหภูมิทางเข้า
  - 2 คือ อุณหภูมิทางออก
  - 3 คือ อัตราการไหล
  - 4 คือ ปรับเพื่ออ่านค่าอุณหภูมิทางเข้าทางออกของกระสน้ำร้อนและกระสน้ำเย็น
  - 5 คือ ปรับอัตราการไหลกระสน้ำร้อน
  - 6 คือ ปรับอัตราการไหลกระสน้ำเย็น
  - 7 คือ ทางเข้ากระสน้ำร้อน
  - 8 คือ ทางเข้ากระสน้ำเย็น
  - 9 คือ ทางออกกระสน้ำร้อน
  - 10 คือ ทางออกกระสน้ำเย็น



รูปที่ 3.12 เครื่องแลกเปลี่ยนความร้อนชนิดเปลือกและท่อในห้องปฏิบัติการวิศวกรรมเครื่องกล

### 3.6 เปรียบเทียบประสิทธิผลที่ได้จากการเบี่ยบวิธีไฟในต์เอลิเมนต์และการทดลอง

นำค่าประสิทธิผลจากการวิเคราะห์แบบจำลองด้วยระเบี่ยบวิธีไฟในต์เอลิเมนต์ และจากการทดลอง เพื่อเปรียบเทียบว่าผลที่ได้มีความคลาดเคลื่อนอยู่ในเกณฑ์ที่ยอมรับได้หรือไม่ เพื่อยืนยัน ความถูกต้องของแบบจำลอง สามารถพิสูจน์ได้โดยนำค่าความคลาดเคลื่อนสะสมของค่าประสิทธิผล จากการทดลองนำไปเปรียบเทียบกับ ค่า RMSE และ ค่า MBD ถ้าค่า RMSE และ ค่า MBD มีค่าน้อย กว่าค่าความคลาดเคลื่อนสะสมของประสิทธิผลจากการทดลองจะถือว่าแบบจำลองมีความถูกต้อง

### 3.7 ปรับเปลี่ยนตัวแปรตัดของแผ่นกันและวิเคราะห์ผล

เมื่อได้แบบจำลองที่มีความถูกต้องแล้วจะทำการปรับเปลี่ยนตัวแปรตัดของแผ่นกัน 7 ค่า คือ ที่เปลี่ยนตัวแปรตัด 15%, 20%, 25%, 30%, 35%, 40% และ 45% ตามลำดับ เพื่อวิเคราะห์ค่า ประสิทธิผล ค่าสัมประสิทธิ์การถ่ายเทความร้อนรวม และค่าความดันลดที่เกิดขึ้น

## บทที่ 4

### ผลการดำเนินงานและการวิเคราะห์

#### 4.1 ผลจากการทดลอง



รูปที่ 4.13 ผลการวิเคราะห์ของอุณหภูมิจากการทดลอง

จากการทดลองสามารถวัดค่าอุณหภูมิที่ทางเข้าและทางออกของกระแสน้ำร้อนและกระแสน้ำเย็นได้ตามตารางตารางที่ 4.4

ตารางที่ 4.4 แสดงผลของอุณหภูมิจากการทดลอง

จำนวนครั้ง	$T_{hot,in}(K)$	$T_{hot,out}(K)$	$T_{cold,in}(K)$	$T_{cold,out}(K)$	$\epsilon (%)$
1	350.58	329.85	304.38	309.65	44.87
2	350.75	329.95	304.72	309.65	45.18
3	350.75	330.05	305.05	309.85	45.29
ค่าเฉลี่ย	350.68	329.95	304.72	309.71	45.10

จากการทดลองทำให้ทราบค่าอุณหภูมิ และสามารถนำค่าเหล่านี้ไปคำนวณหาค่าประสิทธิผลของการแลกเปลี่ยนความร้อนได้ โดยหาได้จาก

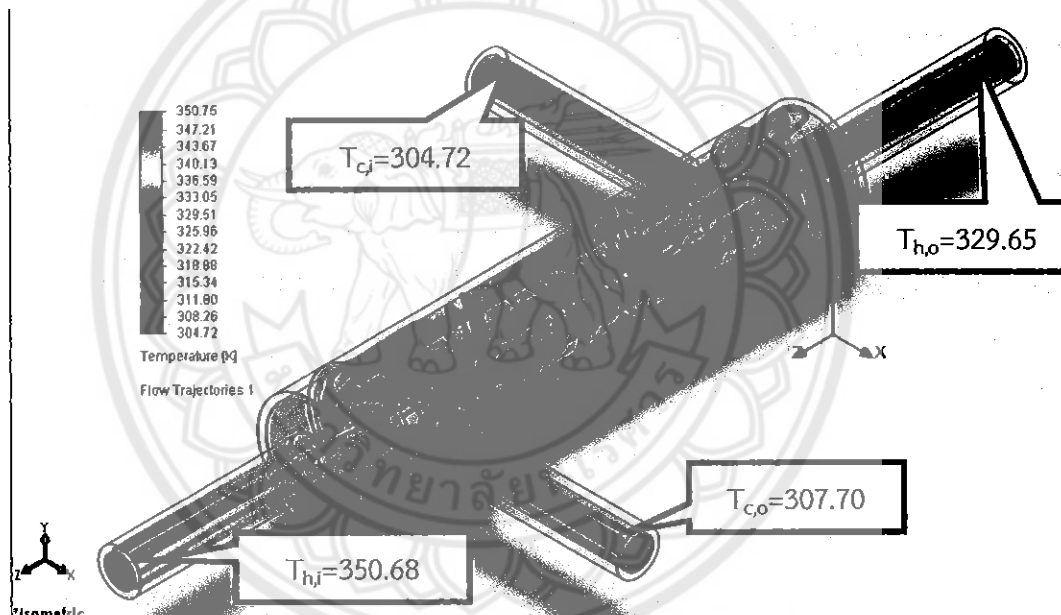
$$\varepsilon = \frac{T_{hot,in} - T_{hot,out}}{T_{hot,in} - T_{cold,in}} \times 100\%$$

แทนค่า

$$\varepsilon = \frac{350.68 - 329.95}{350.68 - 304.72} \times 100\% = 45.10\%$$

ดังนั้นสามารถคำนวณหาค่าประสิทธิผลของการแลกเปลี่ยนความร้อนได้ 45.10%

#### 4.2 ผลจากการวิเคราะห์ด้วยระบบวิธีไฟในตัวเอลิเมนต์



รูปที่ 4.14 ผลการวิเคราะห์ของอุณหภูมิด้วยระบบวิธีไฟในตัวเอลิเมนต์ที่เปอร์เซ็นต์การตัด 15.91%

จากการวิเคราะห์ด้วยระบบวิธีไฟในตัวเอลิเมนต์ ได้ผลของอุณหภูมิ ดังตารางที่ 4.5 ตารางที่ 4.5 แสดงผลของอุณหภูมิจากระบบวิธีไฟในตัวเอลิเมนต์

จำนวนครั้ง	$T_{hot,in}$ (K)	$T_{hot,out}$ (K)	$T_{cold,in}$ (K)	$T_{cold,out}$ (K)	$\varepsilon$ (%)
1	350.58	329.44	304.38	307.37	45.76
2	350.75	329.71	304.72	307.71	45.71
3	350.75	329.8	305.05	308.03	45.84
ค่าเฉลี่ย	350.68	329.65	304.72	307.70	45.76

จากตารางการวิเคราะห์ด้วยระเบียบวิธีไฟน์เติร์โนลิเมนต์ สามารถคำนวณหาค่าประสิทธิผลของการแลกเปลี่ยนความร้อนได้จาก

$$\varepsilon = \frac{T_{hot,in} - T_{hot,out}}{T_{hot,in} - T_{cold,in}} \times 100\%$$

แทนค่า

$$\varepsilon = \frac{350.68 - 329.65}{350.68 - 304.72} \times 100\% = 45.76\%$$

ดังนั้นสามารถคำนวณหาค่าประสิทธิผลของการแลกเปลี่ยนความร้อนได้ 45.76%

#### 4.3 การเปรียบเทียบความถูกต้องของแบบจำลอง

การเปรียบเทียบความถูกต้องของแบบจำลองกับผลของการทดลองสามารถพิสูจน์ได้โดยนำค่าความคลาดเคลื่อนสะสมของค่าประสิทธิผลจากการทดลอง ซึ่งค่าความคลาดเคลื่อนของเครื่องวัดเท่ากับ  $\pm 1^{\circ}\text{C}$  [6] นำไปเปรียบเทียบกับ ค่า RMSE และ ค่า MBD ถ้าค่า RMSE และ ค่า MBD มีค่าน้อยกว่าค่าความคลาดเคลื่อนสะสมของค่าประสิทธิผลจากการทดลองจะถือว่าแบบจำลอง มีความถูกต้อง มีค่าความคลาดเคลื่อนอยู่ในเกณฑ์ที่ยอมรับได้ โดยผลการคำนวณแสดงดังตาราง ต่อไปนี้

ตารางที่ 4.6 แสดงผลความคลาดเคลื่อนสะสมของค่าประสิทธิผลจากการทดลอง

ลำดับ	ค่าประสิทธิผล (%)	ค่าความคลาดเคลื่อนสะสม (%)
1	45.44	3.36
2	45.38	3.37
3	45.38	3.40
เฉลี่ย	45.40	3.38

ตารางที่ 4.7 แสดงผลต่างของค่าประสิทธิผลระหว่างแบบจำลองกับการทดลอง

ลำดับ	$\varepsilon$ แบบจำลอง (M, %)	$\varepsilon$ การทดลอง (E, %)	M-E(%)	$(M-E)^2$ (%)
1	45.76	44.87	0.89	0.7921
2	45.71	45.18	0.53	0.2709
3	45.84	45.29	0.55	0.3025
รวม	137.31	137.34	1.97	1.3755

จากตารางที่ 4.7 สามารถคำนวณค่า RMSE ได้จาก

$$RMSE = \sqrt{\frac{\sum_{t=1}^N (M - E)^2}{N}}$$

$$RMSE = \sqrt{\frac{1.3755}{3}} = 0.677\%$$

และจากตารางที่ 4.7 สามารถคำนวณค่า MBD ได้จาก

$$MBD = \frac{1}{N} \sum_{t=1}^N (M - E)$$

$$MBD = \frac{1}{3} \times 1.97 = 0.657\%$$

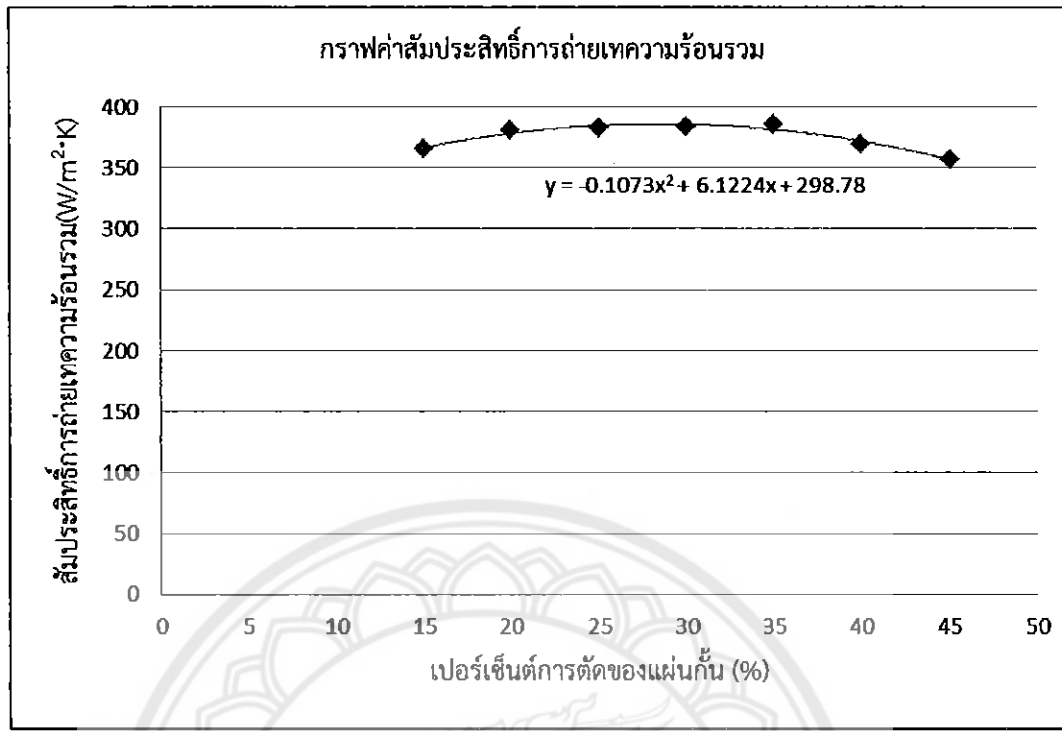
เมื่อได้ค่า RMSE เท่ากับ 0.677% และค่า MBD เท่ากับ 0.657% แล้วนำไปเปรียบเทียบกับค่าความคลาดเคลื่อนสะสมของประสิทธิผลจากการทดลองซึ่งมีค่าเท่ากับ 3.38% ปรากฏว่ามีค่าน้อยกว่า ดังนั้นจึงสรุปได้ว่าแบบจำลองมีความถูกต้อง มีค่าความคลาดเคลื่อนอยู่ในเกณฑ์ที่ยอมรับได้

#### 4.4 ค่าสัมประสิทธิ์การถ่ายเทความร้อนรวม

จากการวิเคราะห์ด้วยระเบียงวิธีไฟน์เติลิเมนต์ของแบบจำลองที่เปลี่ยนเปอร์เซ็นต์การตัดของแผ่นกัน ทำให้ทราบผลต่างของอุณหภูมิ และนำผลต่างของอุณหภูมิที่ได้ไปคำนวณหาค่าสัมประสิทธิ์การถ่ายเทความร้อนรวม ซึ่งสามารถคำนวณหาค่าสัมประสิทธิ์การถ่ายเทความร้อนรวมได้ดังตารางที่ 4.8 และสามารถเขียนเป็นกราฟได้ดังกราฟที่ 4.1

ตารางที่ 4.8 แสดงผลสัมประสิทธิ์การถ่ายเทความร้อนรวมจากการระเบียงวิธีไฟน์เติลิเมนต์

เปอร์เซ็นต์การตัดของแผ่นกัน (%)	ค่าสัมประสิทธิ์การถ่ายเทความร้อนรวม (U,W/m <sup>2</sup> ·K)
15	365.68
20	380.75
25	383.17
30	383.35
35	385.98
40	369.52
45	357.41

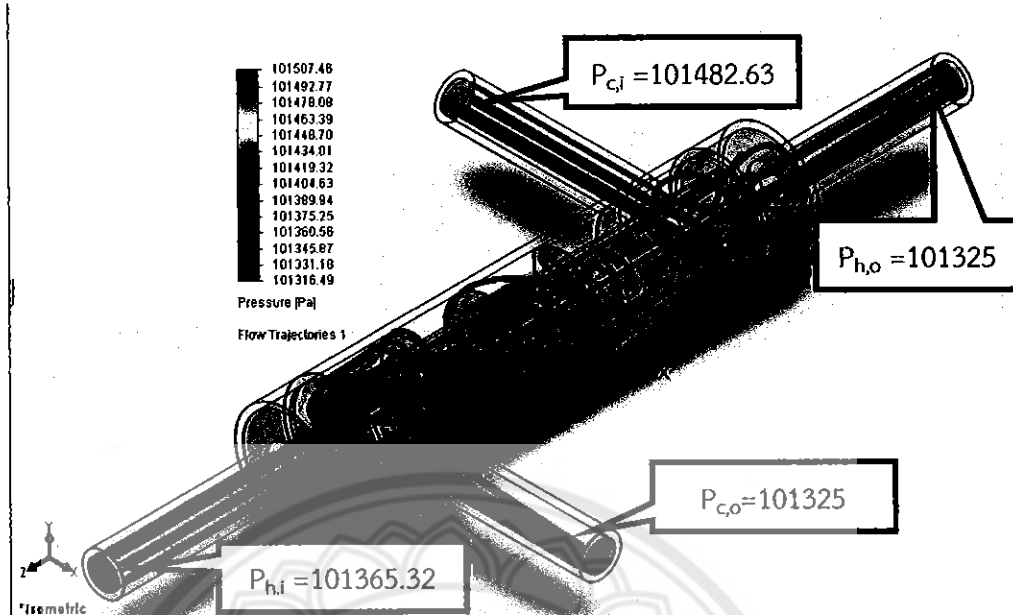


กราฟที่ 4.1 กราฟแสดงค่าสัมประสิทธิ์การถ่ายเทความร้อนรวม

จากการที่ได้จากการวิเคราะห์ด้วยระบบวิธีไฟโนต์เอลิเมนต์ของแบบจำลองที่ปรับเปลอร์เซ็นต์การตัดของแผ่นกัน จะพบว่ากราฟค่าสัมประสิทธิ์การถ่ายเทความร้อนรวมมีลักษณะเป็นพาราโบลาคว่า จะมีค่าสูงสุดเท่ากับ  $385.98 \text{ W/m}^2\cdot\text{K}$  ที่เปลอร์เซ็นต์การตัด 35% และมีค่าต่ำสุดเท่ากับ  $357.42 \text{ W/m}^2\cdot\text{K}$  ที่เปลอร์เซ็นต์การตัด 45 % แตกต่างกัน  $28.56 \text{ W/m}^2\cdot\text{K}$  คิดเป็นเปลอร์เซ็นต์ความแตกต่างกัน 7.4% จากลักษณะของกราฟที่ได้จะพบว่าแนวโน้มของกราฟในช่วงเปลอร์เซ็นต์การตัด 20% ถึง 35% การเปลี่ยนแปลงของค่าสัมประสิทธิ์การถ่ายเทความร้อนรวมจะเกิดขึ้นในช่วงแคบๆ ระหว่าง  $380$  ถึง  $385 \text{ W/m}^2\cdot\text{K}$  โดยประมาณ หลังจากนั้นค่าสัมประสิทธิ์การถ่ายเทความร้อนรวมจะมีลดลงอย่างชัดเจนเมื่อเปลอร์เซ็นต์การตัดของแผ่นกันเพิ่มมากขึ้น ดังนั้นมือพิจารณาในส่วนของค่าสัมประสิทธิ์การถ่ายเทความร้อนรวม จะเห็นได้ว่าเปลอร์เซ็นต์การตัดของแผ่นกันที่เหมาะสมอยู่ในช่วง 20% ถึง 35%

#### 4.5 ค่าความดันลด

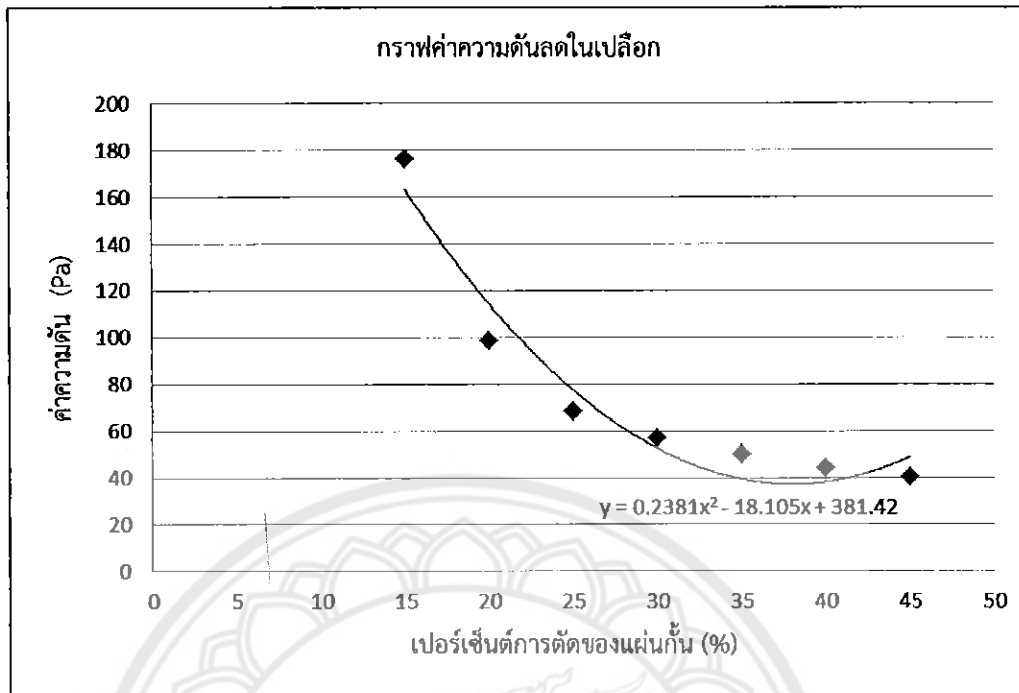
จากการวิเคราะห์ด้วยระบบวิธีไฟโนต์เอลิเมนต์ของแบบจำลองที่เปลี่ยนเปลอร์เซ็นต์การตัดของแผ่นกัน ที่มีการเปลี่ยนระยะเปลอร์เซ็นต์การตัดของแผ่นกันจะเห็นว่า มีการเปลี่ยนความดันดังแสดงในรูปที่ 4.15 ได้ผลการคำนวณค่าความดันลดในตารางที่ 4.19 และเขียนกราฟได้ดังกราฟที่ 4.2



รูปที่ 4.15 แสดงค่าความดันลดจากการเบี่ยบวีไฟน์ต์เอลิเมนต์ที่เปอร์เซ็นต์การตัด 15%

ตารางที่ 4.9 แสดงผลความดันลดจากการเบี่ยบวีไฟน์ต์เอลิเมนต์

เปอร์เซ็นต์การตัดของแผ่นกั้น (%)	ค่าความดันลด (Pa)
15	176.27
20	98.39
25	68.51
30	56.90
35	49.93
40	44.26
45	40.31



กราฟที่ 4.2 กราฟแสดงค่าความดันลด

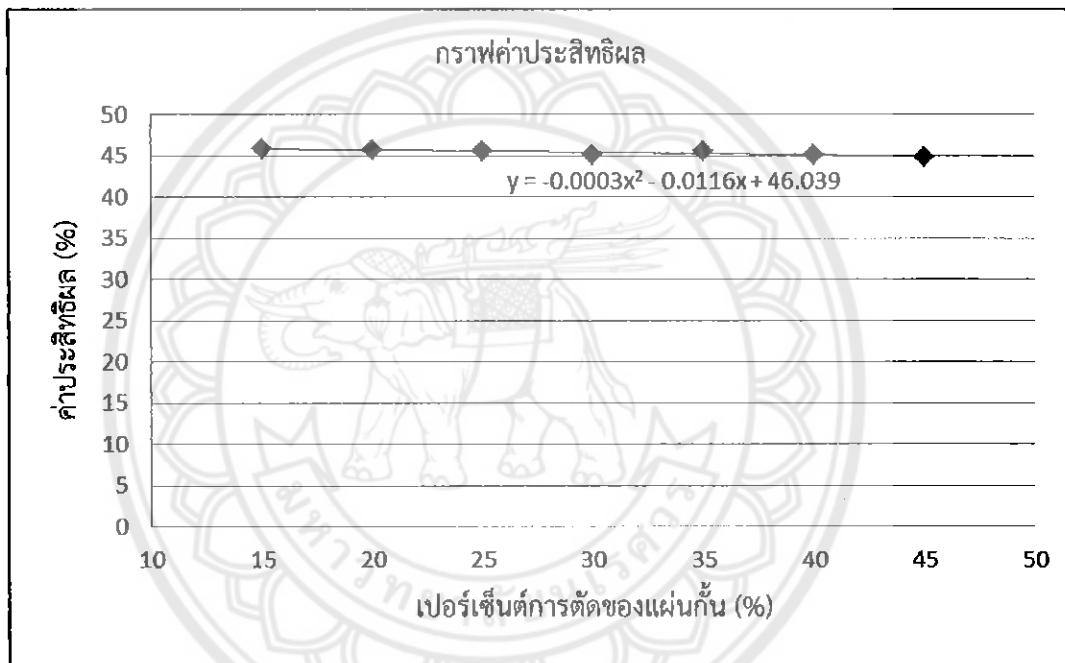
จากการที่ได้จากการวิเคราะห์ด้วยระบบเปียบวิธีไฟน์ต์อเลิเมนต์ของแบบจำลองที่เปลี่ยนเปอร์เซ็นต์การตัดของแผ่นกั้น พบร่วมกับที่เปอร์เซ็นต์การตัดของแผ่นกั้นเพิ่มขึ้นจะทำให้เกิดค่าความดันลดน้อยลง โดยที่ค่าความดันลดสูงสุดเท่ากับ 176.27 Pa ที่เปอร์เซ็นต์การตัดของแผ่นกั้น 15% และค่าความดันลดต่ำสุดเท่ากับ 40.31 Pa ที่เปอร์เซ็นต์การตัดของแผ่นกั้น 45% ค่าความดันลดแตกต่างกัน 135.96 Pa คิดเป็นเปอร์เซ็นต์ความแตกต่าง 77.13% จากลักษณะของกราฟสามารถแบ่งกราฟออกเป็น 2 ช่วง คือ ช่วงเปอร์เซ็นต์การตัดที่ 15% ถึง 25% พบร่วมกราฟมีความชันมาก ค่าความดันลดจะเพิ่มสูงขึ้นอย่างรวดเร็วเมื่อเปอร์เซ็นต์การตัดของแผ่นกั้นมีขนาดลดลง จาก 68.51 Pa ที่เปอร์เซ็นต์การตัด 25% เป็น 176.27 Pa ที่เปอร์เซ็นต์การตัด 25% และช่วงเปอร์เซ็นต์การตัดที่ 25% ถึง 45% พบร่วมกราฟมีความชันน้อย การเพิ่มขึ้นของค่าความดันลดจะเพิ่มขึ้นในอัตราส่วนที่น้อยกว่ากราฟช่วงแรกอย่างชัดเจน ดังนั้นเมื่อพิจารณาในส่วนของค่าความดันลดจะเห็นได้ว่า เปอร์เซ็นต์การตัดของแผ่นกั้นที่เหมาะสมอยู่ในช่วง 25% ถึง 45%

#### 4.6 ค่าประสิทธิผล

จากการวิเคราะห์ด้วยระบบเปียบวิธีไฟน์ต์อเลิเมนต์ของแบบจำลองที่เปลี่ยนเปอร์เซ็นต์การตัดของแผ่นกั้น สามารถคำนวณค่าประสิทธิผลได้ค่าดังตารางที่ 4.10 และเขียนกราฟได้ดังกราฟที่ 4.3 ตารางที่ 4.10 แสดงผลของประสิทธิผลจากระบบเปียบวิธีไฟน์ต์อเลิเมนต์

16008331  
ผร.  
๑๘๖๒๙  
๒๕๕๔

เปอร์เซ็นต์การตัดของแผ่นกัน (%)	ค่าประสิทธิภาพ (ε)
15	45.80
20	45.72
25	45.54
30	45.12
35	45.48
40	45.10
45	44.77



กราฟที่ 4.3 กราฟแสดงค่าประสิทธิผล

จากการที่ได้จากการวิเคราะห์ด้วยระบบวิธีไฟไนต์เอลิเมนต์ของแบบจำลองที่เปลี่ยนเปอร์เซ็นต์การตัดของแผ่นกัน จะพบค่าประสิทธิผลเกิดการเปลี่ยนแปลงน้อยมากโดยมีแนวโน้มลดลง เมื่อเปอร์เซ็นต์การตัดของแผ่นกันเพิ่มขึ้น มีค่าประสิทธิผลสูงสุดเท่ากับ 45.80% ที่เปอร์เซ็นต์การตัดของแผ่นกัน 15% และมีค่าต่ำสุดเท่ากับ 44.77% ที่เปอร์เซ็นต์การตัดของแผ่นกัน 45% แตกต่างกันเพียง 1.03%

## บทที่ 5

### สรุปผลและข้อเสนอแนะ

#### 5.1 สรุปผล

การวิเคราะห์แบบจำลองเครื่องแยกเปลี่ยนความร้อนชนิดเปลือกและท่อโดยใช้ระบบวิธีไฟน์เติลิเมนต์มีขั้นตอนการดำเนินงานที่ประกอบด้วย 2 ขั้นตอน ขั้นตอนแรกคือ ขั้นตอนการยืนยันความถูกต้องของแบบจำลองไฟน์เติลิเมนต์กับการทดลอง ขั้นตอนที่สองคือ การปรับปรุงเชิงตัวแปรเพื่อศึกษาความแตกต่างของค่าประสิทธิผล ค่าสัมประสิทธิ์การถ่ายเทความร้อนรวม และค่าความดันลด ซึ่งสามารถสรุปผลการวิเคราะห์ได้ดังนี้

##### 5.1.1 การยืนยันความถูกต้องของแบบจำลองไฟน์เติลิเมนต์กับการทดลอง

จากการทดลองและการวิเคราะห์แบบจำลองไฟน์เติลิเมนต์ ค่าเฉลี่ยความคลาดเคลื่อนระหว่างผลการทดลองและแบบจำลองไฟน์เติลิเมนต์ RMSE มีค่าเท่ากับ 0.677% และ MBD มีค่าเท่ากับ 0.657% เมื่อนำไปเปรียบเทียบกับค่าความคลาดเคลื่อนสะสมของค่าประสิทธิผลจากการทดลองซึ่งมีค่าเท่ากับ 2.39% พนท.ค่า RMSE และ MBD มีค่าน้อยกว่า ดังนั้นแบบจำลองจึงมีความถูกต้อง มีค่าความคลาดเคลื่อนอยู่ในเกณฑ์ที่ยอมรับได้

##### 5.1.2 การปรับปรุงเชิงตัวแปรเพื่อวิเคราะห์ค่าสัมประสิทธิ์การถ่ายเทความร้อนรวม ค่าความดันลด และค่าประสิทธิผล

###### 5.1.2.1 ผลกระทบของปรับปรุงเชิงตัวแปรเพื่อค่าสัมประสิทธิ์การถ่ายเทความร้อนรวม

จากการวิเคราะห์ เมื่อพิจารณาในส่วนของค่าสัมประสิทธิ์การถ่ายเทความร้อนรวม จะเห็นได้ว่าปรับปรุงเชิงตัวแปรเพื่อกันที่เหมาะสมสมอยู่ในช่วง 20% ถึง 35% เมื่อจากแนวโน้มของกราฟในช่วงปรับปรุงเชิงตัวแปรตัด 20% ถึง 35% ค่าความชันของกราฟมีค่าน้อย ค่าสัมประสิทธิ์การถ่ายเทความร้อนรวมจะเกิดการเปลี่ยนแปลงในช่วงแคบๆ และเป็นช่วงที่ให้ค่าสัมประสิทธิ์การถ่ายเทความร้อนรวมสูง

### 5.1.2.2 ผลกระทบของเปอร์เซ็นต์การตัดของแผ่นกันต่อค่าความดันลด

จากผลการวิเคราะห์ พบร่วมกับค่าความดันลดมีค่าลดลงเมื่อเปอร์เซ็นต์การตัดของแผ่นกันเพิ่มขึ้น เมื่อพิจารณาในส่วนของค่าความดันลด จากลักษณะของกราฟที่ได้ จะเห็นได้ว่าเปอร์เซ็นต์การตัดของแผ่นกันที่เหมาะสมอยู่ในช่วง 25% ถึง 45% เนื่องจากในช่วงเปอร์เซ็นต์การตัดดังกล่าวการลดลงของค่าความดันลดเมื่อเปอร์เซ็นต์การตัดของแผ่นกันเพิ่มขึ้น จะเกิดขึ้นในสัดส่วนที่น้อยกว่าเมื่อเปรียบเทียบกับช่วงเปอร์เซ็นต์การตัดของแผ่นกันที่ 15% ถึง 25%

### 5.1.2.3 ผลกระทบของเปอร์เซ็นต์การตัดของแผ่นกันต่อค่าประสิทธิผลการแลกเปลี่ยนความร้อนรวม

จากผลการวิเคราะห์ พบร่วมกับเปอร์เซ็นต์การตัดของแผ่นกันจะส่งผลต่อค่าประสิทธิผลน้อยมาก โดยจะมีแนวโน้มลดลงเมื่อเปอร์เซ็นต์การตัดของแผ่นกันมีขนาดเพิ่มขึ้น ค่าประสิทธิผลสูงสุดเท่ากับ 45.80% ที่เปอร์เซ็นต์การตัดของแผ่นกัน 15% และมีค่าต่ำสุดเท่ากับ 44.77% ที่เปอร์เซ็นต์การตัดของแผ่นกัน 45% แตกต่างกันเพียง 1.03%

## 5.2 ข้อเสนอแนะ

### 5.2.1 คอมพิวเตอร์ควรมีสมรรถนะสูงสำหรับวิเคราะห์แบบจำลอง เพื่อความถูกต้องของคำตอบ

### 5.2.2 ควรมีการเปลี่ยนของไฟล์ในการแลกเปลี่ยนความร้อนให้อยู่ในสถานะอื่นๆ เช่น ก้าช กับของเหลว ก้าชกับก้าช เพื่อศึกษาความสามารถของการแลกเปลี่ยนความร้อน

## รายการอ้างอิง

บัณฑิตวิทยาลัย จุฬาลงกรณ์มหาวิทยาลัย. คู่มือการเสนอวิทยานิพนธ์. กรุงเทพมหานคร :  
จุฬาลงกรณ์มหาวิทยาลัย, 2539  
ภาควิชาศึกกรรมเครื่องกล คณะศึกกรรมศาสตร์. มหาวิทยาลัยนเรศวร. คู่มือการเขียนรายงานวิชา  
302499 โครงการนิพนธ์เครื่องกล. พิษณุโลก : คณะศึกกรรมศาสตร์ มหาวิทยาลัย  
นเรศวร, 2542. (อัดสำเนา)



## บรรณานุกรม

- [1] อนุชา พรมวังขาว. เอกสารประกอบการสอนวิชาไฟฟ้าในต่อโลจิเม้นต์, ภาควิชาวิศวกรรมเครื่องกล  
คณะวิศวกรรมศาสตร์ มหาวิทยาลัยเชียงใหม่. 2544
- [2] Frank P. Incropera, David P. DeWitt and Adrienne S. Lavine. Fundamentals of Heat and Mass Transfer. (6nd ed.). Hoboken : John Wiley & sons (asia) Plte ltd, 2007
- [3] John R. Taylor. An Introduction to Error Analysis, Second Edition, University Science Book, California, USA
- [4] Ender Ozden and Ilker Tari (2010). Shell side CFD analysis of a small shell-and-tube heat exchanger. *The Journal of Energy Conversion and Management*. 51, 1004-1014
- [5] Huadong Li and Volker Kottke (1997). Effect of baffle spacing on pressure drop and local heat transfer in shell-and-tube heat exchangers for staggered tube arrangement. *International Journal of Heat and Mass Transfer*. 41, 1303-1311
- [6] Thermocouple Specification Criteria วิธีสืบค้นวัสดุสารสนเทศ. [ออนไลน์]. เข้าถึงได้จาก : <http://www.smartsensors.com/spectherm.pdf> วันที่ค้นข้อมูล : 12 กุมภาพันธ์ (2546)
- [7] Yunus A. Cengel and Afshin J. Ghajar. Heat and mass transfer Fundamentals and Application, (Fourth Edition). New York : Mc Graw-Hill companies, (2011)

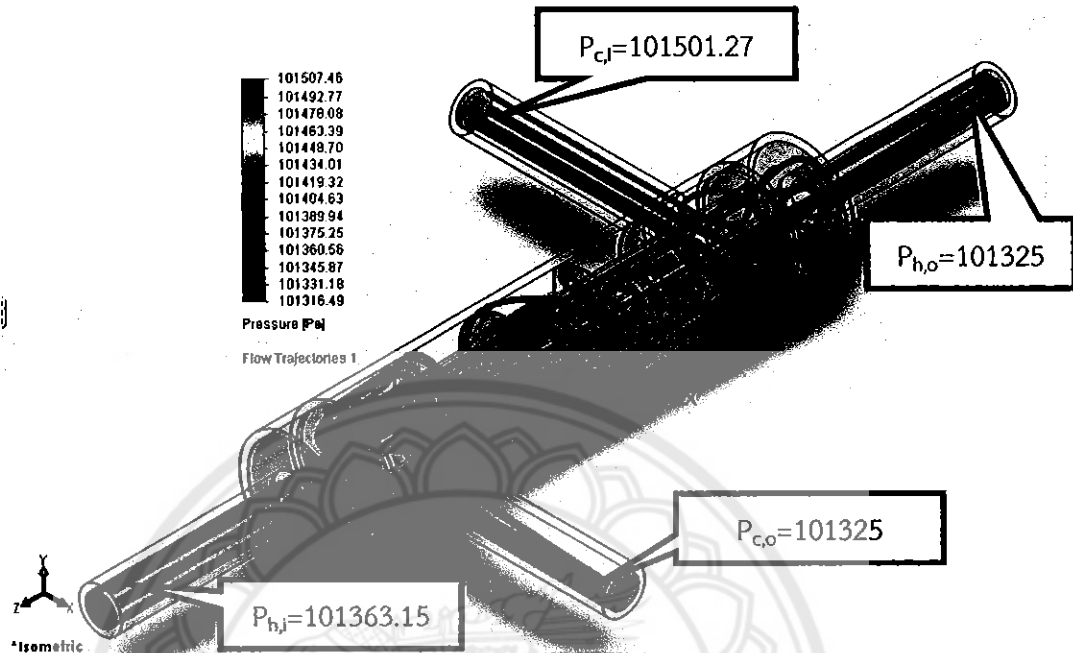


ภาคผนวก ก

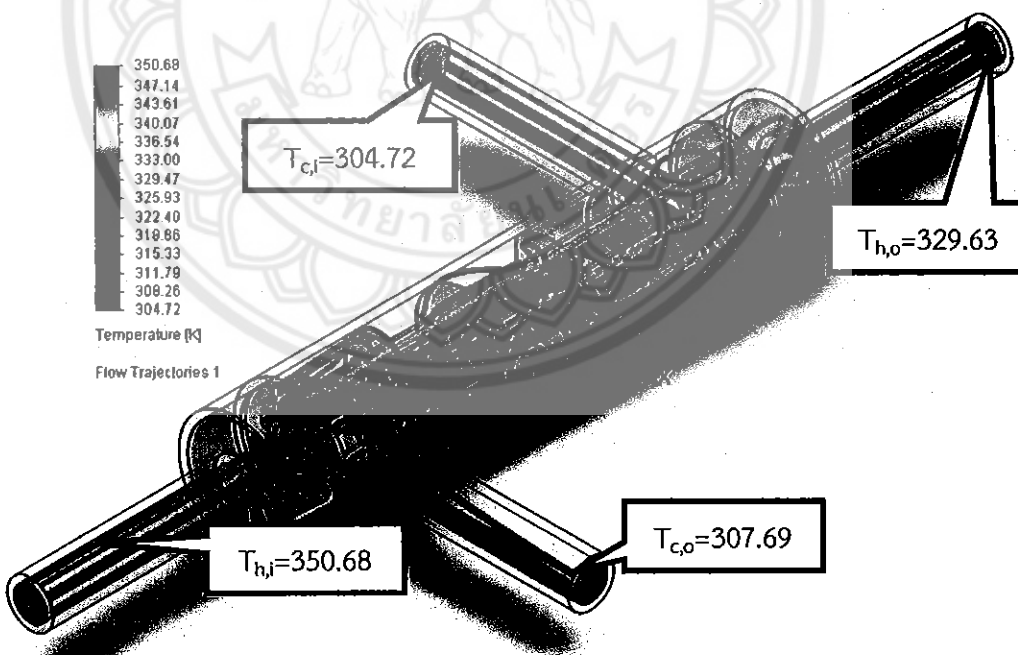
ผลการคำนวณด้วยระบบวิธีไฟเมต์เวลิเมนต์



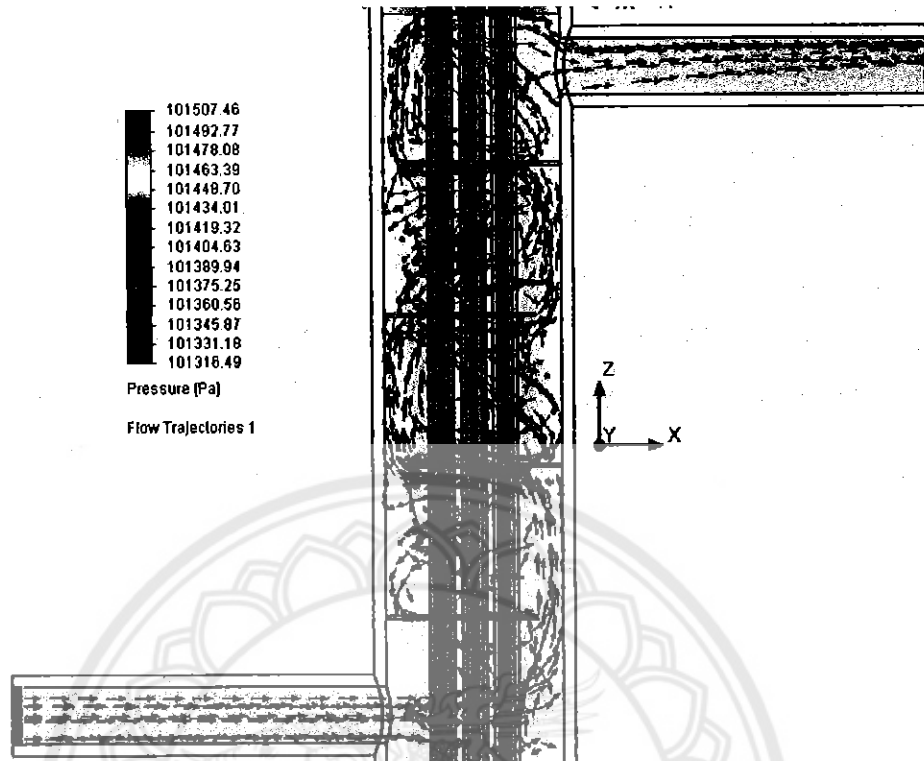
ค่าอุณหภูมิ, ค่าความดันและทิศทางการไหลที่เปอร์เซ็นต์การตัดของแผ่นกั้น 15%



รูปที่ ก.16 แสดงค่าความดันที่เปอร์เซ็นต์การตัดของแผ่นกั้น 15%

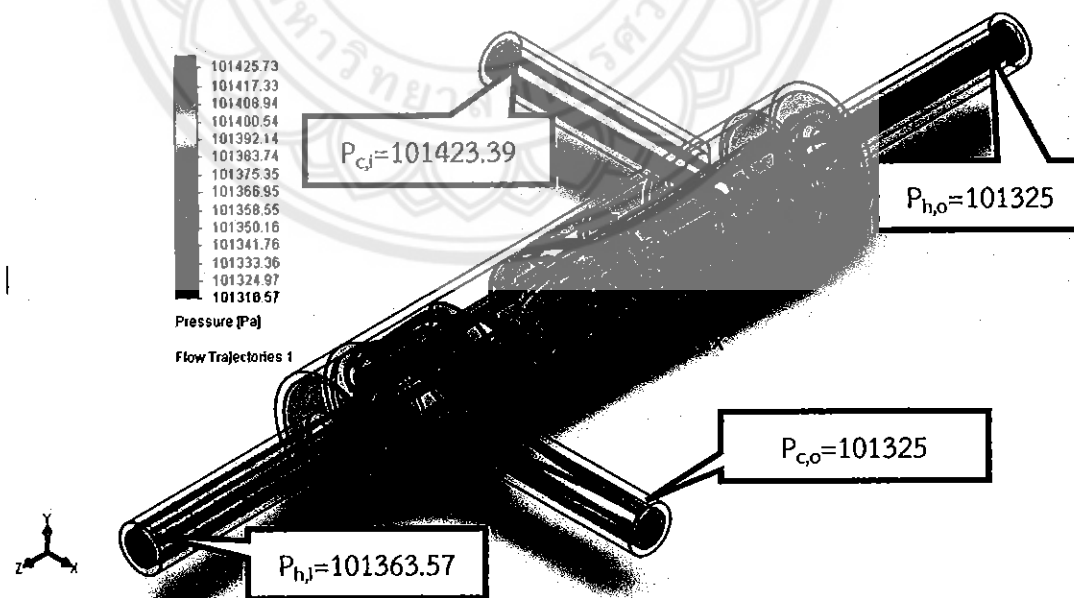


รูปที่ ก.17 แสดงค่าอุณหภูมิที่เปอร์เซ็นต์การตัดของแผ่นกั้น 15%

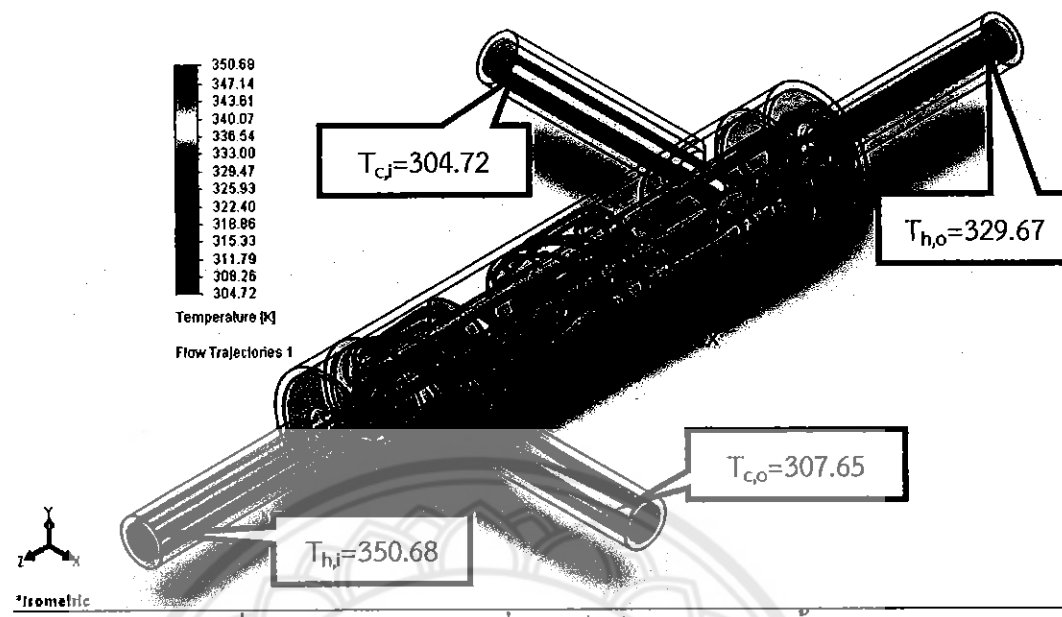


รูปที่ ก.18 แสดงทิศทางการไหลที่เปอร์เซ็นต์การตัดของแผ่นกัน 15%

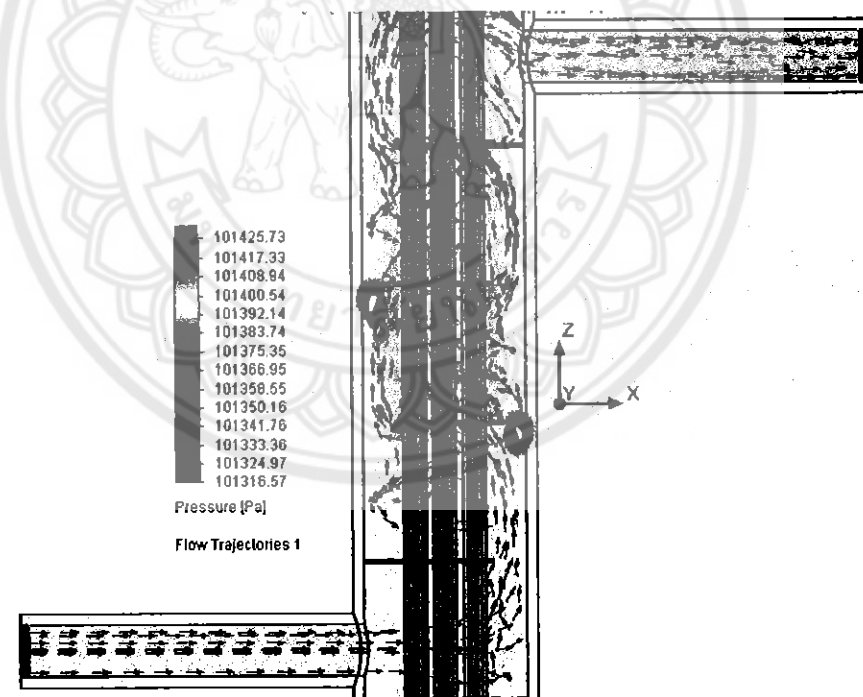
ค่าอุณหภูมิ, ค่าความดันและทิศทางการไหลที่เปอร์เซ็นต์การตัดของแผ่นกัน 20%



รูปที่ ก.19 แสดงค่าความดันที่เปอร์เซ็นต์การตัดของแผ่นกัน 20%

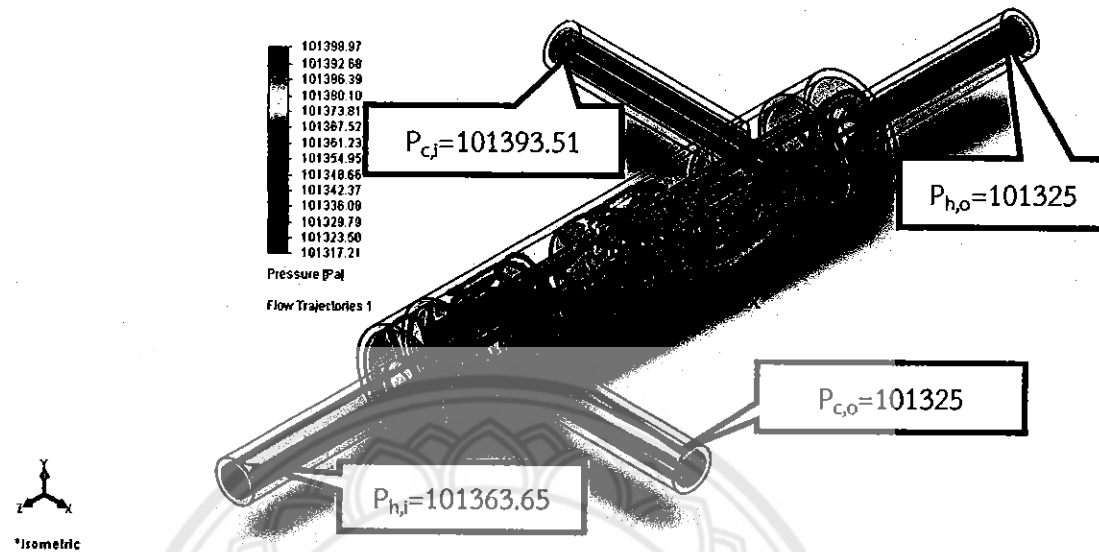


รูปที่ ก.20 แสดงค่าอุณหภูมิที่เปลอร์เซ็นต์การตัดของแผ่นกัน 20%

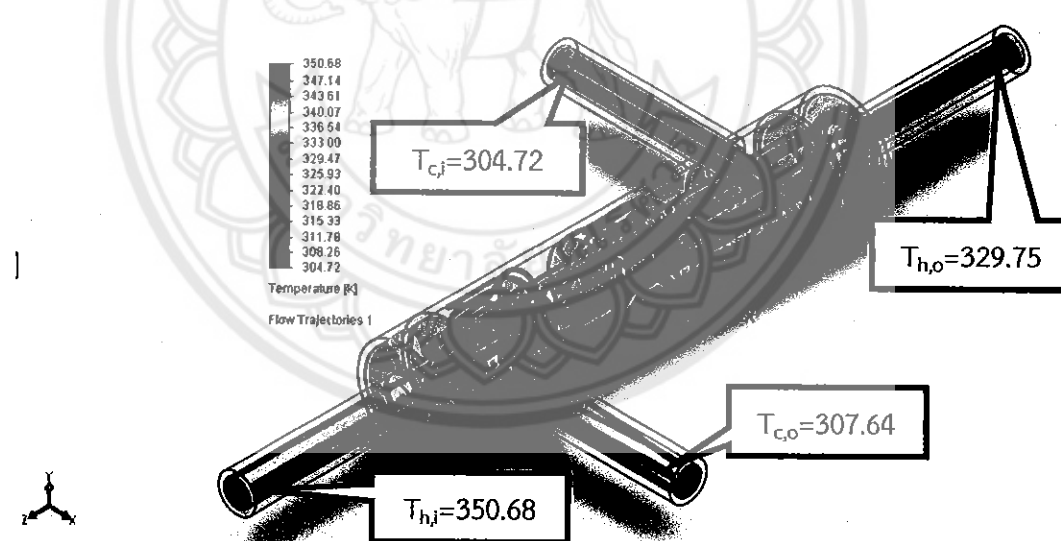


รูปที่ ก.21 แสดงทิศทางการไหลที่เปลอร์เซ็นต์การตัดของแผ่นกัน 20%

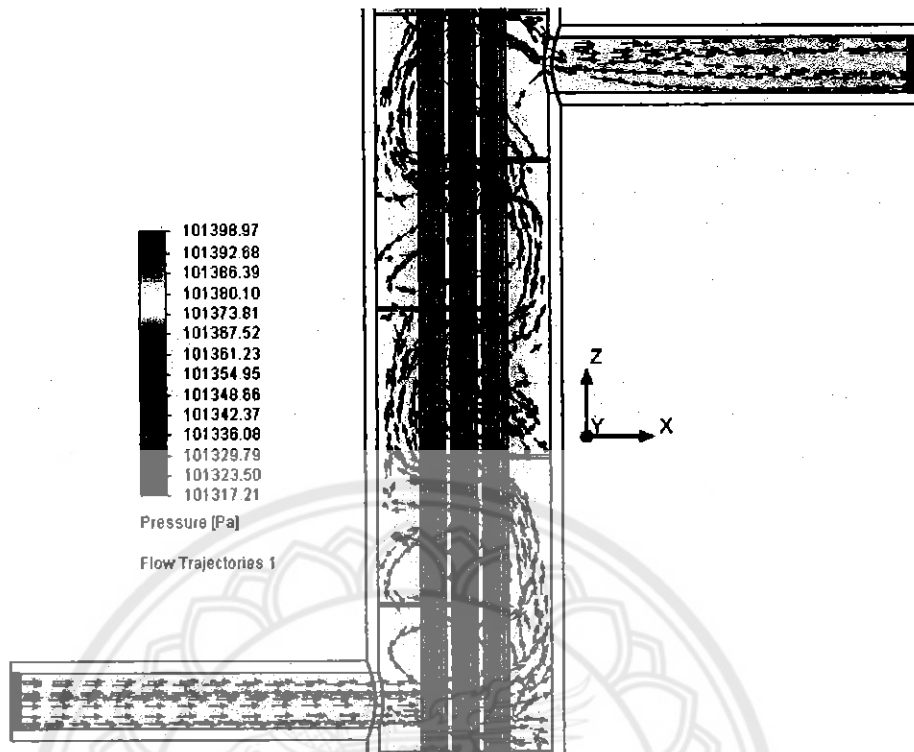
ค่าอุณหภูมิ, ค่าความดันและทิศทางการไหลที่เปอร์เซ็นต์การตัดของแผ่นกั้น 25%



รูปที่ ก.22 แสดงค่าความดันที่เปอร์เซ็นต์การตัดของแผ่นกั้น 25%

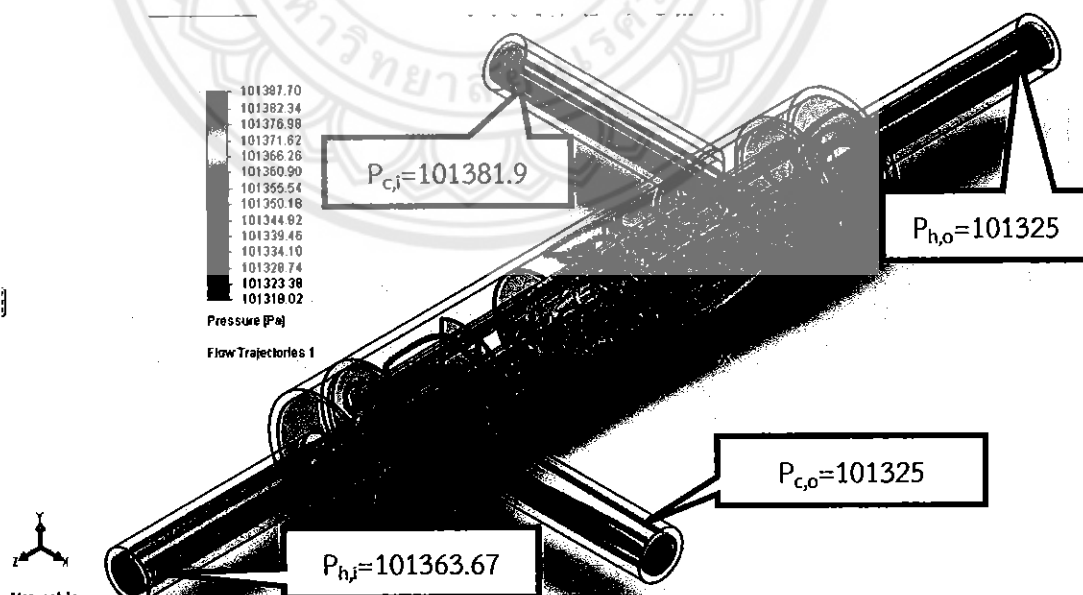


รูปที่ ก.23 แสดงค่าอุณหภูมิที่เปอร์เซ็นต์การตัดของแผ่นกั้น 25%

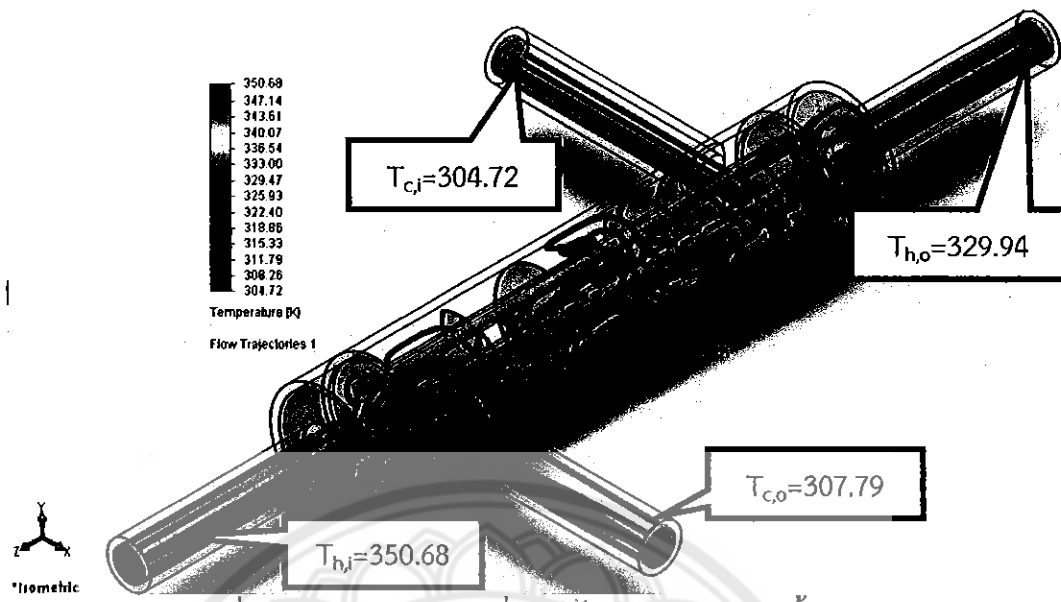


รูปที่ ก.24 แสดงทิศทางการไหลที่เปอร์เซ็นต์การตัดของแผ่นกั้น 25%

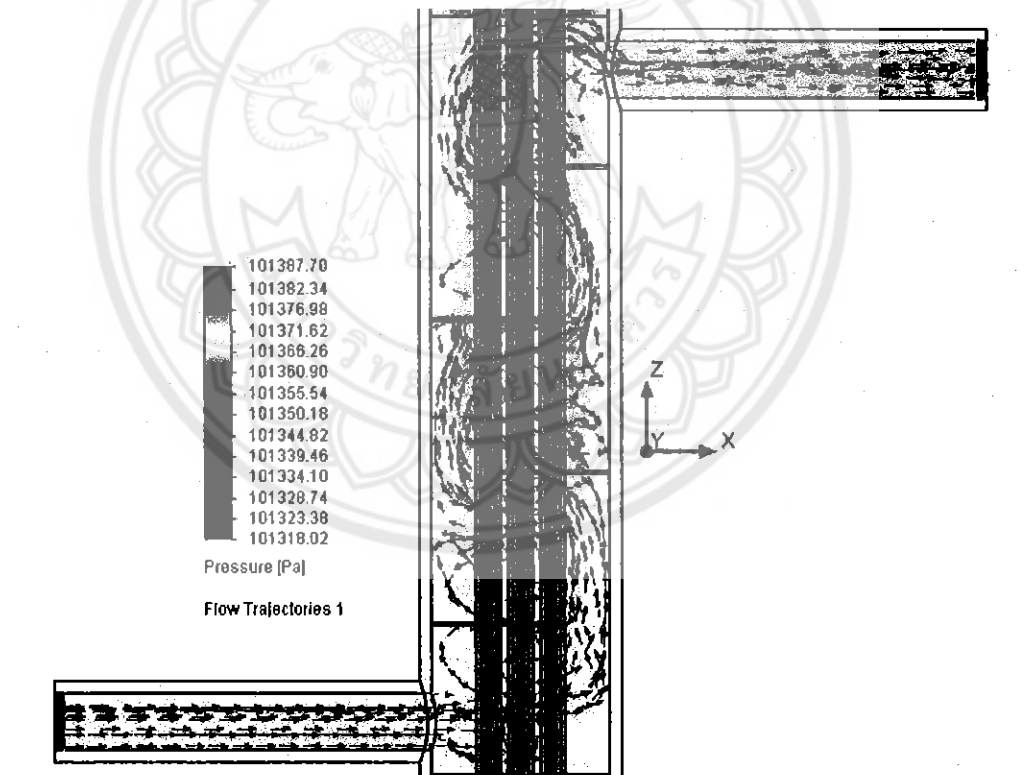
ค่าอุณหภูมิ, ค่าความดันและทิศทางการไหลที่เปอร์เซ็นต์การตัดของแผ่นกั้น 30%



รูปที่ ก.25 แสดงค่าความดันที่เปอร์เซ็นต์การตัดของแผ่นกั้น 30%

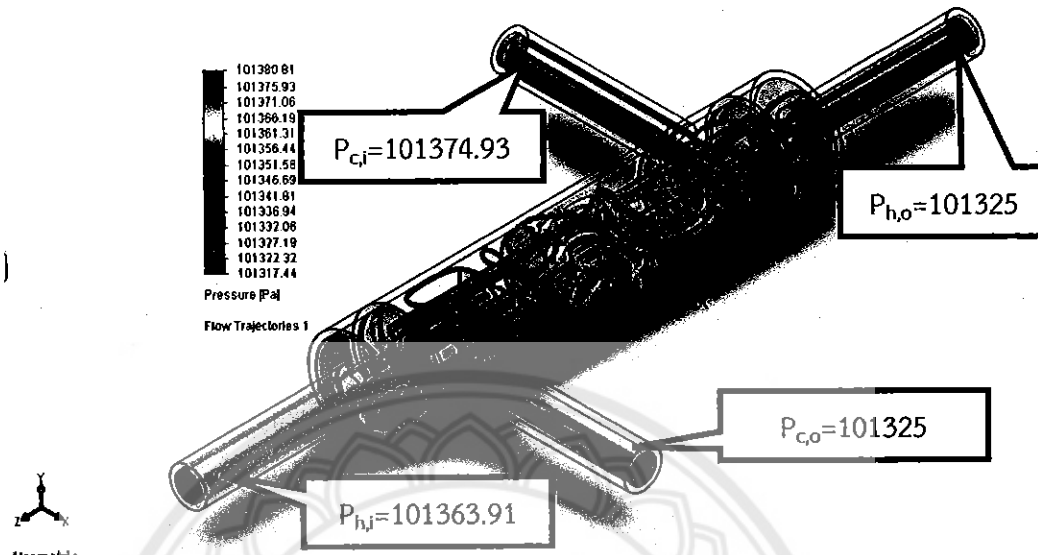


รูปที่ ก.26 แสดงค่าอุณหภูมิที่เปลอร์เซ็นต์การตัดของแผ่นกัน 30%

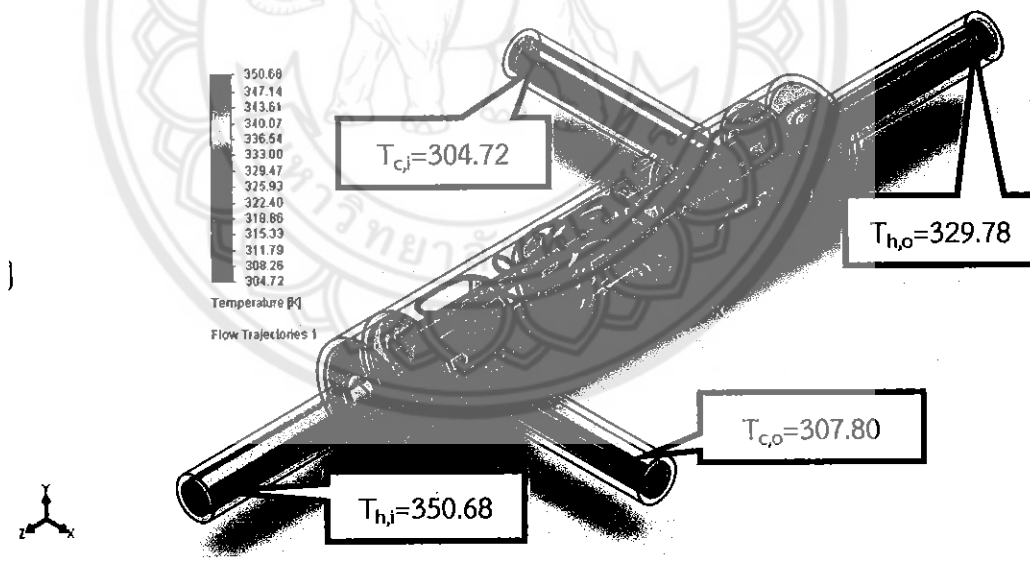


รูปที่ ก.27 แสดงทิศทางการไหลที่เปลอร์เซ็นต์การตัดของแผ่นกัน 30%

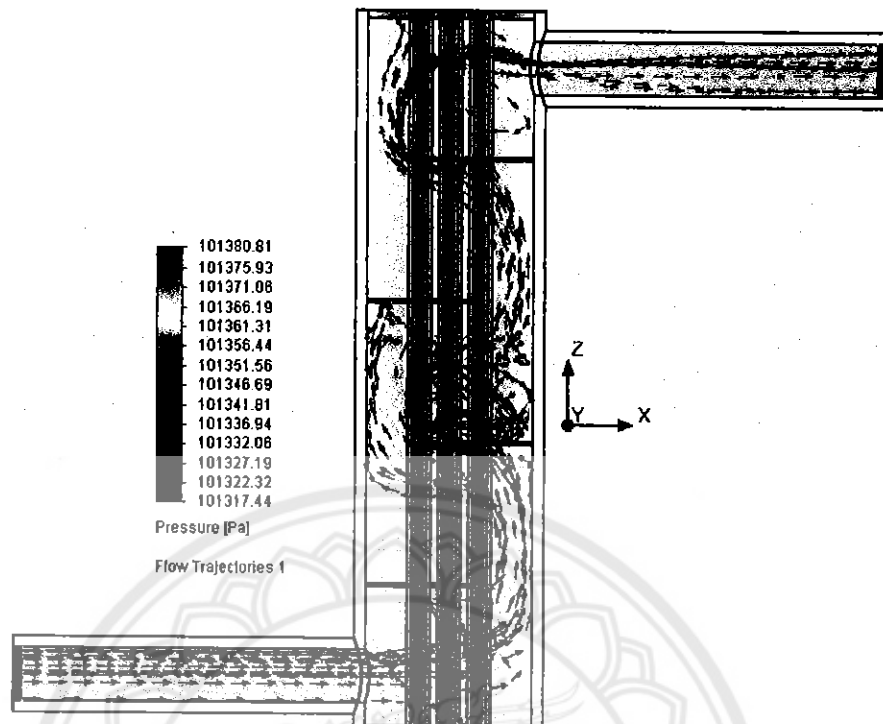
ค่าอุณหภูมิ, ค่าความดันและทิศทางการไหลที่เปอร์เซ็นต์การตัดของแผ่นกั้น 35%



รูปที่ ก.28 แสดงค่าความดันที่เปลอร์เซ็นต์การตัดของแผ่นกั้น 35%

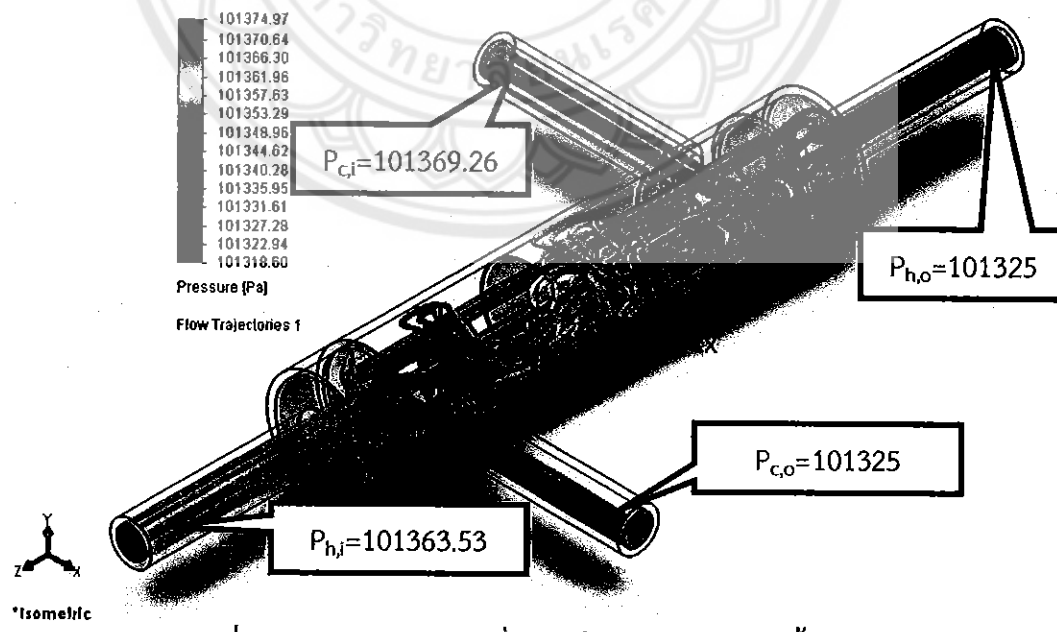


รูปที่ ก.29 แสดงค่าอุณหภูมิที่เปลอร์เซ็นต์การตัดของแผ่นกั้น 35%

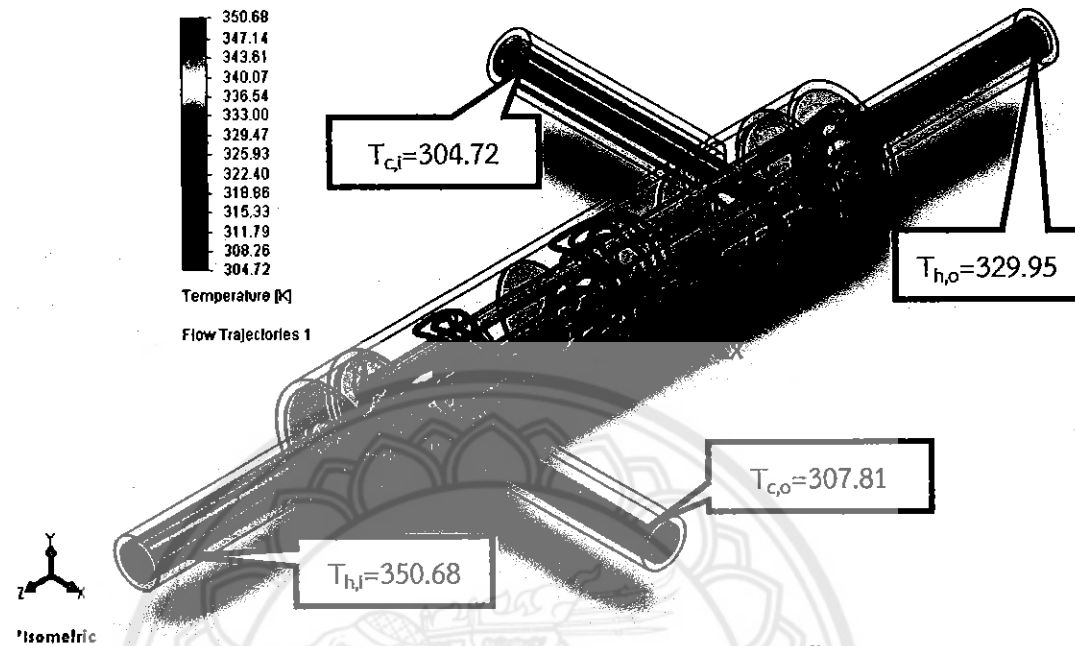


รูปที่ ก.30 แสดงทิศทางการไหลที่เปลี่ยนต่อการตัดของแผ่นกั้น 35%

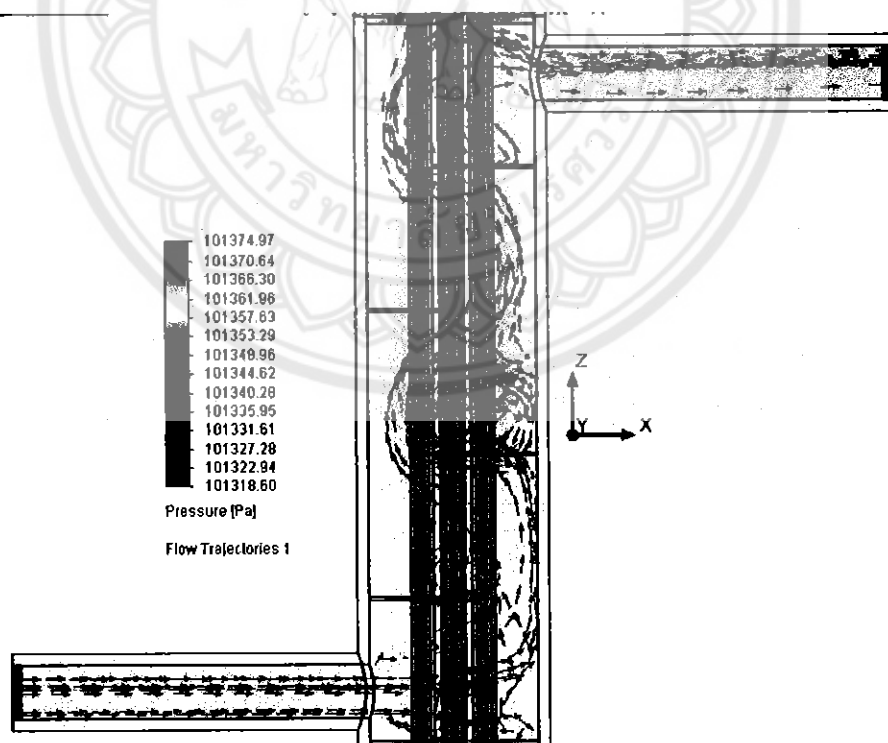
ค่าอุณหภูมิ, ค่าความดันและทิศทางการไหลที่เปลี่ยนต่อการตัดของแผ่นกั้น 40%



รูปที่ ก.31 แสดงค่าความดันที่เปลี่ยนต่อการตัดของแผ่นกั้น 40%

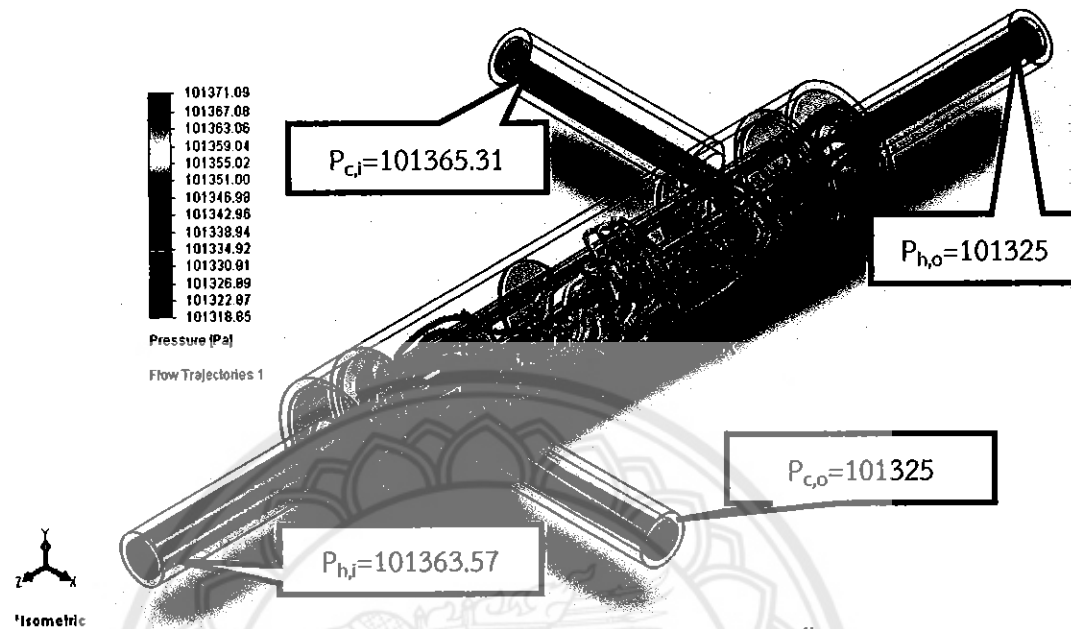


รูปที่ ก.32 แสดงค่าอุณหภูมิที่เปอร์เซ็นต์การตัดของแผ่นกัน 40%

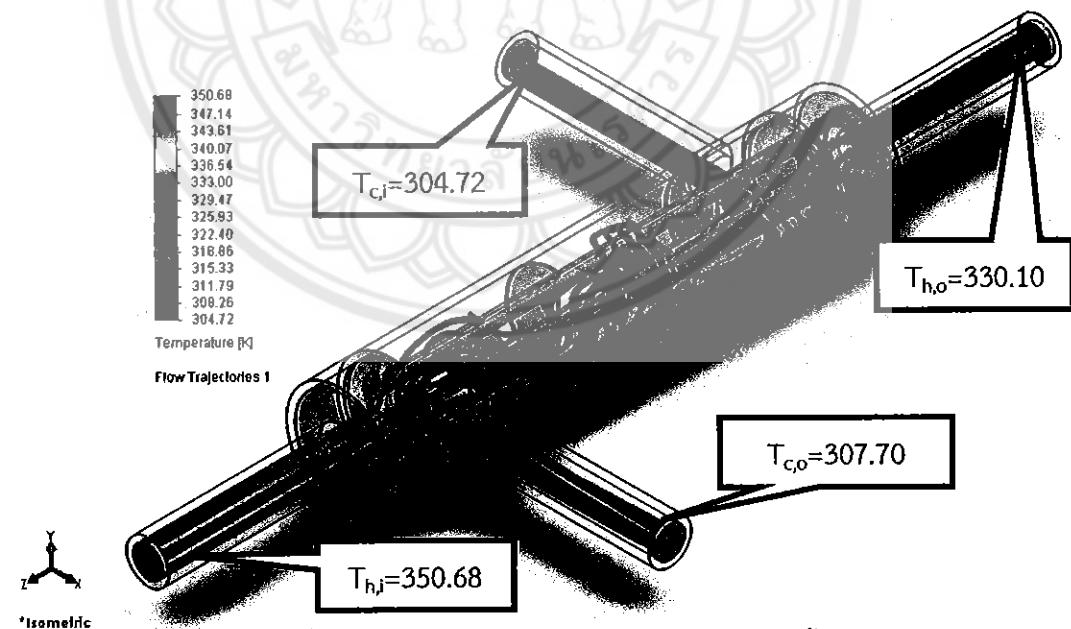


รูปที่ ก.33 แสดงทิศทางการไหลที่เปอร์เซ็นต์การตัดของแผ่นกัน 40%

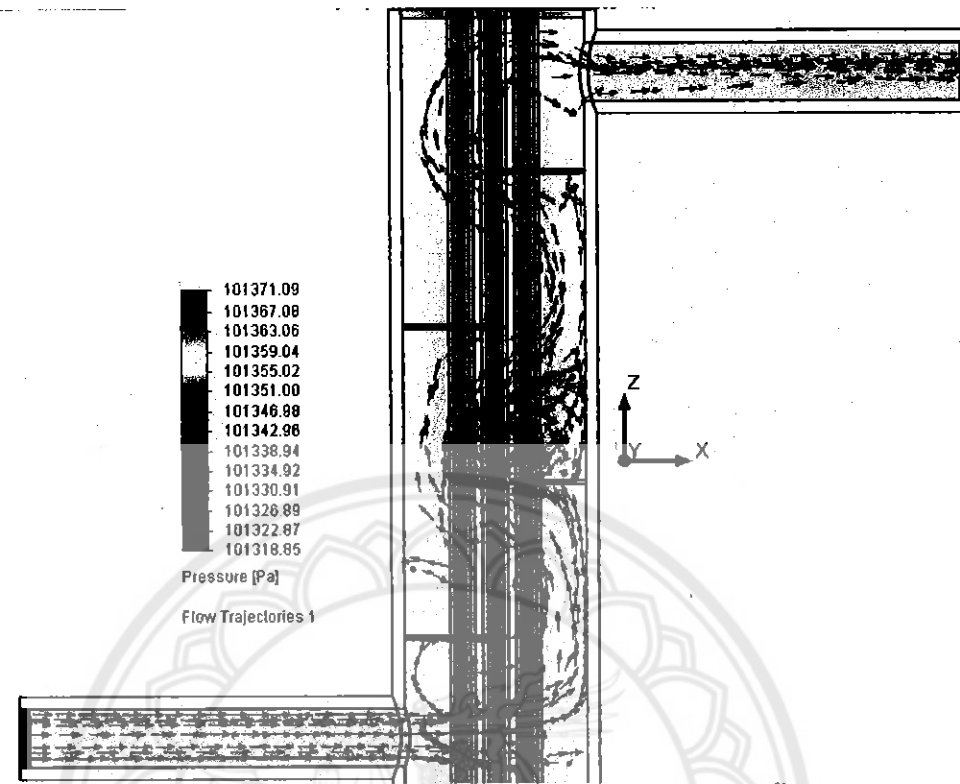
ค่าอุณหภูมิ, ค่าความดันและทิศทางการไหลที่เปอร์เซ็นต์การตัดของแผ่นกั้น 45%



รูปที่ ก.34 แสดงค่าความดันที่เปอร์เซ็นต์การตัดของแผ่นกั้น 45%



รูปที่ ก.35 แสดงค่าอุณหภูมิที่เปอร์เซ็นต์การตัดของแผ่นกั้น 45%



รูปที่ ก.36 แสดงพิศทางการไหลที่เปอร์เซ็นต์การตัดของแผ่นกัน 45%

ภาคผนวก ข

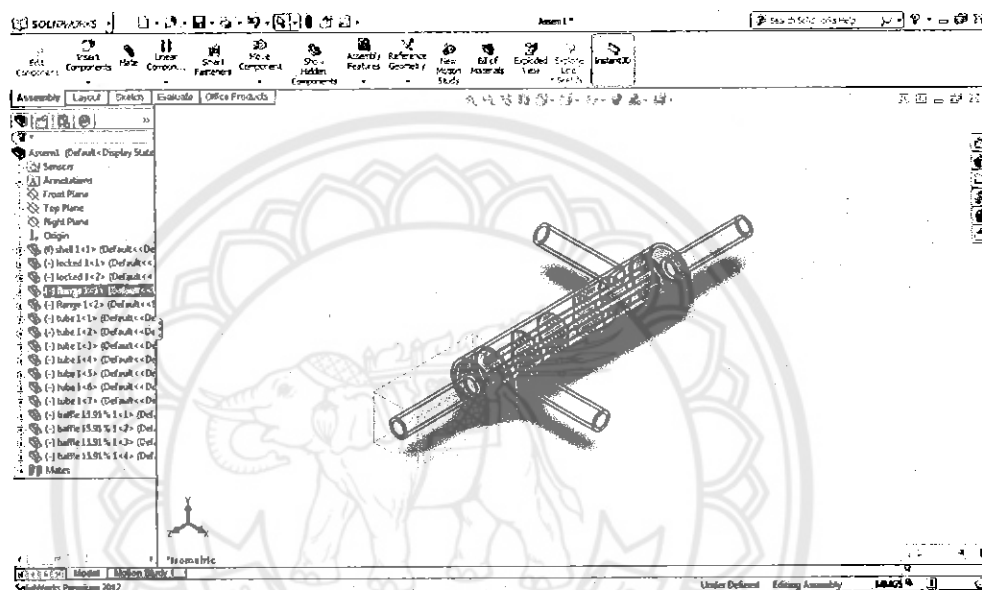
วิธีการวินิเคราะห์ด้วยระบบเปียบวิธีไฟน์ต์โซลิเม้นต์



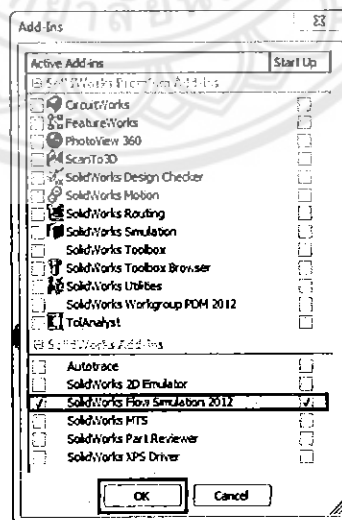
## วิธีการวิเคราะห์ด้วยระบบเปลี่ยบวิธีไฟน์เตลิเม้นต์

### 1. การ Add Solid works flow simulation

#### 1.1 เปิดแบบจำลองขึ้นมา

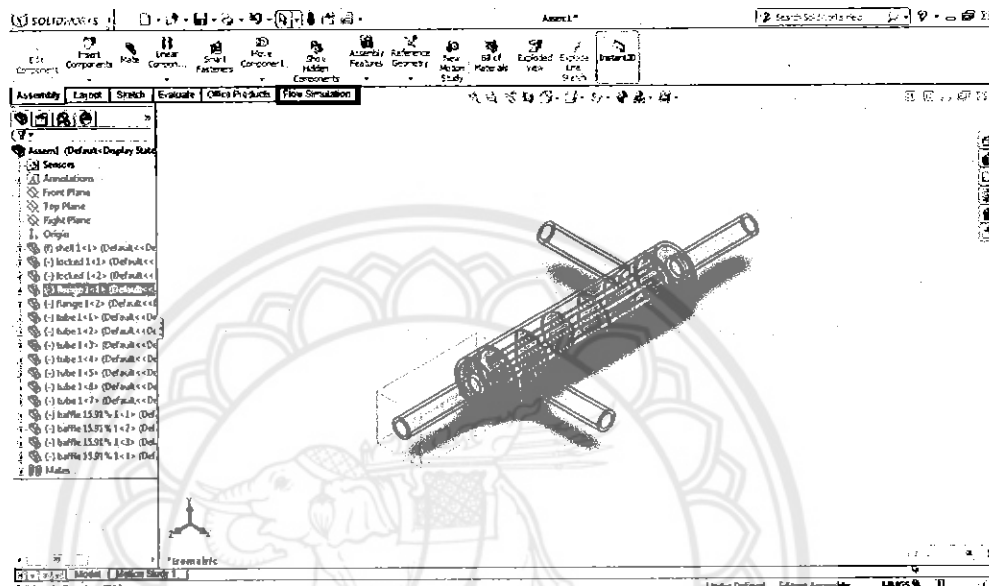


#### 1.2 คลิกที่เมนูบาร์ลูกศรทางด้านขวา หลังจากนั้นคลิก



1.3 หลังนั้นจะมีเมนู Add-Ins ขึ้นแล้วให้คlikกูกที่ Solidworks Flow Simulation 2012 ดังรูปด้านล่าง หลังจากนั้นก็คlik OK

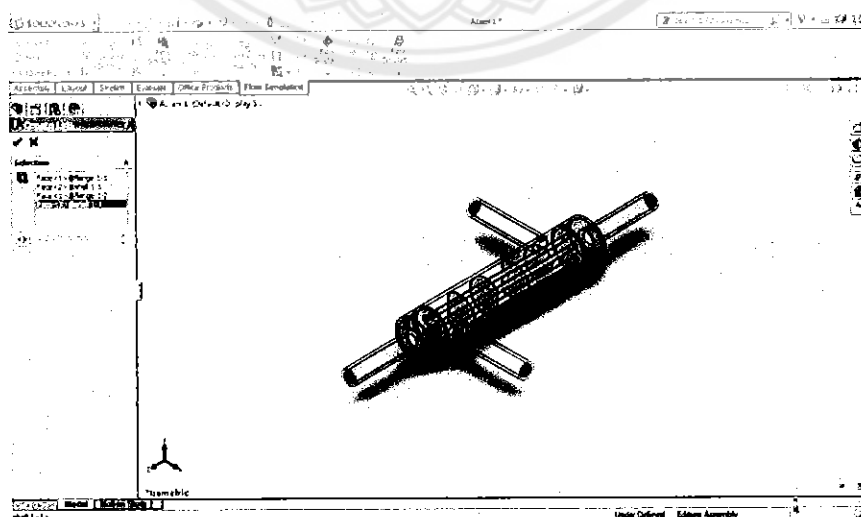
#### 1.4 หลังจากนั้นจะมีแถบเครื่องมือ Flow Simulation ปรากฏขึ้นดังรูปด้านล่าง



#### 2. การสร้าง Lids ที่ทางเข้าและทางออกของของไหล

2.1 คลิก create lids เพื่อสร้าง lids เพื่อใช้ปิดทางเข้าและออกของของไหล

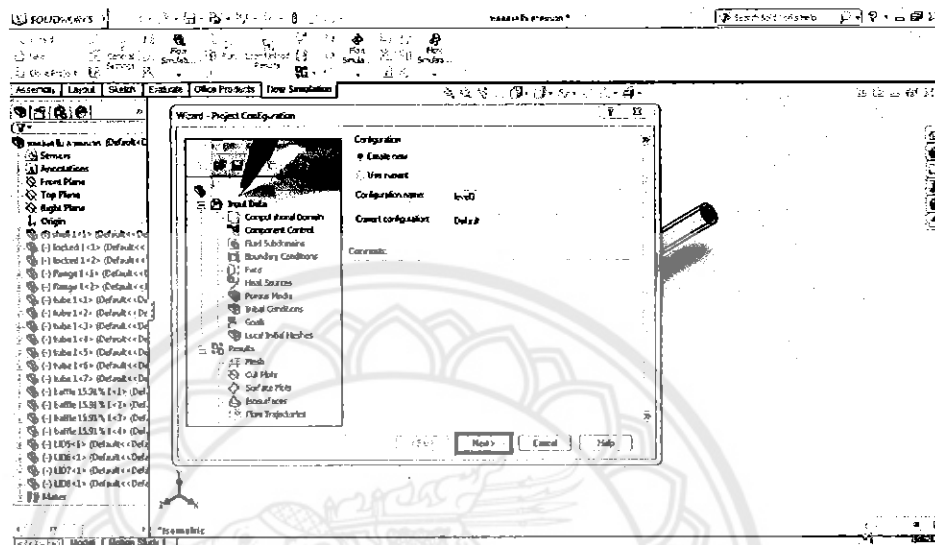
2.2 คลิกที่หน้าตัดของทางเข้าและทางออกทั้งหมดหลังจากนั้นให้คlik ✓



### 3. การใส่คุณสมบัติต่างๆในแบบจำลอง

3.1 คลิก [ Wizard ] ช่องอยู่ในแท็บเครื่องมือ Flow Simulation

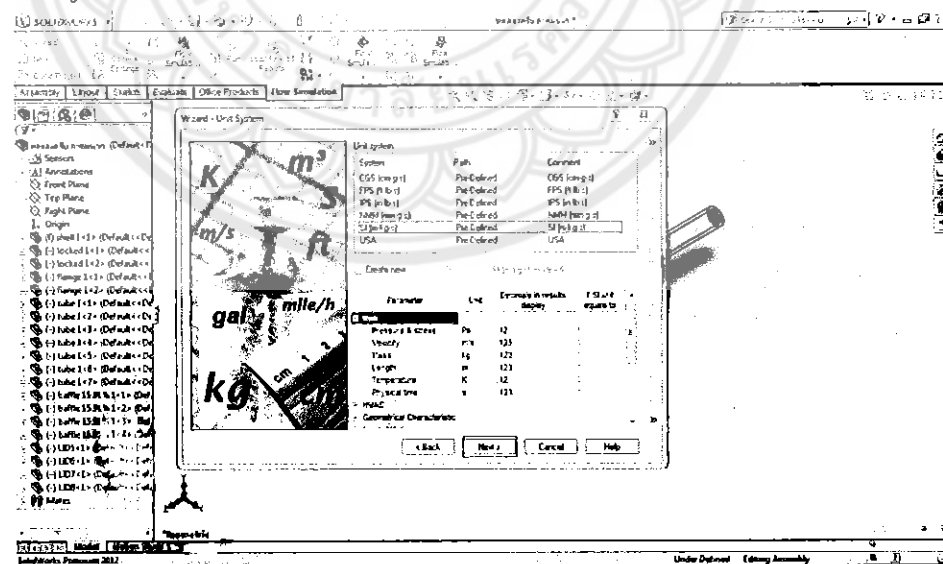
3.2 จะมีหน้าต่างให้ใส่คุณสมบัติต่างๆของแบบจำลองขึ้นมา



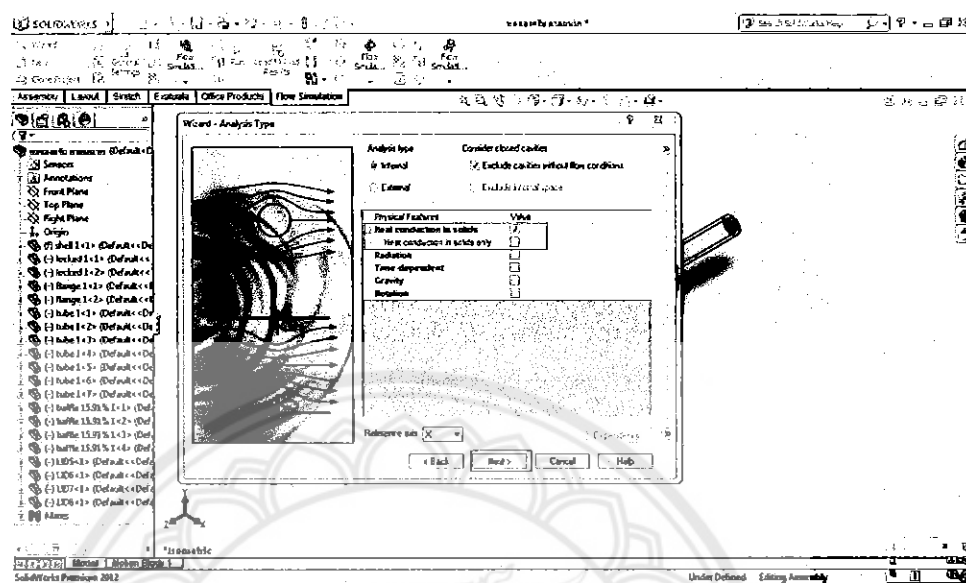
3.3 คลิกที่ Next

3.4 ขั้นตอนต่อไปเป็นการกำหนดหน่วยที่ใช้ ในที่นี้เลือกใช้หน่วย SI คลิก SI หลังจากนั้นก็

คลิก Next ดังรูป



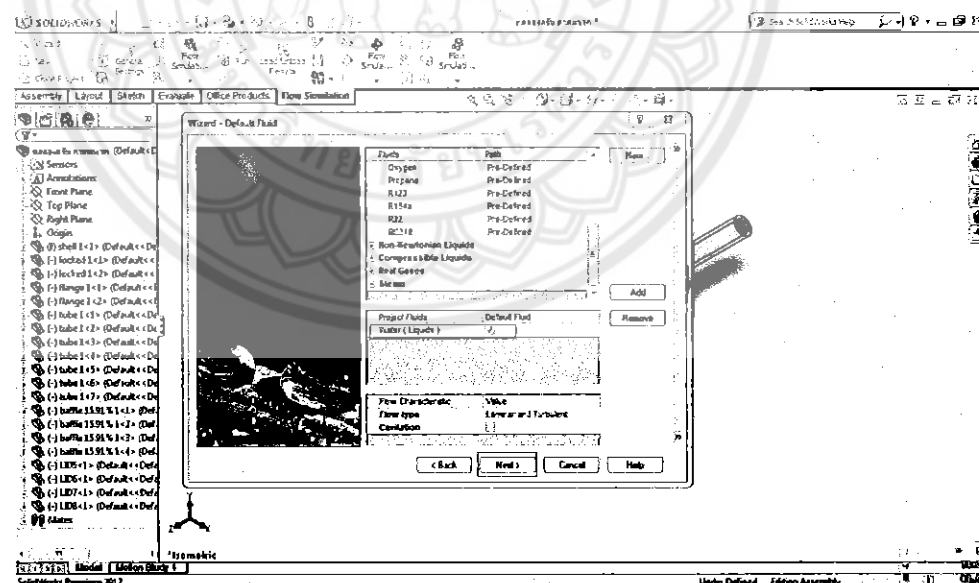
### 3.5 คลิกเครื่องหมายถูกที่ด้านขวาของ Heat conduction in solids หลังจากนั้นก็คลิก Next



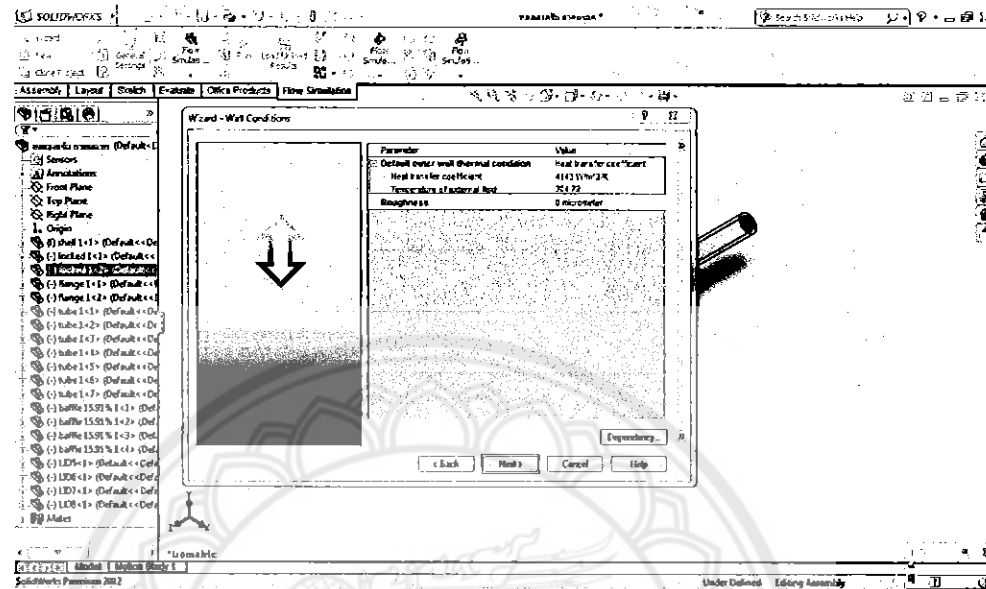
### 3.6 กำหนดวัสดุที่เป็นตัวกลางในการแลกเปลี่ยนความร้อนซึ่งในการศึกษานี้จะเป็นน้ำ

#### 3.6.1 คลิกเครื่องหมาย + ด้านหน้า Liquid และ คลิก Water หลังจากนั้นคลิก Add

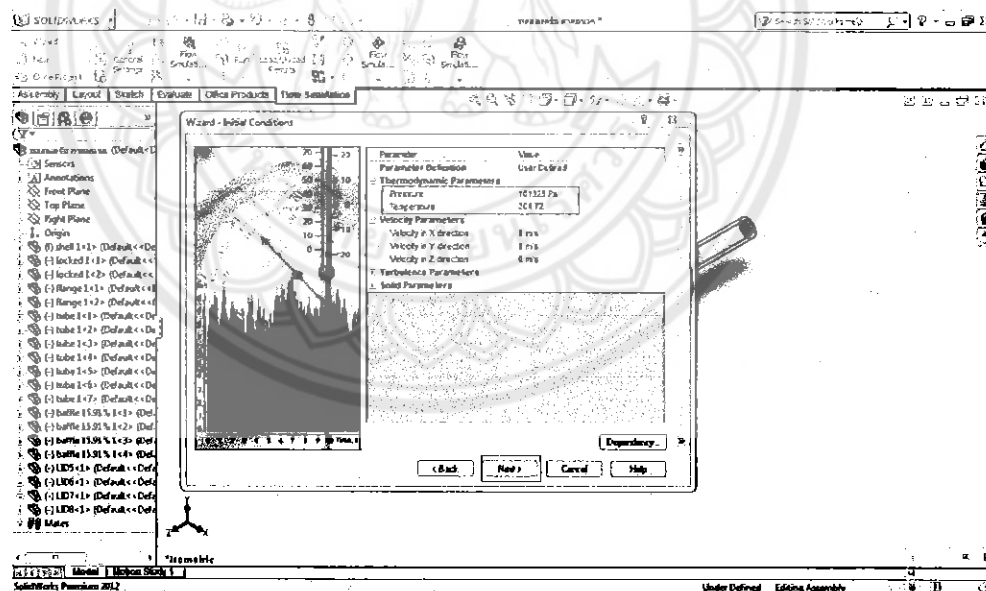
และคลิก Next



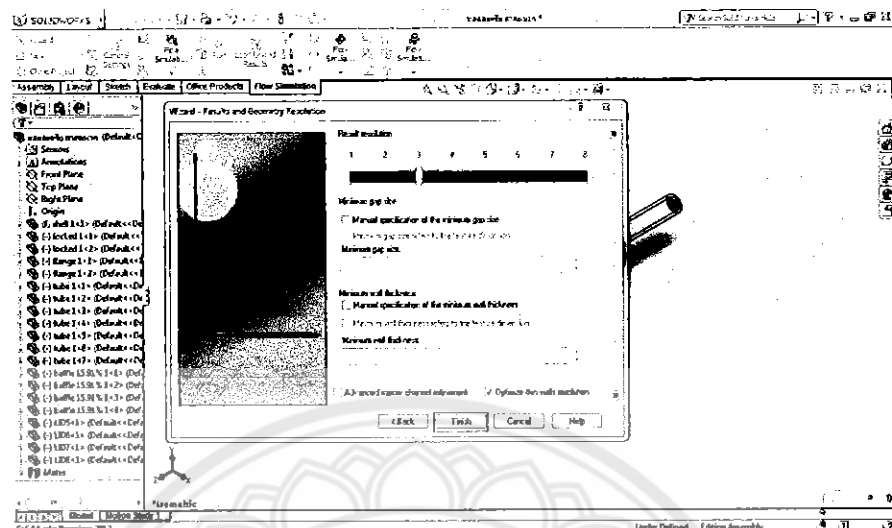
3.7 กำหนดค่า heat transfer coefficient เท่ากับ  $4143 \text{ W/m}^2\cdot\text{K}$  และ temperature of external fluid  $304.72 \text{ K}$  แล้วหลังจากนั้นก็คลิก Next ดังรูปด้านล่าง



3.8 กำหนดค่าความดันลดที่ทางออกของน้ำทั้งสองกระแสเท่ากับ  $1 \text{ atm}$



### 3.9 คลิก **Finish** ตั้งรูปด้านล่าง



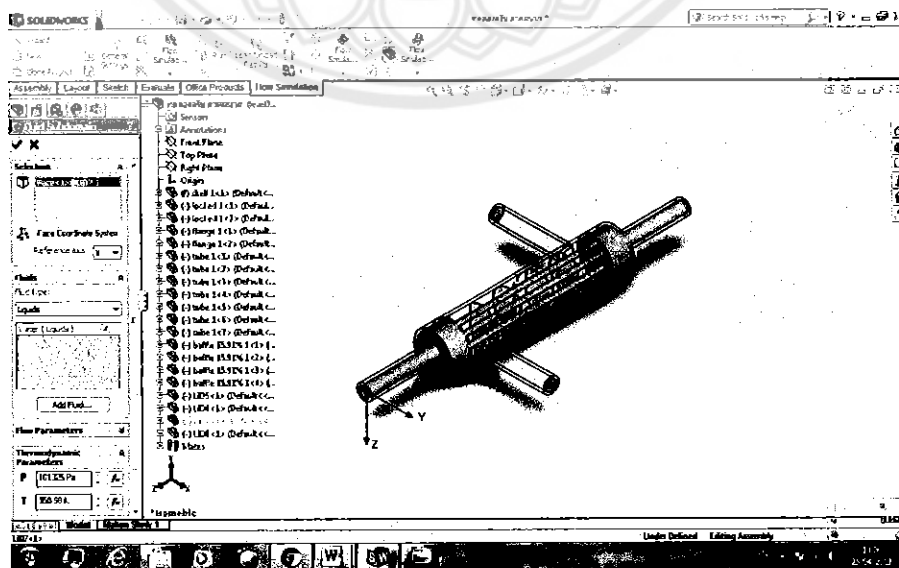
## 4. การใส่ค่าอัตราการไหลและอุณหภูมิของแบบจำลอง

4.1 คลิกขวาที่  Computational Domain หลังจากนั้นคลิกซ้ายที่ Hide ดังรูป

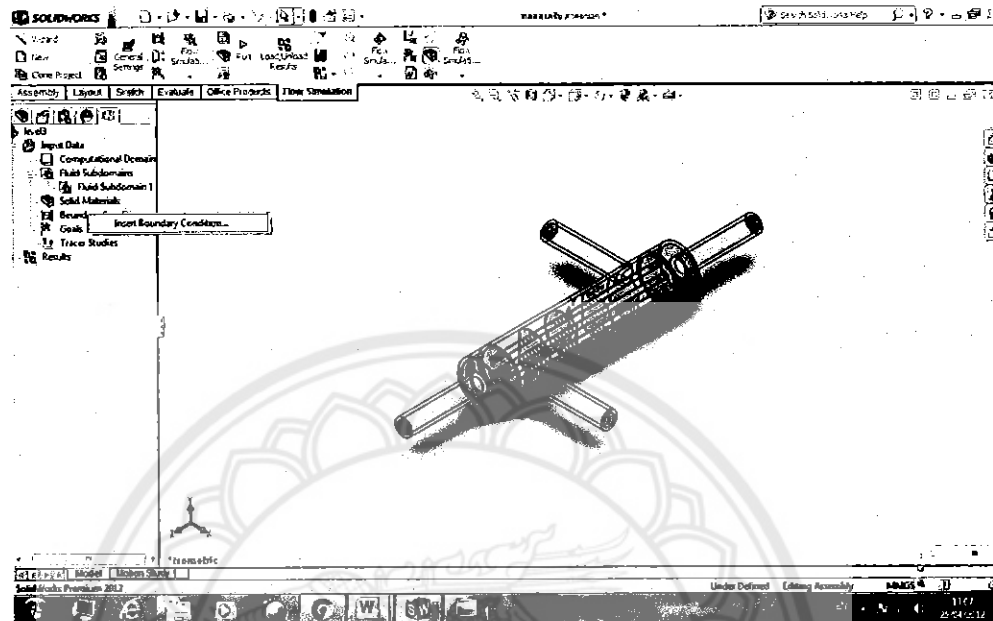
4.2 คลิกขวาที่  Fluid Subdomains หลังจากนั้นคลิกซ้ายที่ Insert Fluid Subdomain

ดังรูป

4.3 คลิกด้านในของ Lids ที่น้ำกระแทกต้องเข้าดังรูป และกำหนดอุณหภูมิของทางเข้ากระแทกต้อง 350.68 K ดังรูป แล้วหลังจากนั้นคลิก



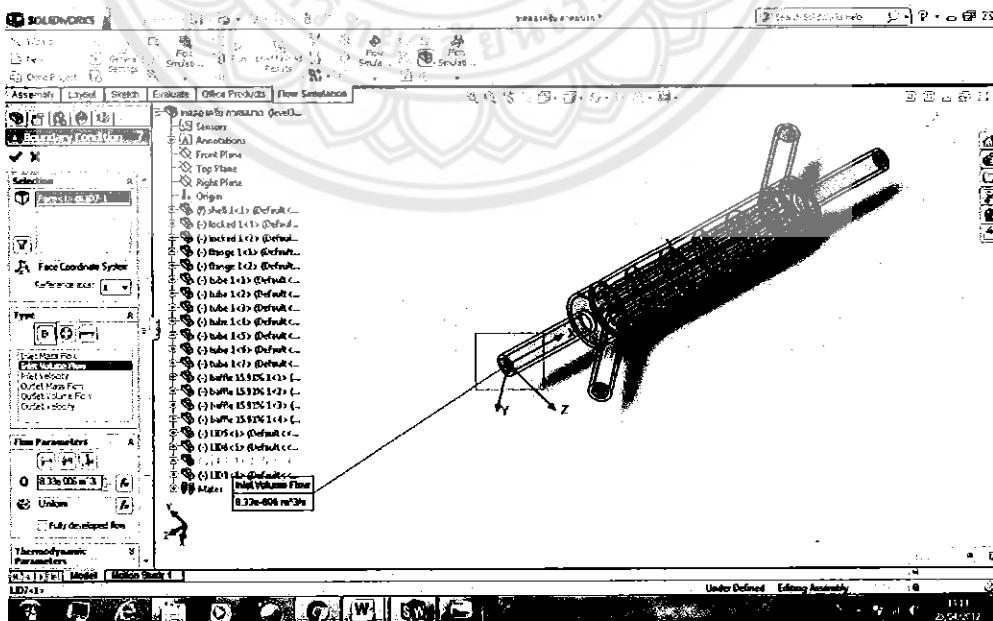
4.4 คลิกขวาที่ Boundary Conditions หลังจากนั้นก็คลิกซ้ายที่ Insert Boundary Conditions ดังรูป



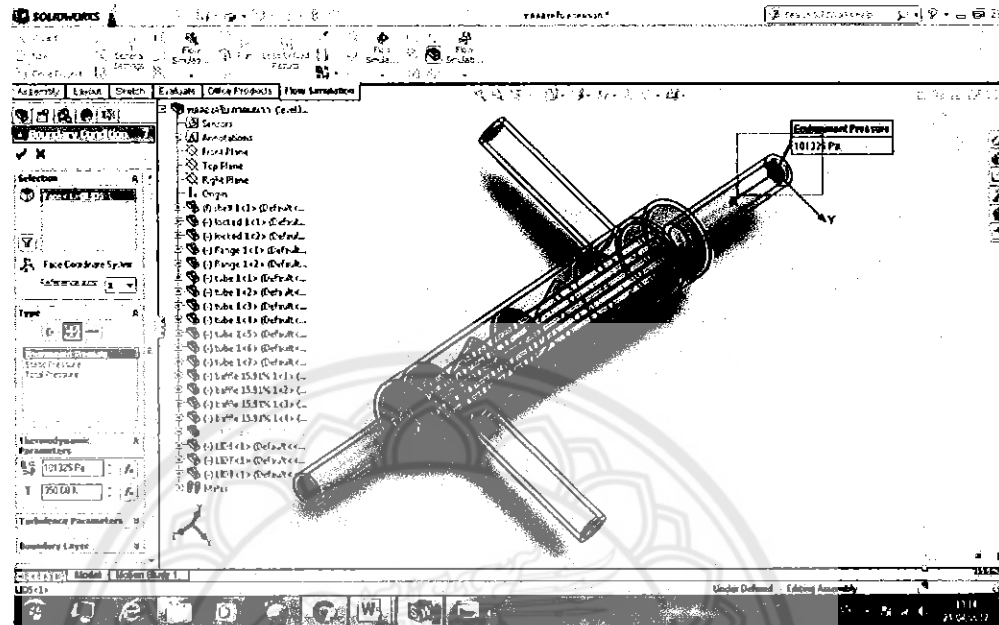
4.5 คลิกที่ หลังจากนั้นคลิก Inlet Volume Flow

4.5.1 ใส่อัตราการไหลของน้ำร้อนทางเข้าเท่ากับ  $8.33 \times 10^{-6} \text{ m}^3/\text{s}$

4.5.2 ใส่อุณหภูมิของน้ำร้อนทางเข้าเท่ากับ 350.68 K หลังจากนั้นคลิก ✓



4.6 คลิกที่ด้านใน Lids ของทางออกน้ำร้อน คลิกที่ หลังจากนั้นคลิก Environment Pressure กำหนดความดันเท่ากับ 1 atm

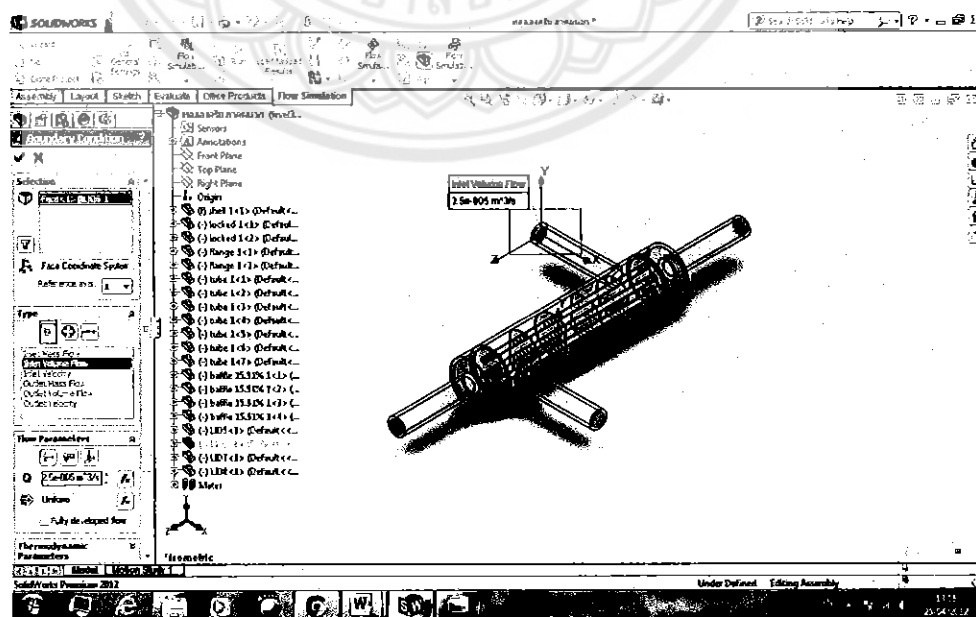


4.7 คลิกขวาที่ Boundary Conditions หลังจากนั้นก็คลิกที่ Insert Boundary Conditions

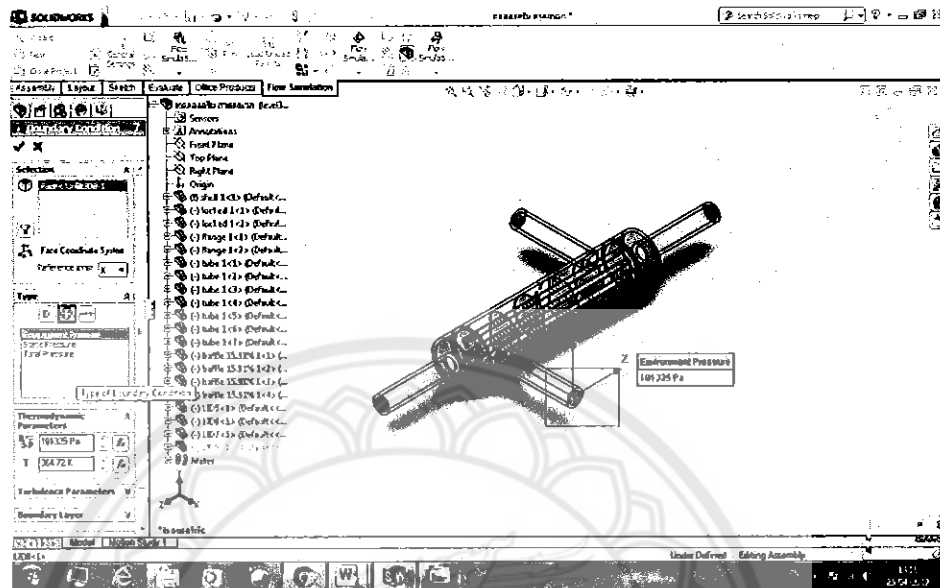
4.7.1 คลิกที่ หลังจากนั้นคลิก Inlet Volume Flow

4.7.2 ใส่อัตราการไหลของน้ำร้อนทางเข้าเท่ากับ  $2.5 \times 10^{-5} \text{ m}^3/\text{s}$

4.7.3 ใส่อุณหภูมิของน้ำเย็นขาเข้าเท่ากับ 304.72 K หลังจากนั้นคลิก ✓



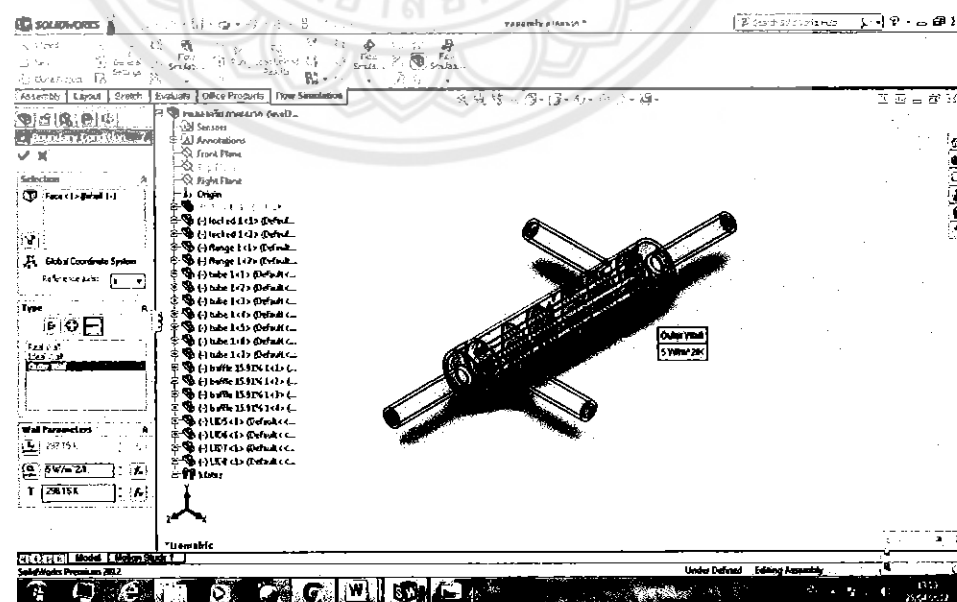
4.8 คลิกที่ด้านใน Lids ของทางออกน้ำเย็น คลิกที่ หลังจากนั้นคลิก Environment Pressure กำหนดความดันเท่ากับ 1 atm



4.9 คลิกขวาที่ Boundary Conditions หลังจากนั้นก็คลิกซ้ายที่ Insert Boundary Conditions

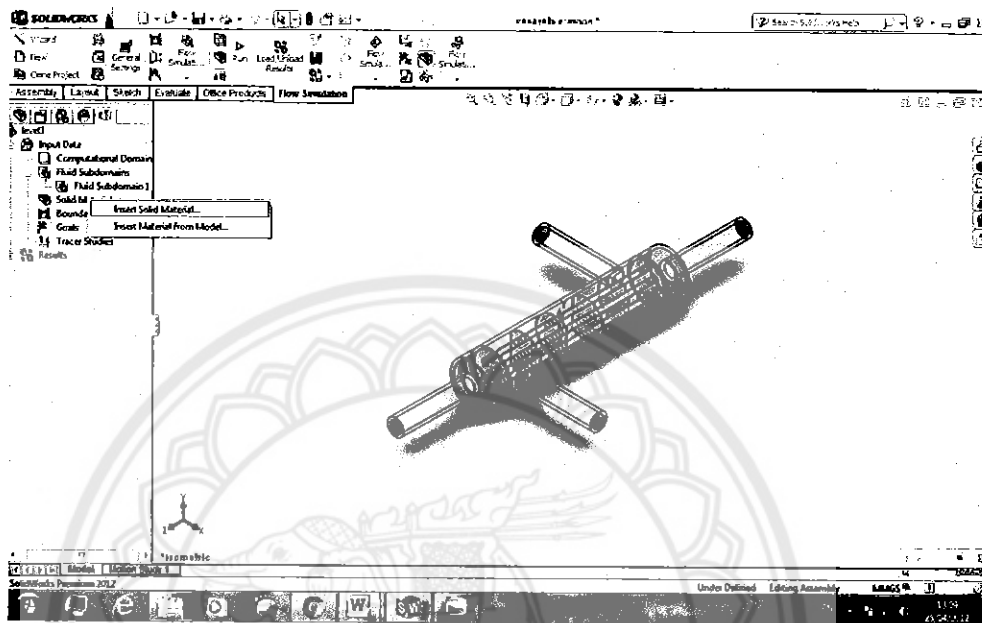
4.9.1 คลิกที่ผิวของ Shell

4.9.2 คลิกที่ แล้วใส่ค่าสัมประสิทธิ์การพากความร้อนภายนอกของเปลือกเท่ากับ 5  $\text{W/m}^2 \cdot \text{K}$  และ อุณหภูมิเท่ากับ 298.15 K หลังจากนั้นคลิก

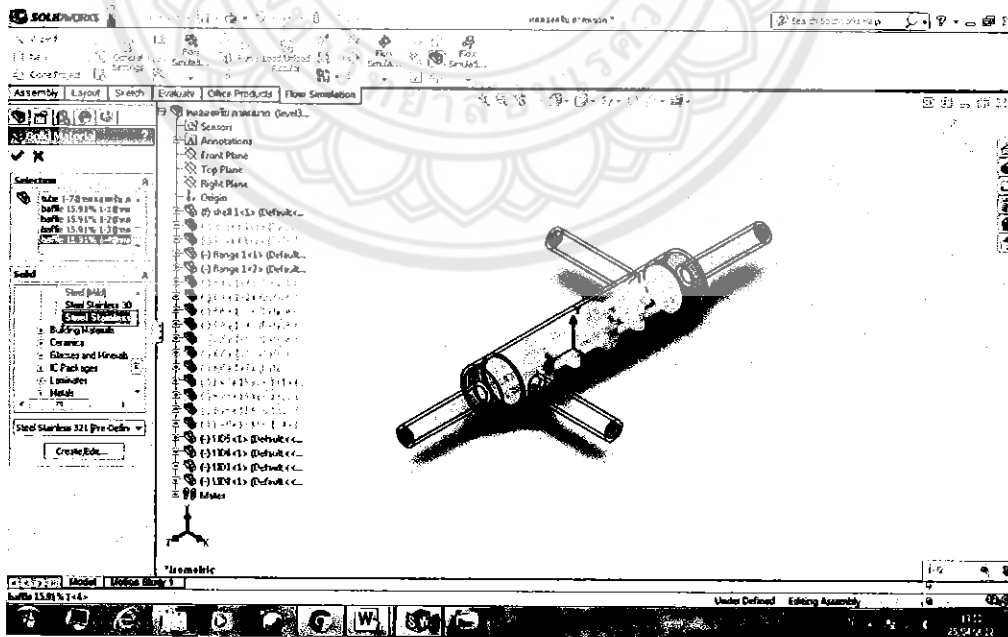


## 5. การใส่ค่าวัสดุให้แก่เครื่องแลกเปลี่ยนความร้อนชนิดเปลือกและห่อ

### 5.1 คลิกขวาที่ Solid Materials หลังจากนั้นคลิกซ้ายที่ Insert Solid material



### 5.2 เลือกห่อ, แผ่นกันและ Tube sheet เป็นวัสดุ steel stainless 321 ดังรูป

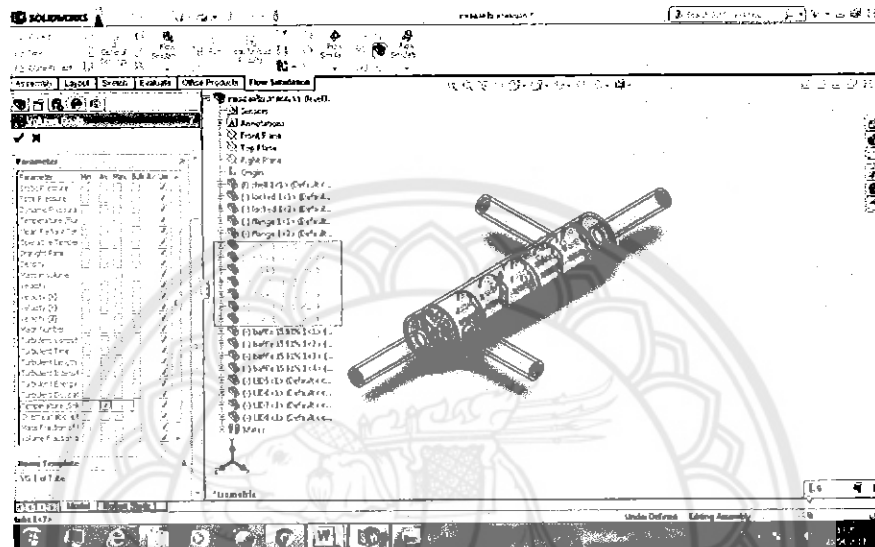


## 6. การเลือกไฟโปรแกรมวิเคราะห์ผล

6.1 คลิกขวาที่ Goals หลังจากนั้นคลิกที่ Insert Volume Goals

6.2 คลิกที่ Tube 1-7 และคลิกเครื่องหมายถูกที่ temperature of solid เลือกที่ช่อง

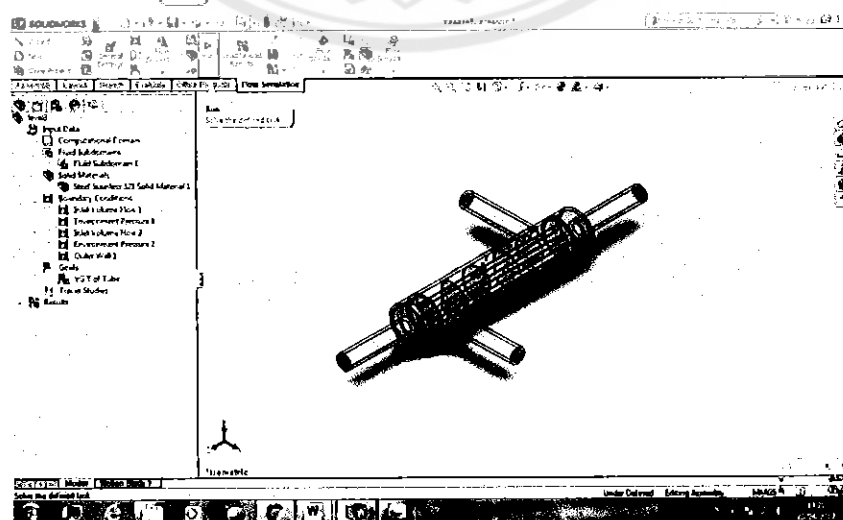
Average ดังรูป



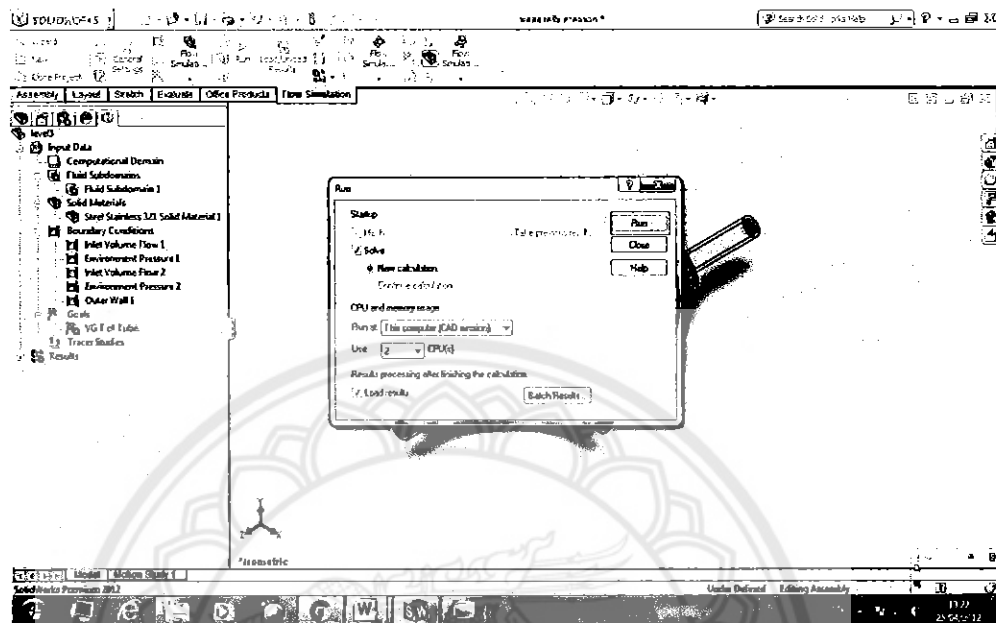
6.3 หลังจากนั้นกดคลิก ✓

## 7. การ Run Model

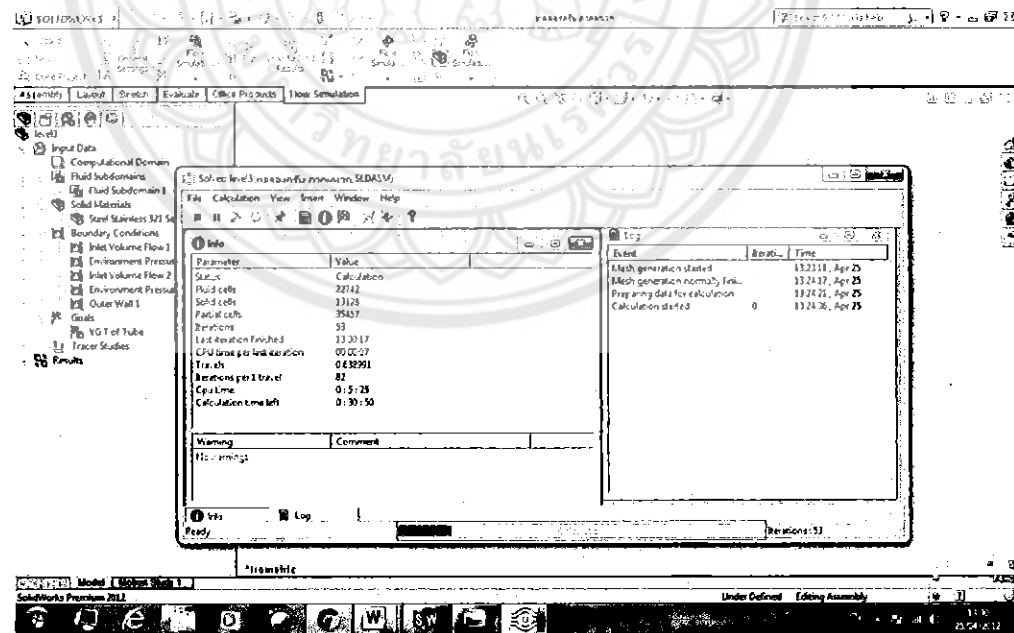
7.1 คลิกที่



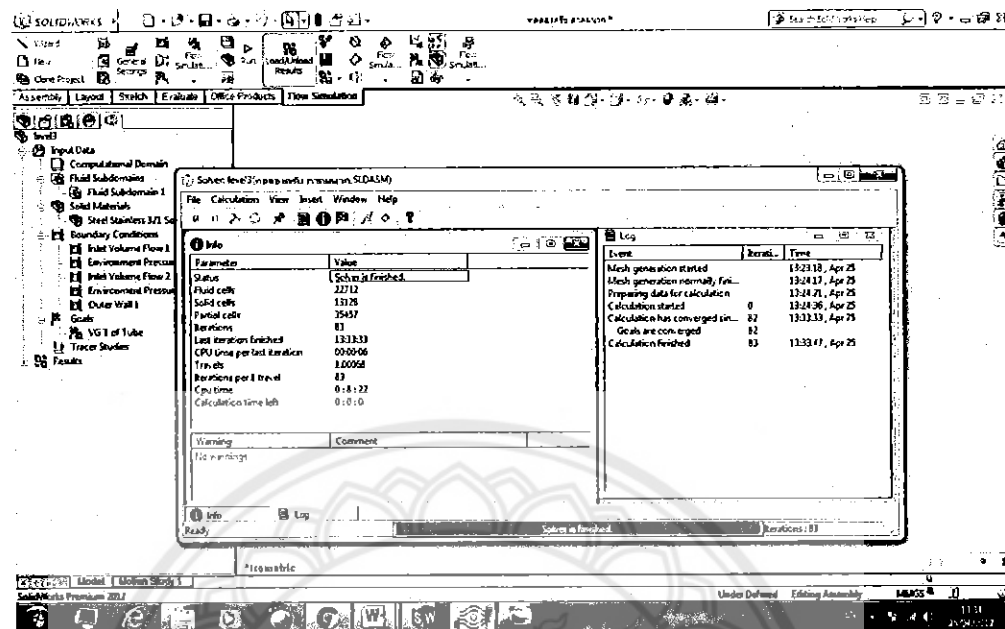
## 7.2 คลิกที่ Run



## 7.3 รอผลการรันโปรแกรม



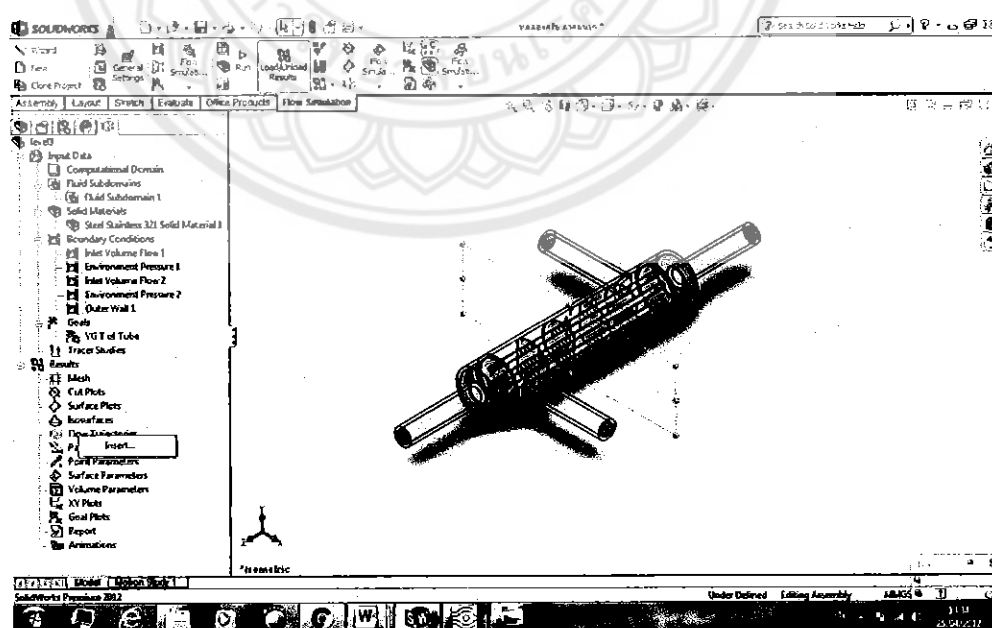
#### 7.4 การรันโปรแกรมเสร็จสิ้น จะมีข้อความบอกว่า Solve Finished



### 6. การแสดงผลที่ได้จากการแก้ไขในตัวแอปพลิเคชัน

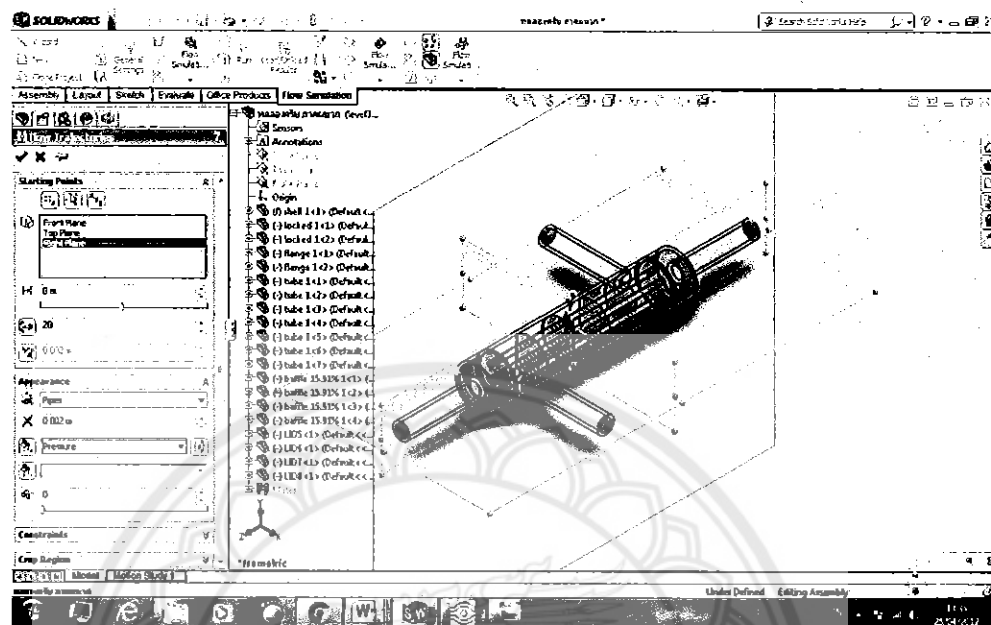
#### 6.1 การแสดงผลการวิเคราะห์แบบ Flow Trajectories คลิกขวาที่ Flow Trajectories

#### 6.2 คลิกที่ Insert ดังรูป



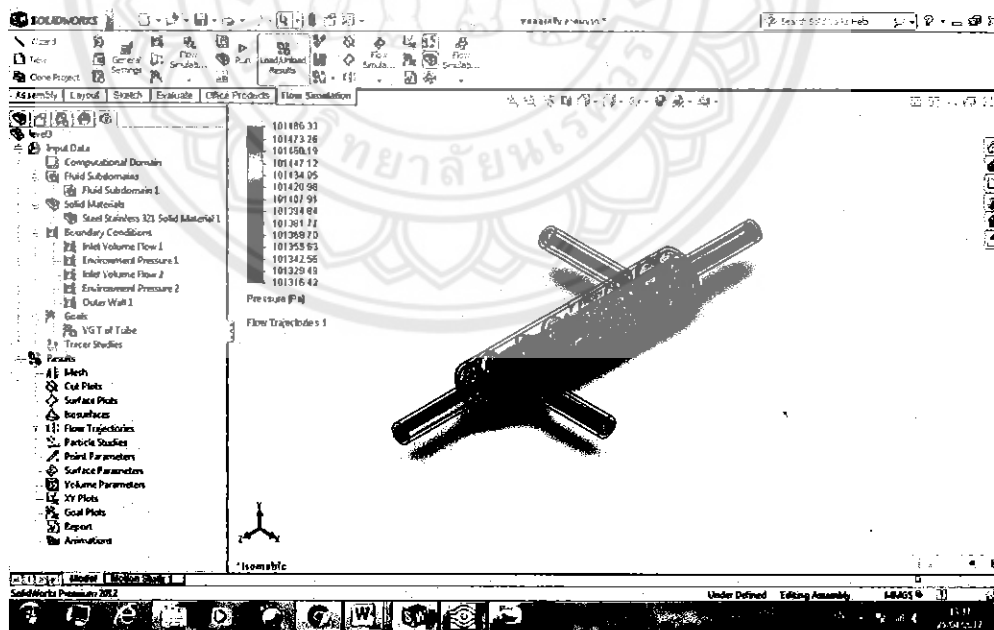
6.3 คลิกเลือก Top Plane, Front Plane, Right Plane และหลังจากนั้นคลิกที่ Pressure

ตัวรูป



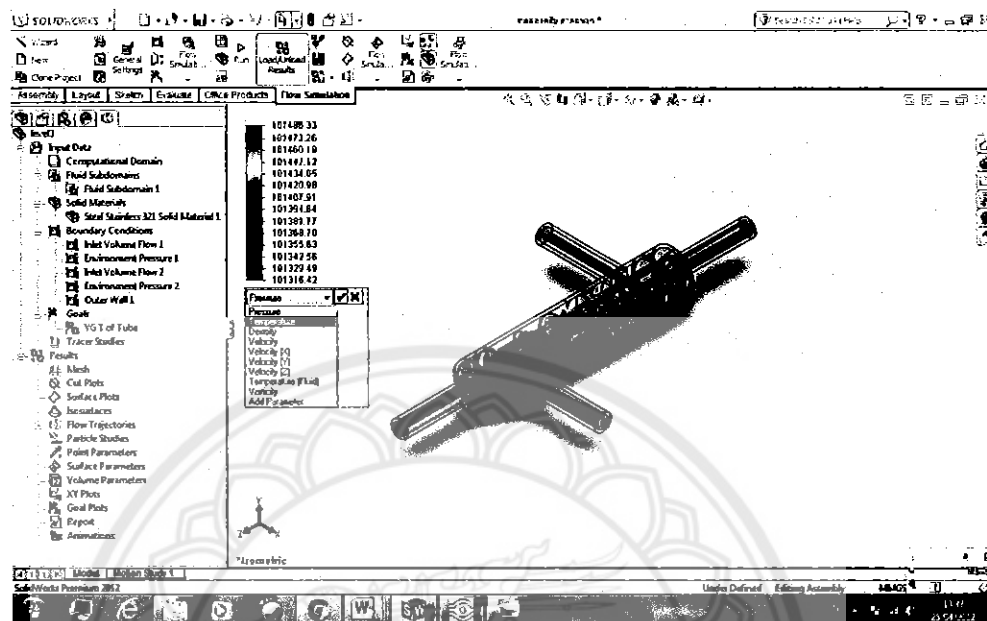
6.4 คลิก ✓

6.5 ผลการ Run

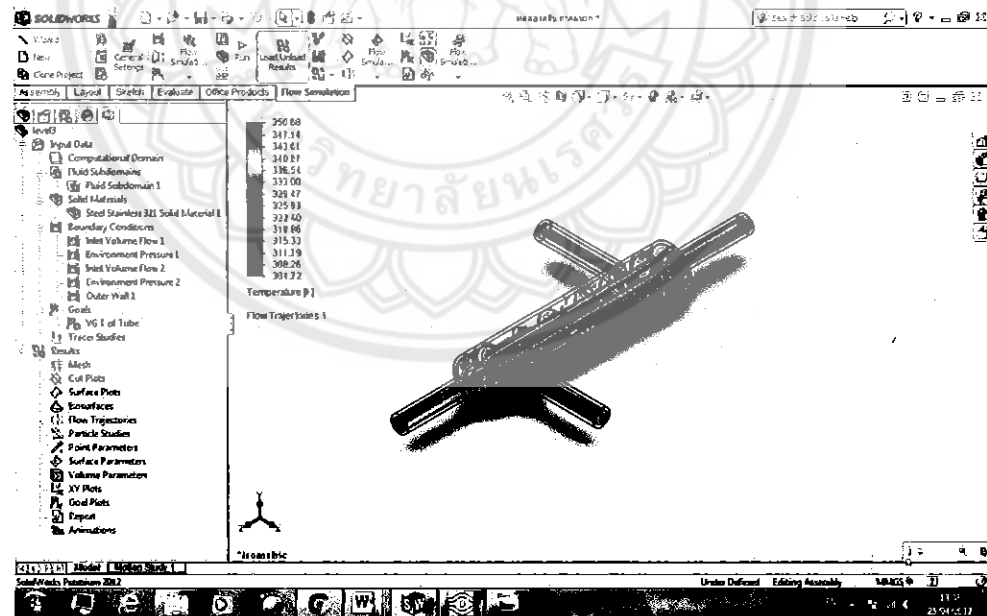


## 6.6 แสดงรูปในอุณหภูมิ คลิก Pressure แล้วคลิกเปลี่ยนเป็นอุณหภูมิ

แล้วคลิก



## 6.7 ผลการ Run

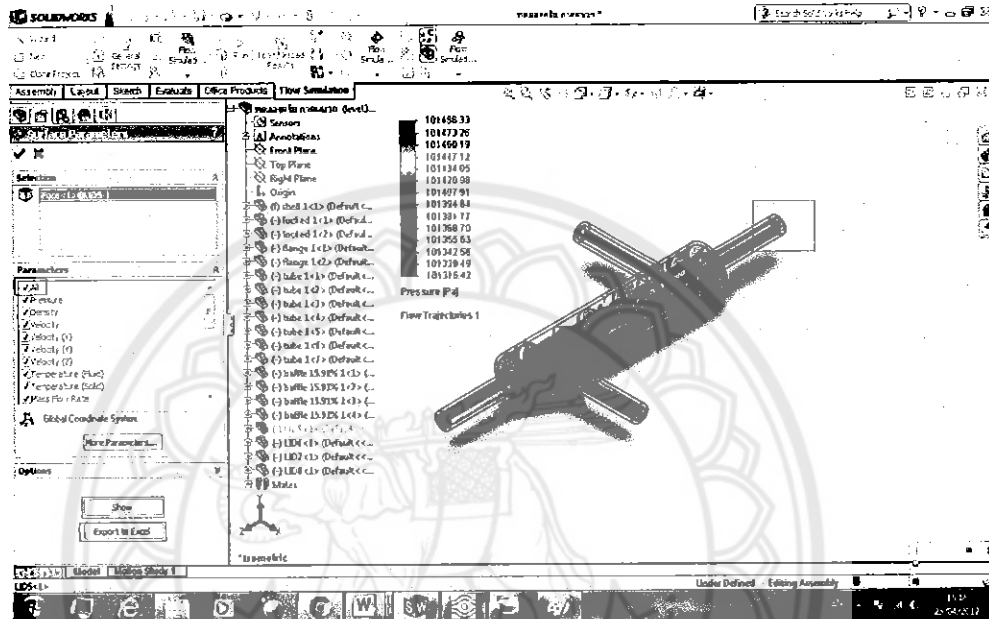


## 7. ผลการวิเคราะห์ของโปรแกรม

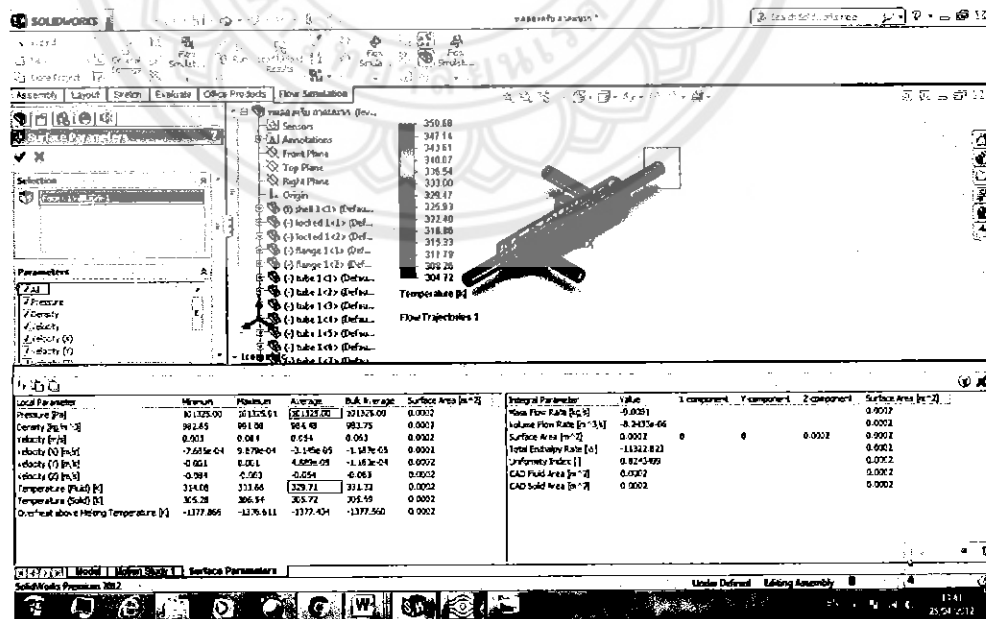
### 7.1 คลิกขวาที่ Surface Parameters จากนั้นคลิกซ้ายที่ Insert

7.2 คลิกเลือกทีละด้านใน Lids ที่ทางเข้าของกระแสทั้งสองกระแส แล้วเลือก All แล้วคลิก

Show หรือคลิก Export to Excel ก็ได้จะแสดงผลเป็นตาราง Excel ดังรูป



### 7.3 คลิก Show ผลการแสดง



## 7.4 คลิก Export to Excel แสดงผล

Surface Parameters1 [Compatibility Mode] - Microsoft Excel					
1	A1	B1	C1	D1	E1
2					
3					
4					
5					
6					
7					
8					
9					
10					
11	Local Parameters				
12	Parameter	Value	Location	Unit	Surface Area [m <sup>2</sup> ]
13	Distance [m]	161.1526	(151.1526, 0)	m	0.000151861
14	Density [kg/m <sup>3</sup> ]	991.928151	0.04441865	kg/m <sup>3</sup>	0.000151861
15	Velocity [m/s]	0.002067211	0.00277326	m/s	0.000151861
16	Velocity [X] [m/s]	-0.00276812	0.00267842	m/s	0.000151861
17	Velocity [Y] [m/s]	0.00267842	0.00277326	m/s	0.000151861
18	Velocity [Z] [m/s]	0.002067211	0.00277326	m/s	0.000151861
19	Temperature [K]	314.675422	333.661912	K	0.000151861
20	Temperature [C]	38.984525	30.659844	°C	0.000151861
21	Differential Surface Working Temperature [K]	-1377.06582	-1278.61195	K	0.000151861
22					
23					
24					
25					
26					
27					
28					
29					
30					
31					
32					
33					
34					
35					

Surface Parameters

Parameter	Value	x-component	y-component	z-component	Surface Area [m <sup>2</sup> ]
Mass Flow Rate [kg/s]	-4.906109362				0.000151861
Volume Flow Rate [m <sup>3</sup> /s]	-4.24395726				0.000151861
Surface Area [m <sup>2</sup> ]	0.000151861	0	0.000151861	0	0.000151861
Flow Entropy Rate [J/K]	-1.000000000				0.000151861
Heat Transfer Coefficient [W/m <sup>2</sup> K]	1.234567890				0.000151861
CAD Fluid Area [m <sup>2</sup> ]	0.000151861				0.000151861
CAD Solid Area [m <sup>2</sup> ]	0.000151861				0.000151861

ภาคผนวก ค

ตัวอย่างการคำนวณค่าสัมประสิทธิ์การถ่ายเทความร้อนรวม ค่าความดันลด  
และค่าประสิทธิผล ที่เปอร์เซ็นต์การตัด 15%



## ตัวอย่างการคำนวณค่าสัมประสิทธิ์การถ่ายเทความร้อนรวม

จากตารางที่ 4.8 แสดงผลสัมประสิทธิ์การถ่ายเทความร้อนรวมจากระเบียบวิธีไฟแนนซ์เอลิเมนต์ คำนวณได้ค่าสัมประสิทธิ์การถ่ายเทความร้อนรวมเท่ากับ  $365.68 \text{ W/m}^2\cdot\text{K}$  มีขั้นตอนการคำนวณดังนี้

1. คำนวณหาปริมาณความร้อนที่แลกเปลี่ยนความร้อนของน้ำทั้งสองกรอบแยก

$$Q = \dot{m}c_p\Delta T$$

เมื่อ  $Q$  คือ ปริมาณความร้อน

$\dot{m}$  คือ อัตราการไหลเขิงมวล โดย  $\dot{m} = \rho Q$  เมื่อ  $Q$  คือ อัตราการไหล,  $\rho$  คือความหนาแน่นของน้ำ และเปิด  $\rho$  จากตารางคุณสมบัติของน้ำ ใช้ที่อุณหภูมิเฉลี่ย

$c_p$  คือ ความจุความร้อนจำเพาะ เปิดจากตารางคุณสมบัติของน้ำ ใช้ที่อุณหภูมิเฉลี่ย

$\Delta T$  คือ ผลต่างของอุณหภูมน้ำกระระยะเย็น ดูจากรูปที่ ก.17 ภาคผนวก ก

จะได้ว่า  $\dot{m} = 0.248 \text{ kg/s}$

$c_p = 4178 \text{ J/kg}\cdot\text{K}$

$\Delta T = 2.93 \text{ K}$

ดังนั้น  $Q = 0.248 \times 4178 \times 2.93 = 303.926 \text{ J}$

2. คำนวณค่าสัมประสิทธิ์การถ่ายเทความร้อนรวมจาก

$$Q = UA\Delta T_{lm}$$

เมื่อ  $Q$  คือ ปริมาณความร้อน

$U$  คือ สัมประสิทธิ์การถ่ายเทความร้อนรวม

$A$  คือ พื้นที่ผิวภายนอกห้อง

$\Delta T_{lm}$  คือ ผลต่างของอุณหภูมิเชิงลือ เป็นอุณหภูมิเฉลี่ยตลอดการแลกเปลี่ยนความร้อน

หาจาก

$$\Delta T_{lm} = \frac{(T_{h,i} - T_{c,o}) - (T_{h,o} - T_{c,i})}{\ln\left(\frac{T_{h,i} - T_{c,o}}{T_{h,o} - T_{c,i}}\right)}$$

เมื่อ  $T_{h,i}$  คือ อุณหภูมน้ำร้อนทางเข้า

$T_{c,i}$  คือ อุณหภูมน้ำเย็นทางเข้า

$T_{h,o}$  คือ อุณหภูมน้ำร้อนทางออก

$T_{c,o}$  คือ อุณหภูมน้ำเย็นทางออก

ค่าของอุณหภูมิดูจากรูปที่ ก.17 ภาคผนวก ก

$$\text{จะได้ว่า } Q = 303.926 \text{ J}$$

$$A = 0.02507 \text{ m}^2$$

$$\Delta T_{lm} = 33.152 \text{ K}$$

ดังนั้น  $U = 303.926 / (0.02507 \times 33.152) = 365.68 \text{ W/m}^2 \cdot \text{K}$

### ตัวอย่างการคำนวณค่าความดันลด

จากตารางที่ 4.9 แสดงผลความดันลดจากระเบียบวิธีไฟไนท์อเลิมิเนต คำนวณได้ค่าความดันลดเท่ากับ 176.27 Pa มีขั้นตอนการคำนวณดังนี้ จาก

$$\Delta P = P_{in} - P_{out}$$

เมื่อ  $\Delta P$  คือ ค่าความดันลด

$P_{in}$  คือ ค่าความดันลดน้ำร้อนทางเข้า

$P_{out}$  คือ ค่าความดันลดน้ำร้อนทางออก

ค่าความดันที่ทางเข้าและทางออกดูจากรูปที่ ก.16 ภาคผนวก ก

จะได้ว่า  $P_{in} = 101481.02 \text{ Pa}$

$P_{out} = 101325 \text{ Pa}$

ดังนั้น  $\Delta P = 101501.27 - 101325 = 176.27 \text{ Pa}$

## ตัวอย่างการคำนวณค่าประสิทธิผล

จากตารางที่ 4.10 แสดงผลของประสิทธิผลจากระเบียบวิธีไฟไนต์เอลิเมนต์ คำนวณได้ค่าประสิทธิผลเท่ากับ 45.80% มีขั้นตอนการคำนวณดังนี้ จาก

$$\varepsilon = \frac{T_{hot,in} - T_{hot,out}}{T_{hot,in} - T_{cold,in}} \times 100\%$$

เมื่อ       $\varepsilon$  คือ ค่าประสิทธิผล

$T_{hot,in}$  คือ อุณหภูมิน้ำร้อนทางเข้า

$T_{hot,out}$  คือ อุณหภูมิน้ำร้อนทางออก

$T_{cold,in}$  คือ อุณหภูมิน้ำเย็นทางเข้า

ค่าของอุณหภูมิดูทางเข้าและทางออกจากรูปที่ ก.17 ภาคผนวก ก

จะได้ว่า  $T_{hot,in} = 350.68\text{ K}$

$T_{hot,out} = 329.633\text{ K}$

$T_{cold,in} = 304.72\text{ K}$

ดังนั้น       $\varepsilon = ((350.68 - 329.633) / (350.68 - 304.72)) \times 100\% = 45.80\%$

ภาคผนวก ๔

ตารางคุณสมบัติของน้า



## ตารางที่ ช.11 แสดงคุณสมบัติของน้ำ [7]

878  
APPENDIX

**TABLE A-9**  
**Properties of saturated water**

Temp. T, °C	Saturation Pressure P <sub>sat</sub> , kPa	Density ρ, kg/m <sup>3</sup>		Enthalpy of Vaporization h <sub>v</sub> , kJ/kg		Specific Heat c <sub>p</sub> , J/kg·K		Thermal Conductivity k, W/m·K		Dynamic Viscosity μ, kg/m·s		Prandtl Number Pr		Volume Expansion Coefficient β, 1/K	
		Liquid	Vapor	Liquid	Vapor	Liquid	Vapor	Liquid	Vapor	Liquid	Vapor	Liquid	Vapor	Liquid	Vapor
0.01	0.6113	999.8	0.0048	2501	4217	1854	0.561	0.0171	1.792 × 10 <sup>-3</sup>	0.922 × 10 <sup>-5</sup>	13.5	1.00	-0.068 × 10 <sup>-3</sup>		
5	0.8721	999.9	0.0068	2490	4205	1857	0.571	0.0173	1.519 × 10 <sup>-3</sup>	0.934 × 10 <sup>-5</sup>	11.2	1.00	0.015 × 10 <sup>-3</sup>		
10	1.2276	999.7	0.0094	2478	4194	1862	0.580	0.0176	1.307 × 10 <sup>-3</sup>	0.946 × 10 <sup>-5</sup>	9.45	1.00	0.733 × 10 <sup>-3</sup>		
15	1.7051	999.1	0.0128	2466	4185	1863	0.589	0.0179	1.138 × 10 <sup>-3</sup>	0.959 × 10 <sup>-5</sup>	8.09	1.00	0.138 × 10 <sup>-3</sup>		
20	2.339	998.0	0.0173	2454	4182	1867	0.598	0.0182	1.002 × 10 <sup>-3</sup>	0.973 × 10 <sup>-5</sup>	7.01	1.00	0.195 × 10 <sup>-3</sup>		
25	3.169	997.0	0.0231	2442	4180	1870	0.607	0.0184	0.891 × 10 <sup>-3</sup>	0.987 × 10 <sup>-5</sup>	6.14	1.00	0.247 × 10 <sup>-3</sup>		
30	4.246	996.0	0.0304	2431	4178	1875	0.615	0.0189	0.798 × 10 <sup>-3</sup>	1.001 × 10 <sup>-5</sup>	5.42	1.00	0.294 × 10 <sup>-3</sup>		
35	5.628	994.0	0.0397	2419	4178	1880	0.623	0.0192	0.720 × 10 <sup>-3</sup>	1.016 × 10 <sup>-5</sup>	4.83	1.00	0.337 × 10 <sup>-3</sup>		
40	7.384	992.1	0.0512	2407	4179	1885	0.631	0.0196	0.653 × 10 <sup>-3</sup>	1.031 × 10 <sup>-5</sup>	4.32	1.00	0.377 × 10 <sup>-3</sup>		
45	9.593	990.1	0.0655	2395	4180	1892	0.637	0.0200	0.596 × 10 <sup>-3</sup>	1.046 × 10 <sup>-5</sup>	3.91	1.00	0.415 × 10 <sup>-3</sup>		
50	12.35	988.1	0.0831	2383	4181	1900	0.644	0.0204	0.547 × 10 <sup>-3</sup>	1.062 × 10 <sup>-5</sup>	3.55	1.00	0.451 × 10 <sup>-3</sup>		
55	15.76	985.2	0.1045	2371	4183	1908	0.649	0.0208	0.504 × 10 <sup>-3</sup>	1.077 × 10 <sup>-5</sup>	3.25	1.00	0.484 × 10 <sup>-3</sup>		
60	19.94	983.3	0.1304	2359	4185	1916	0.654	0.0212	0.467 × 10 <sup>-3</sup>	1.093 × 10 <sup>-5</sup>	2.99	1.00	0.517 × 10 <sup>-3</sup>		
65	25.03	980.4	0.1614	2346	4187	1926	0.659	0.0216	0.433 × 10 <sup>-3</sup>	1.110 × 10 <sup>-5</sup>	2.75	1.00	0.548 × 10 <sup>-3</sup>		
70	31.19	977.5	0.1983	2334	4190	1936	0.663	0.0221	0.404 × 10 <sup>-3</sup>	1.126 × 10 <sup>-5</sup>	2.55	1.00	0.578 × 10 <sup>-3</sup>		
75	38.58	974.7	0.2421	2321	4193	1948	0.667	0.0225	0.378 × 10 <sup>-3</sup>	1.142 × 10 <sup>-5</sup>	2.38	1.00	0.607 × 10 <sup>-3</sup>		
80	47.39	971.8	0.2935	2309	4197	1962	0.670	0.0230	0.355 × 10 <sup>-3</sup>	1.159 × 10 <sup>-5</sup>	2.22	1.00	0.653 × 10 <sup>-3</sup>		
85	57.83	968.1	0.3536	2296	4201	1977	0.673	0.0235	0.333 × 10 <sup>-3</sup>	1.176 × 10 <sup>-5</sup>	2.08	1.00	0.670 × 10 <sup>-3</sup>		
90	70.14	965.3	0.4235	2283	4206	1993	0.675	0.0240	0.315 × 10 <sup>-3</sup>	1.193 × 10 <sup>-5</sup>	1.96	1.00	0.702 × 10 <sup>-3</sup>		
95	84.55	961.5	0.5045	2270	4212	2010	0.677	0.0246	0.297 × 10 <sup>-3</sup>	1.210 × 10 <sup>-5</sup>	1.85	1.00	0.716 × 10 <sup>-3</sup>		
100	101.33	957.9	0.5978	2257	4217	2029	0.679	0.0251	0.282 × 10 <sup>-3</sup>	1.227 × 10 <sup>-5</sup>	1.75	1.00	0.750 × 10 <sup>-3</sup>		
110	143.27	950.6	0.8263	2230	4229	2071	0.682	0.0262	0.255 × 10 <sup>-3</sup>	1.261 × 10 <sup>-5</sup>	1.58	1.00	0.798 × 10 <sup>-3</sup>		
120	198.53	943.4	1.121	2203	4244	2120	0.683	0.0275	0.232 × 10 <sup>-3</sup>	1.296 × 10 <sup>-5</sup>	1.44	1.00	0.858 × 10 <sup>-3</sup>		
130	270.1	934.6	1.496	2174	4263	2177	0.684	0.0288	0.213 × 10 <sup>-3</sup>	1.330 × 10 <sup>-5</sup>	1.33	1.01	0.913 × 10 <sup>-3</sup>		
140	361.3	921.7	1.965	2145	4286	2244	0.683	0.0301	0.197 × 10 <sup>-3</sup>	1.365 × 10 <sup>-5</sup>	1.24	1.02	0.970 × 10 <sup>-3</sup>		
150	475.8	916.6	2.546	2114	4311	2314	0.682	0.0316	0.183 × 10 <sup>-3</sup>	1.399 × 10 <sup>-5</sup>	1.16	1.02	1.025 × 10 <sup>-3</sup>		
160	617.8	907.4	3.256	2083	4340	2420	0.680	0.0331	0.170 × 10 <sup>-3</sup>	1.434 × 10 <sup>-5</sup>	1.09	1.05	1.145 × 10 <sup>-3</sup>		
170	791.7	897.4	4.119	2050	4370	2490	0.677	0.0347	0.160 × 10 <sup>-3</sup>	1.468 × 10 <sup>-5</sup>	1.03	1.05	1.178 × 10 <sup>-3</sup>		
180	1,002.1	887.3	5.153	2015	4410	2590	0.673	0.0364	0.150 × 10 <sup>-3</sup>	1.502 × 10 <sup>-5</sup>	0.983	1.07	1.210 × 10 <sup>-3</sup>		
190	1,254.4	876.4	6.388	1979	4460	2710	0.669	0.0382	0.142 × 10 <sup>-3</sup>	1.537 × 10 <sup>-5</sup>	0.947	1.09	1.280 × 10 <sup>-3</sup>		
200	1,553.8	864.3	7.852	1941	4500	2840	0.663	0.0401	0.134 × 10 <sup>-3</sup>	1.571 × 10 <sup>-5</sup>	0.910	1.11	1.350 × 10 <sup>-3</sup>		
220	2,318	840.3	11.60	1859	4610	3110	0.650	0.0442	0.122 × 10 <sup>-3</sup>	1.641 × 10 <sup>-5</sup>	0.865	1.15	1.520 × 10 <sup>-3</sup>		
240	3,344	813.7	16.73	1767	4760	3520	0.632	0.0487	0.111 × 10 <sup>-3</sup>	1.712 × 10 <sup>-5</sup>	0.836	1.24	1.720 × 10 <sup>-3</sup>		
260	4,688	783.7	23.69	1663	4970	4070	0.609	0.0540	0.102 × 10 <sup>-3</sup>	1.788 × 10 <sup>-5</sup>	0.832	1.35	2.000 × 10 <sup>-3</sup>		
280	6,412	750.8	33.15	1544	5280	4835	0.581	0.0605	0.094 × 10 <sup>-3</sup>	1.870 × 10 <sup>-5</sup>	0.854	1.49	2.380 × 10 <sup>-3</sup>		
300	8,581	713.8	46.15	1405	5750	5980	0.548	0.0695	0.084 × 10 <sup>-3</sup>	1.965 × 10 <sup>-5</sup>	0.902	1.69	2.950 × 10 <sup>-3</sup>		
320	11,274	667.1	64.57	1239	6540	7900	0.509	0.0836	0.078 × 10 <sup>-3</sup>	2.084 × 10 <sup>-5</sup>	1.00	1.97			
340	14,586	610.5	92.62	1028	8240	11,870	0.469	0.110	0.070 × 10 <sup>-3</sup>	2.255 × 10 <sup>-5</sup>	1.23	2.43			
360	18,651	528.3	144.0	720	14,690	25,800	0.427	0.178	0.060 × 10 <sup>-3</sup>	2.571 × 10 <sup>-5</sup>	2.06	3.73			
374.14	22,090	317.0	317.0	0	—	—	—	—	0.043 × 10 <sup>-3</sup>	4.313 × 10 <sup>-5</sup>					

Note 1: Kinematic viscosity ν and thermal diffusivity α can be calculated from their definitions,  $\nu = \mu/\rho$  and  $\alpha = k/\rho c_p = \nu/\Pr$ . The temperatures 0.01°C, 100°C, and 374.14°C are the triple-, boiling-, and critical-point temperatures of water, respectively. The properties listed above (except the vapor density) can be used at any pressure with negligible error except at temperatures near the critical-point value.

Note 2: The unit kJ/kg·°C for specific heat is equivalent to kJ/kg·K, and the unit W/m·°C for thermal conductivity is equivalent to W/m·K.

Source: Viscosity and thermal conductivity data are from J. V. Sengers and J. T. R. Watson, *Journal of Physical and Chemical Reference Data 15* (1986), pp. 1291–1322. Other data are obtained from various sources or calculated.

## ประวัติผู้จัดทำโครงการ



ชื่อ นายเด็ดดวง วงศ์วิริยชาติ  
ภูมิลำเนา 27 หมู่ 15 ต.นาบัว อ.นครไทย จ.พิษณุโลก  
ประวัติการศึกษา

- จบการศึกษาระดับชั้นมัธยมศึกษาจากโรงเรียน  
แคมป์สันวิทยาคม
- ปัจจุบันกำลังศึกษาในระดับปริญญาตรีชั้นปีที่ 4  
สาขาวิชารรมเครื่องกล คณะวิศวกรรมศาสตร์  
มหาวิทยาลัยนเรศวร

E-mail: enan\_j@hotmail.com



ชื่อ นายประเสริฐ พิทักษ์ทองกุล  
ภูมิลำเนา 57 หมู่ 10 ต.เข็กน้อย อ.เขาค้อ จ.เพชรบูรณ์  
ประวัติการศึกษา

- จบการศึกษาระดับชั้นมัธยมศึกษาจากโรงเรียน  
แคมป์สันวิทยาคม
- ปัจจุบันกำลังศึกษาในระดับปริญญาตรีชั้นปีที่ 4  
สาขาวิชารรมเครื่องกล คณะวิศวกรรมศาสตร์  
มหาวิทยาลัยนเรศวร

E-mail: nung\_me@hotmail.com



ชื่อ นายไพบูลย์ ไชยวัฒน์  
ภูมิลำเนา 123/1 หมู่ 14 ต.ตลาดดู่ อ.ทพทัน จ.อุทัยธานี  
ประวัติการศึกษา

- จบการศึกษาระดับชั้นมัธยมศึกษาจากโรงเรียน  
ตลาดดู่วิทยาคม
- ปัจจุบันกำลังศึกษาในระดับปริญญาตรีชั้นปีที่ 4  
สาขาวิชารรมเครื่องกล คณะวิศวกรรมศาสตร์  
มหาวิทยาลัยนเรศวร

E-mail: paitoon51@hotmail.com